

BASt FE 86.0096/2014

Brandüberschlag in Straßentunneln

Anlage A4: Rechteck Neigung Richtungsverkehr 20,6 kg/s owF

Bauherr: **BASt**
Brüderstraße 53
51427 Bergisch Gladbach

Auftraggeber: **BASt**
Brüderstraße 53
51427 Bergisch Gladbach

Auftrag Nr.: 6.1/14-011

Berechnete Bauteile:

Gesamtumfang: 75 Seiten

Aufgestellt:	Dr.-Ing. habil. Jörg Schmidt Dr. rer. nat. Peter Simon Dipl.-Ing. (BA) Tom Guder	10/2014
--------------	--	---------

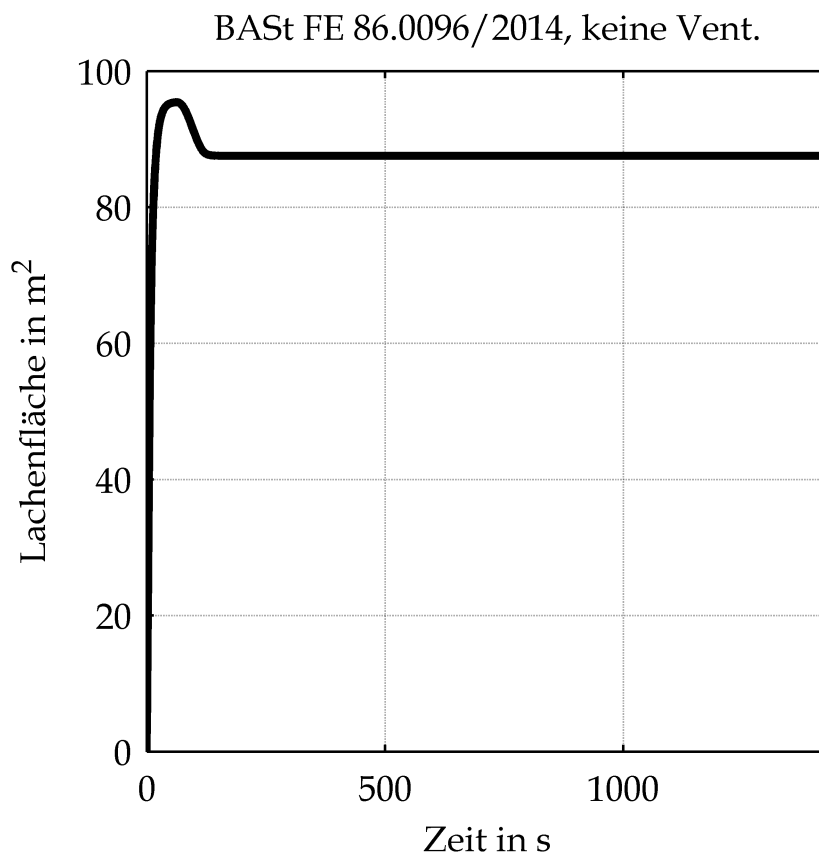
Intern geprüft:	Prof. Dr.-Ing. Frank Dehn
-----------------	---------------------------

Raum für Prüfeintragungen:

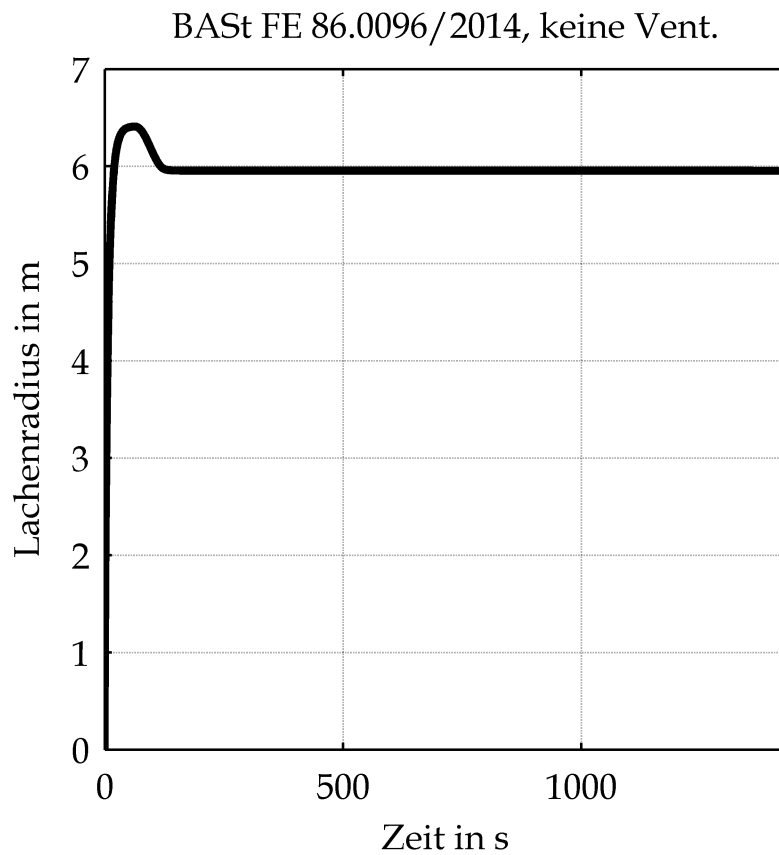
I Gesamtinhaltsverzeichnis

II	Ermittlung der Lachengeometrie unter Berücksichtigung der Ventilation	2
III	Berechnungsergebnisse	14
1	Energien und Bauteiltemperaturen	14
2	Wärmestrahlung an der Tunneldecke	22
3	Gastemperaturen	28
4	Gasgeschwindigkeiten	34
5	Sauerstoffgehalt	40
6	Kohlendioxidgehalt	46
7	Kohlenmonoxidgehalt	52
8	Optische Dichte	58
9	Sichtweiten	64
IV	Bewerteter Temperatur-Zeit-Verlauf	70
V	Durchwärmungsverhalten	71

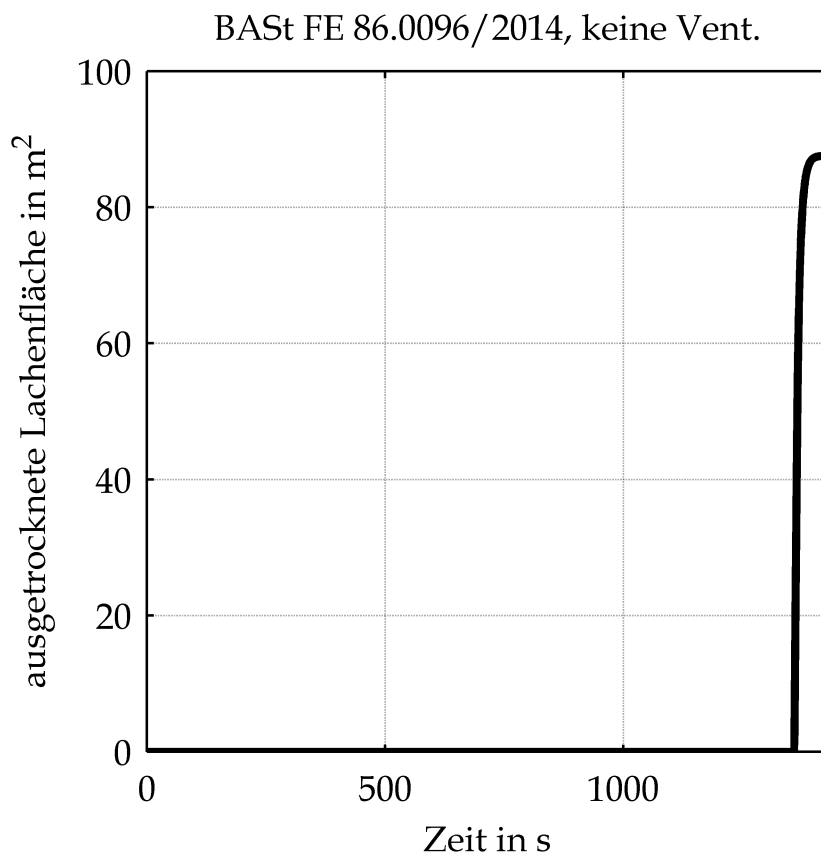
II Ermittlung der Lachengeometrie unter Berücksichtigung der Ventilation



Fläche der Lache in Abhängigkeit von der Zeit

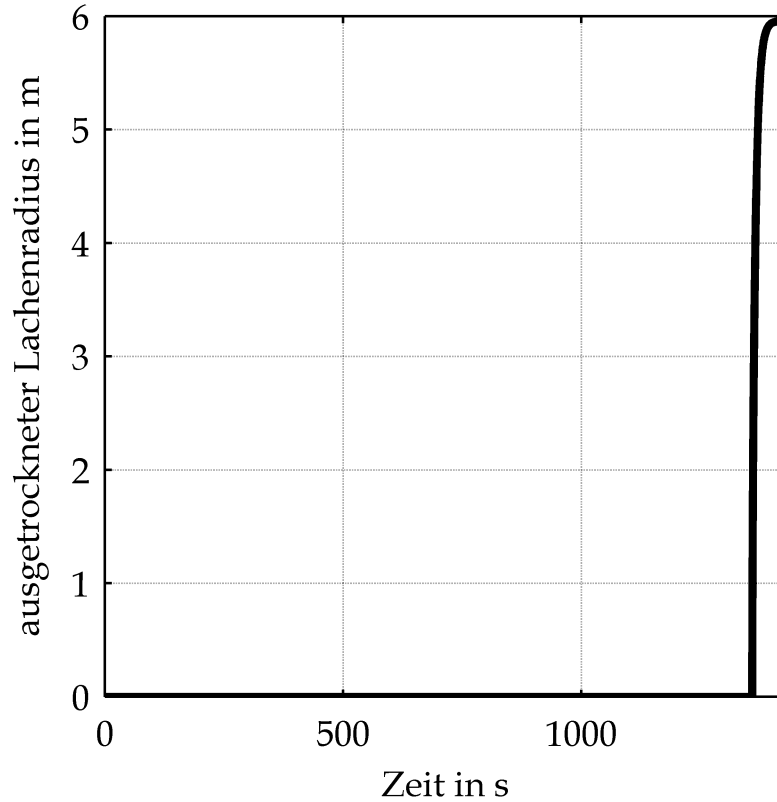


Radius der Lache in Abhängigkeit von der Zeit

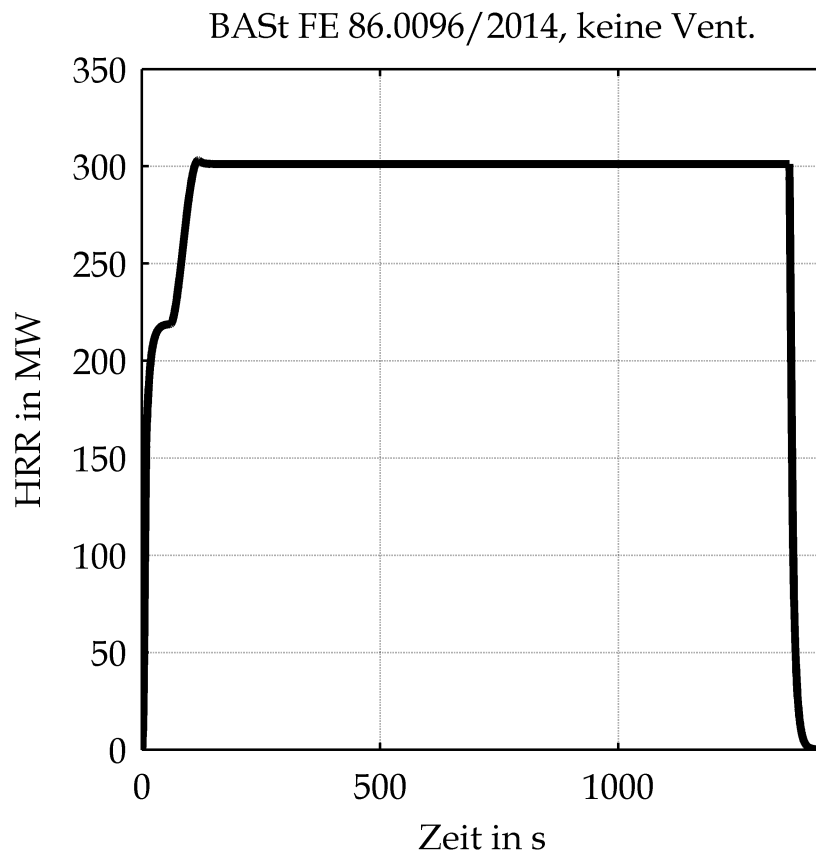


Fläche der ausgetrockneten Lache in Abhängigkeit von der Zeit

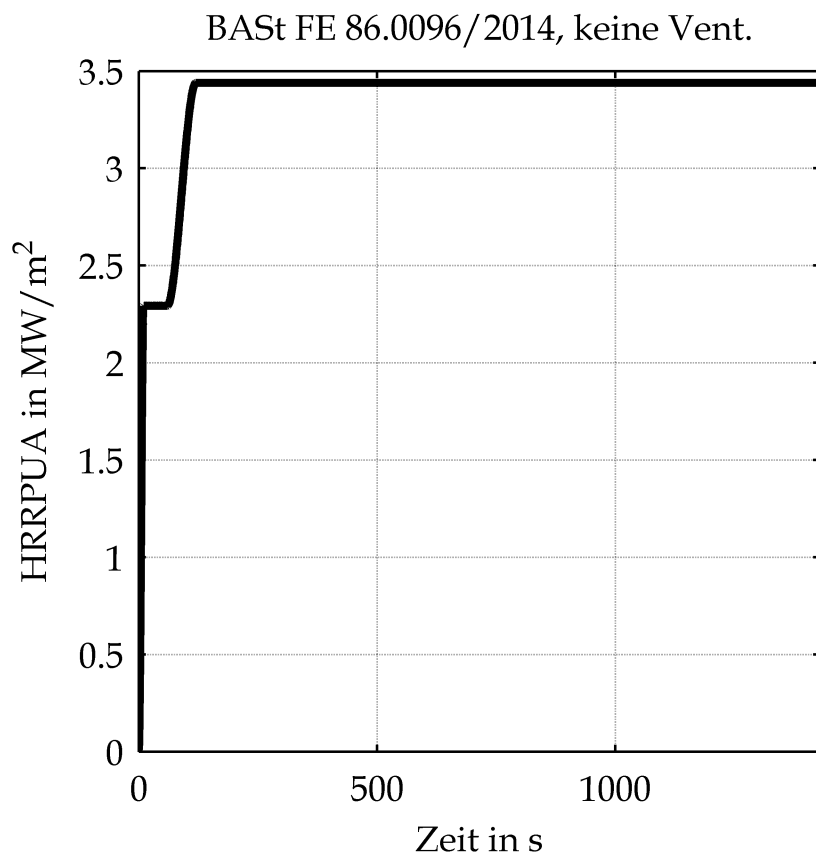
BAST FE 86.0096/2014, keine Vent.



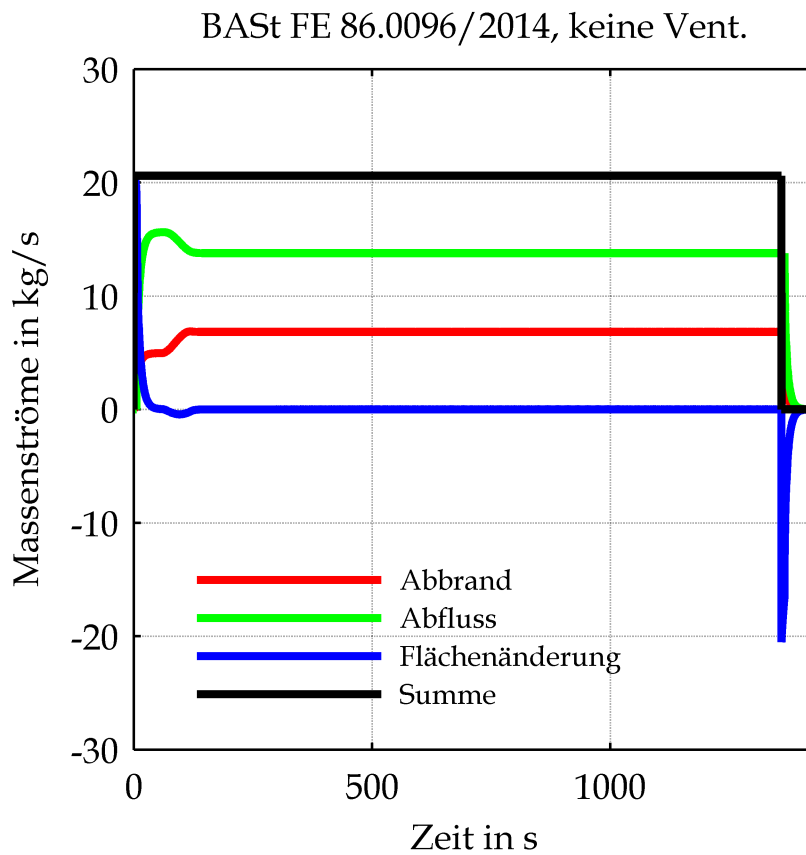
Radius der ausgetrockneten Lache in Abhängigkeit von der Zeit



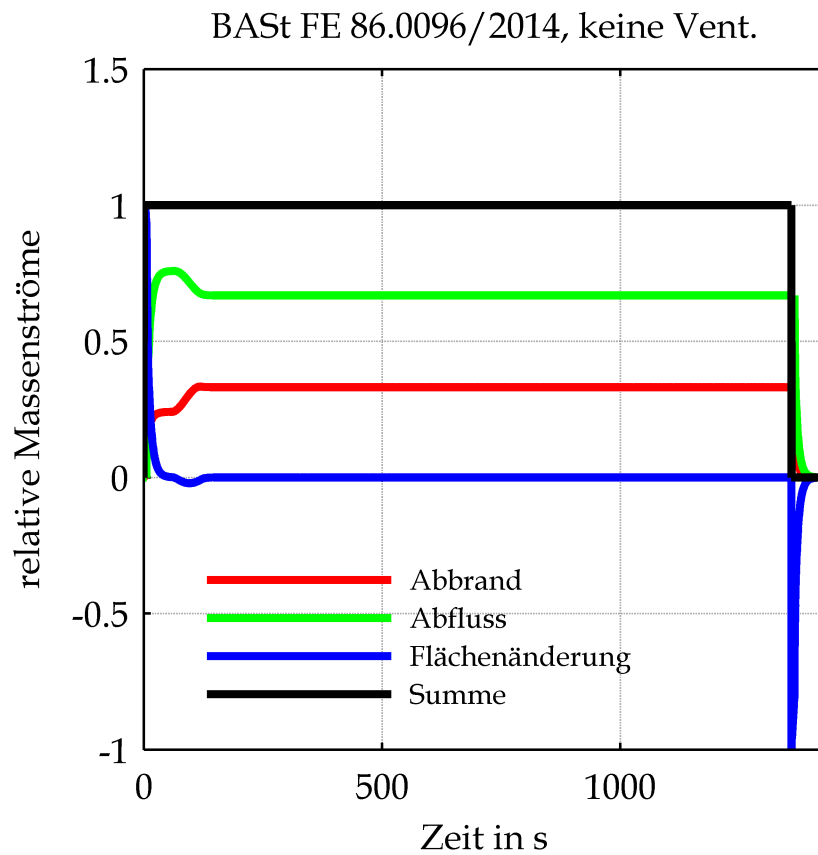
Wärmefreisetzungsrate (HRR) in Abhängigkeit von der Zeit



Wärmefreisetzungsrate pro Flächeneinheit (HRRPUA)
in Abhängigkeit von der Zeit

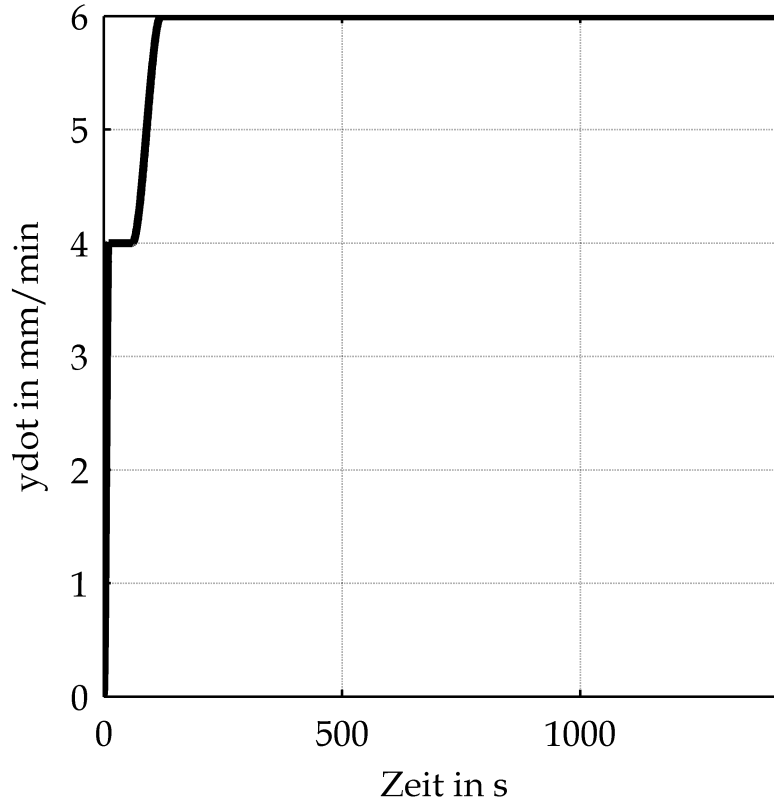


Gesamtübersicht der Massenströme in Abhängigkeit
von der Zeit

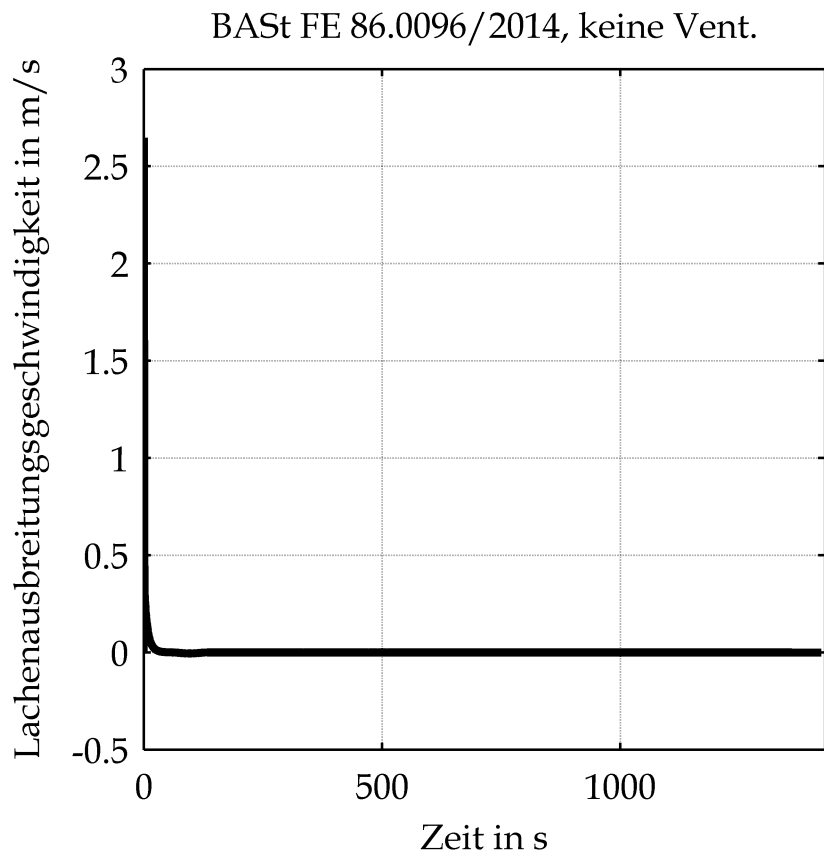


Gesamtübersicht der auf die austretende Flüssigkeit bezogenen Massenströme in Abhängigkeit von der Zeit

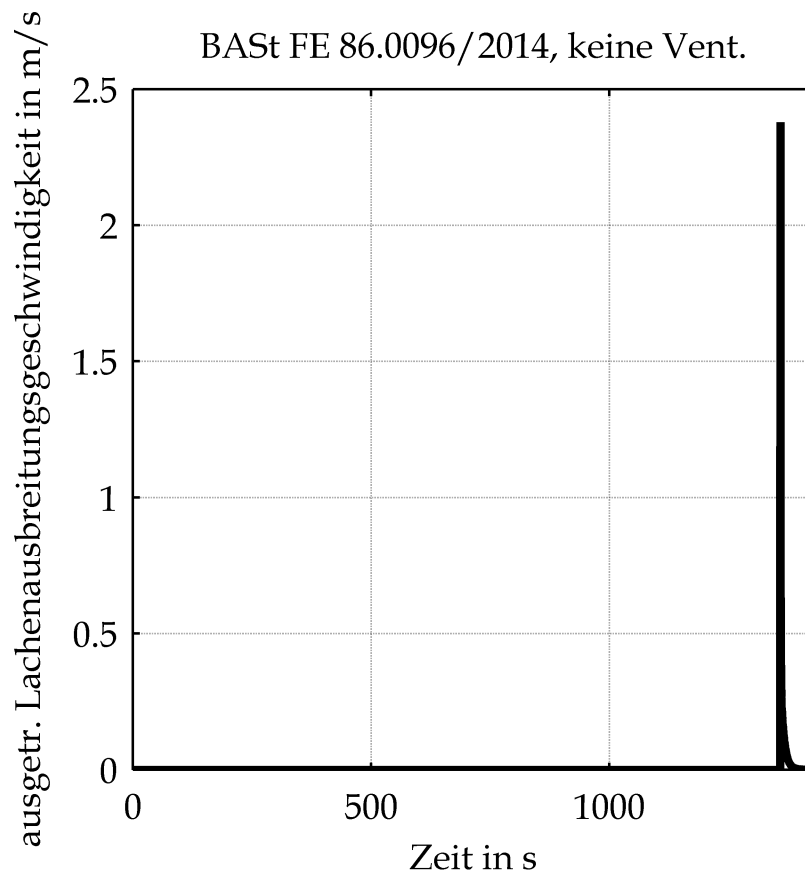
BAST FE 86.0096/2014, keine Vent.



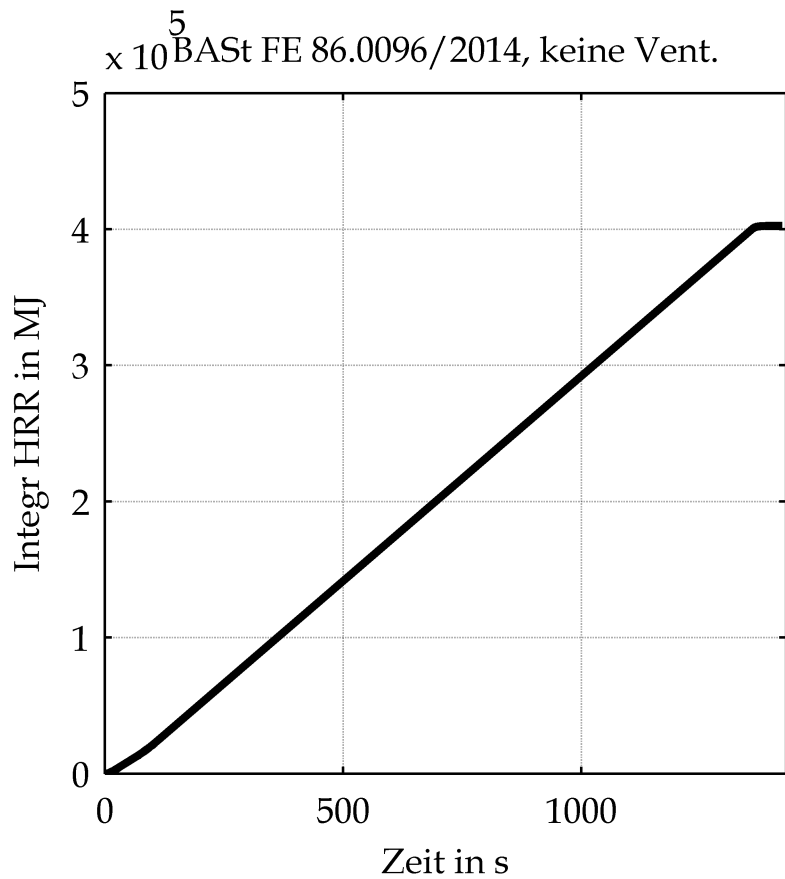
Vorgegebene Abbrandgeschwindigkeit in Abhängigkeit von der Zeit



Ausbreitungsgeschwindigkeit der Lache in Abhängigkeit
von der Zeit



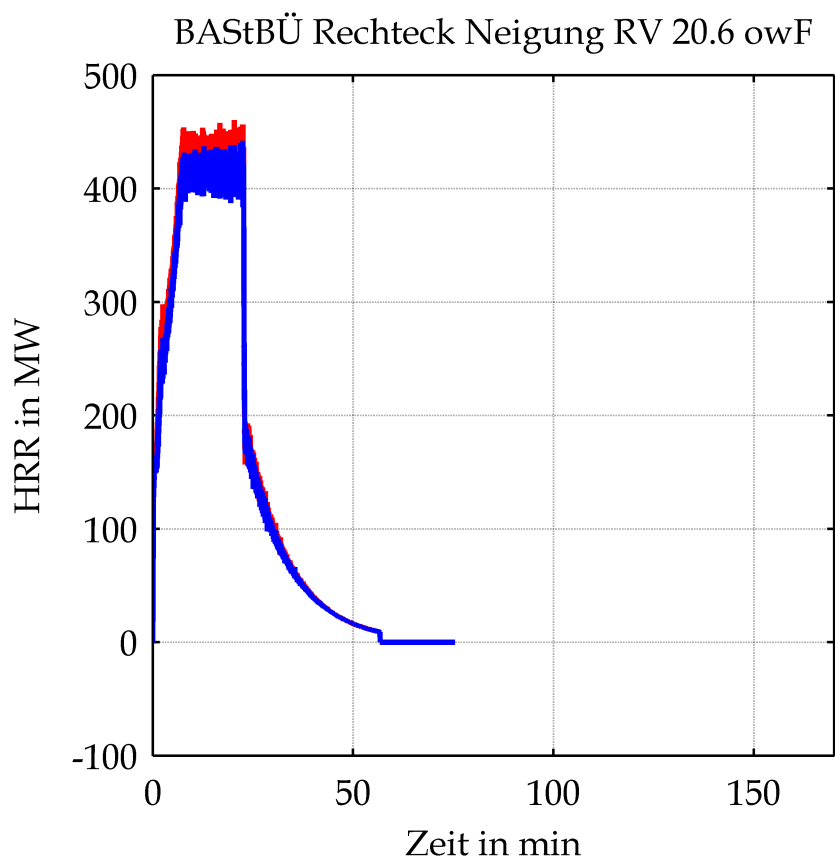
Austrocknungsgeschwindigkeit der Lache in
Abhängigkeit von der Zeit



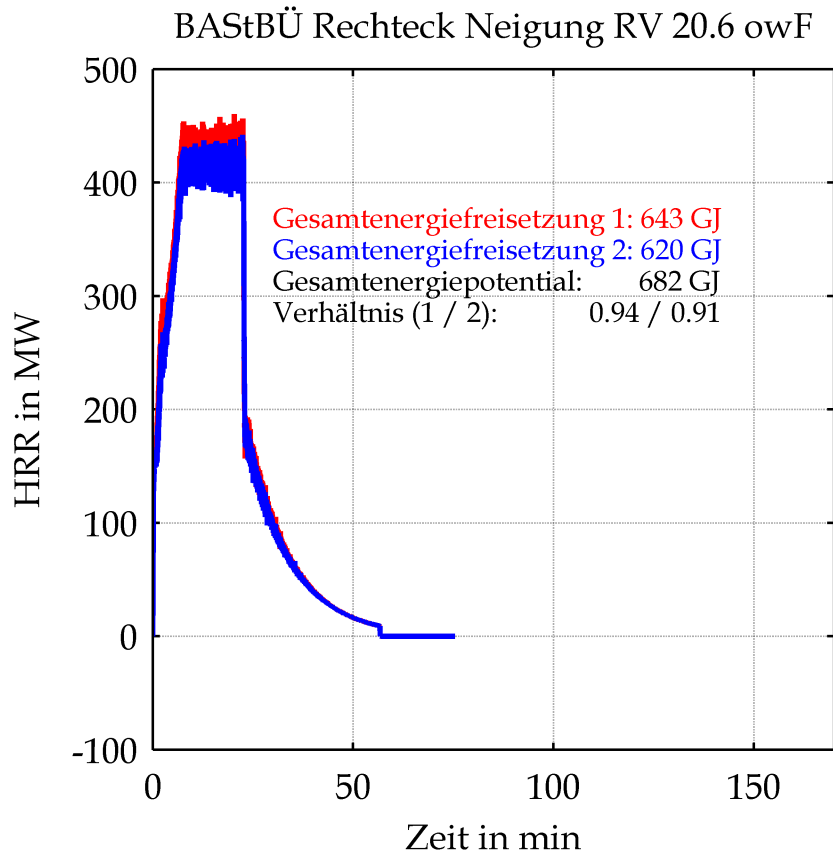
Freigesetzte Gesamtenergie in Abhängigkeit von der Zeit

III Berechnungsergebnisse

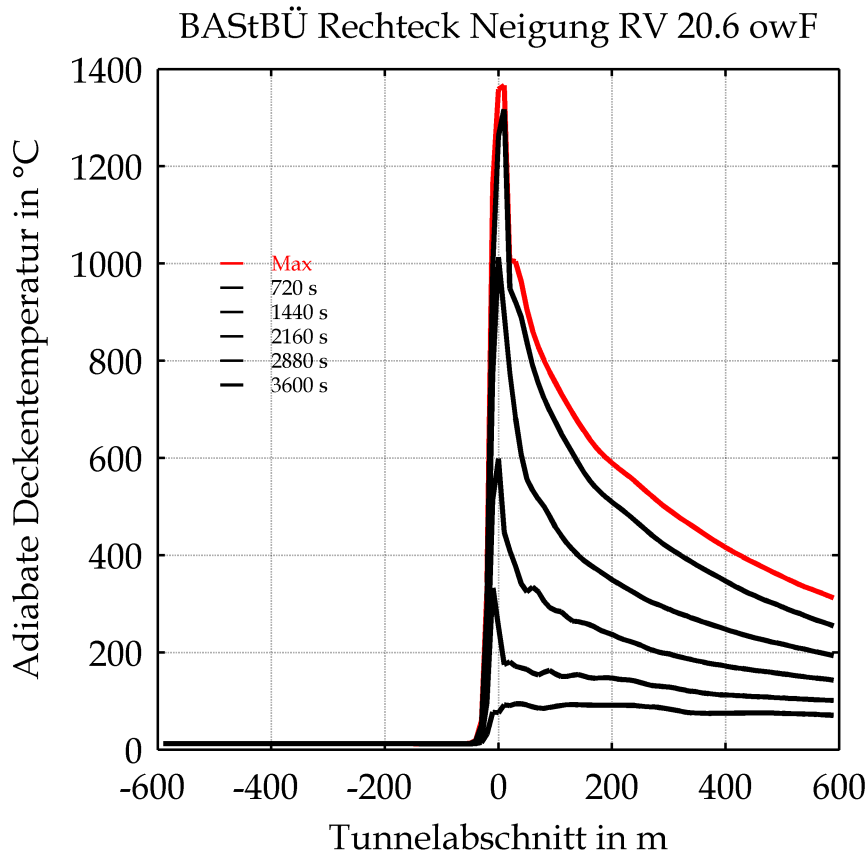
1 Energien und Bauteiltemperaturen



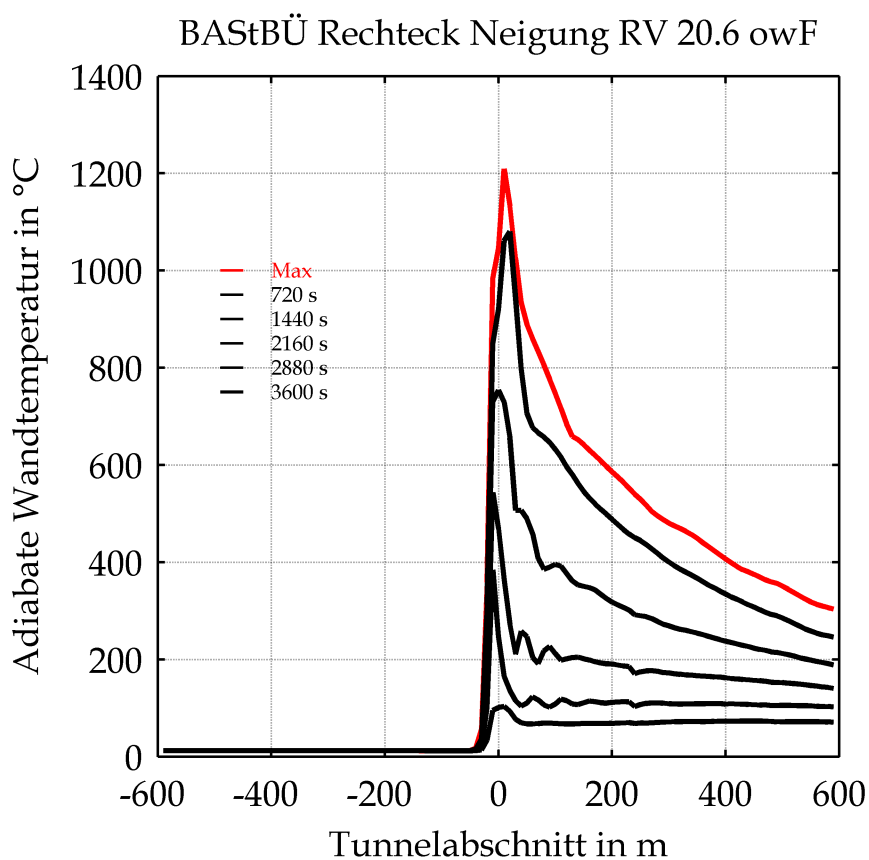
Mittels CFD-Berechnung ermittelte Wärmefreisetzungsrates in Abhängigkeit von der Zeit unter Berücksichtigung der Ventilationsbedingungen bzw. der Sauerstoffversorgung (rot: Integral der Energiedichte; blau: Energieverluste an den Modellgrenzen)



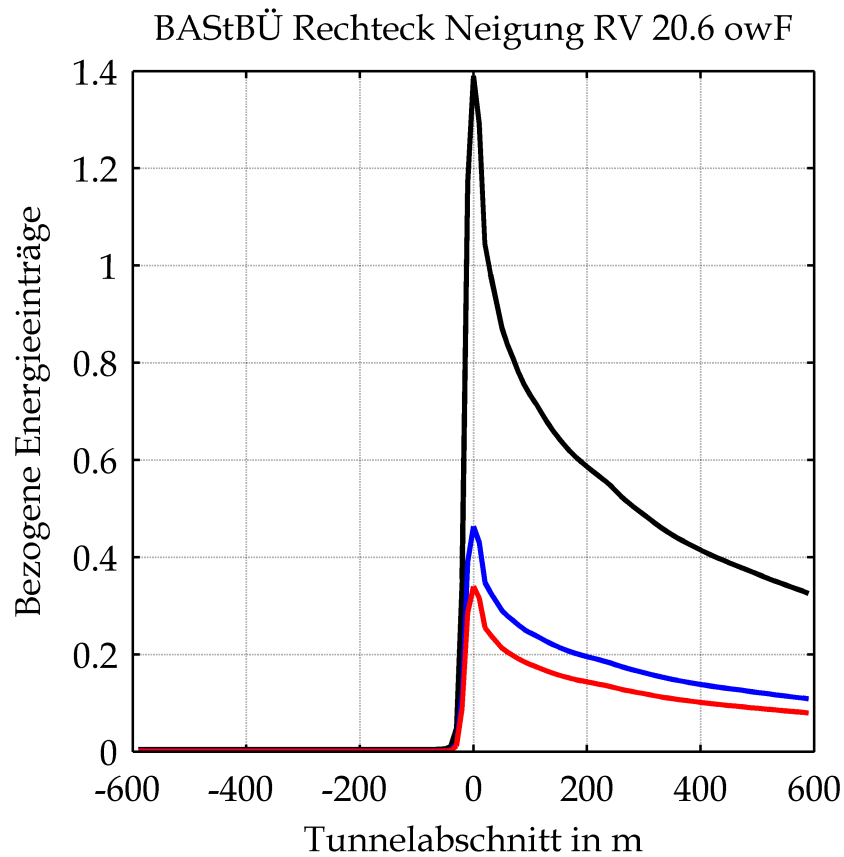
Mittels CFD-Berechnung ermittelte Wärmefreisetzungsrate in Abhängigkeit von der Zeit unter Berücksichtigung der Ventilationsbedingungen bzw. der Sauerstoffversorgung (rot: Integral der Energiedichte; blau: Energieverluste an den Modellgrenzen) sowie Vergleich der Gesamtenergiefreisetzung mit dem Gesamtenergiepotential



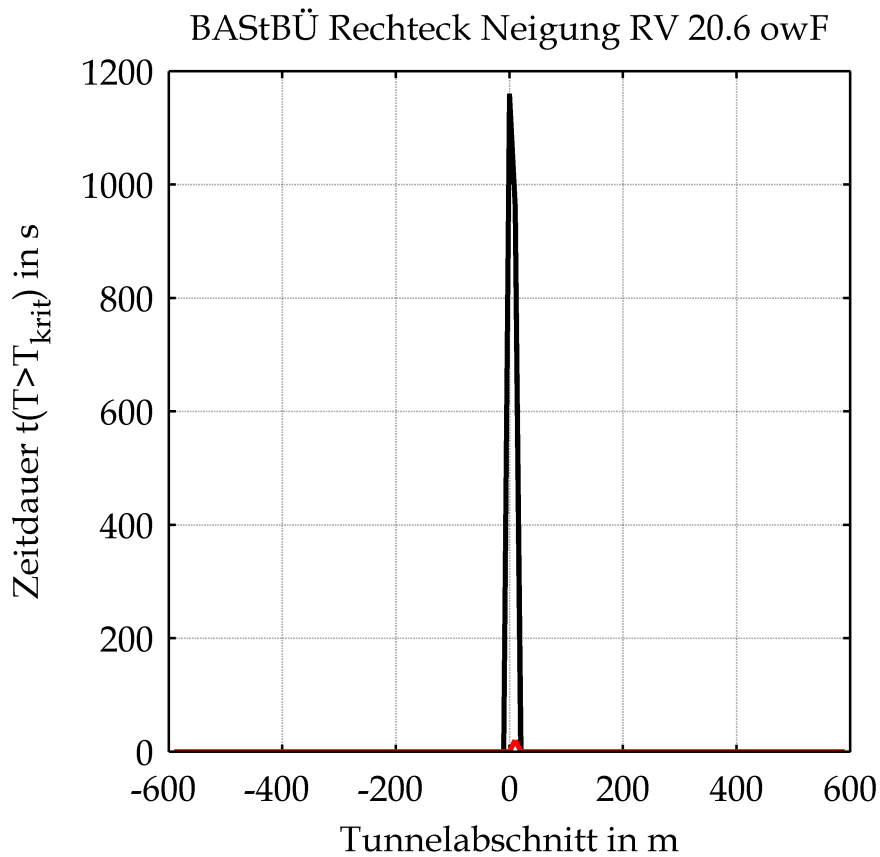
Mittels CFD-Berechnung ermittelte adiabate Deckentemperaturen in Abhängigkeit von der Zeit unter Berücksichtigung der Ventilationsbedingungen bzw. der Sauerstoffversorgung (rot: Maximalwerte, schwarz: Temperaturen in Abhängigkeit von der Einwirkungsdauer)



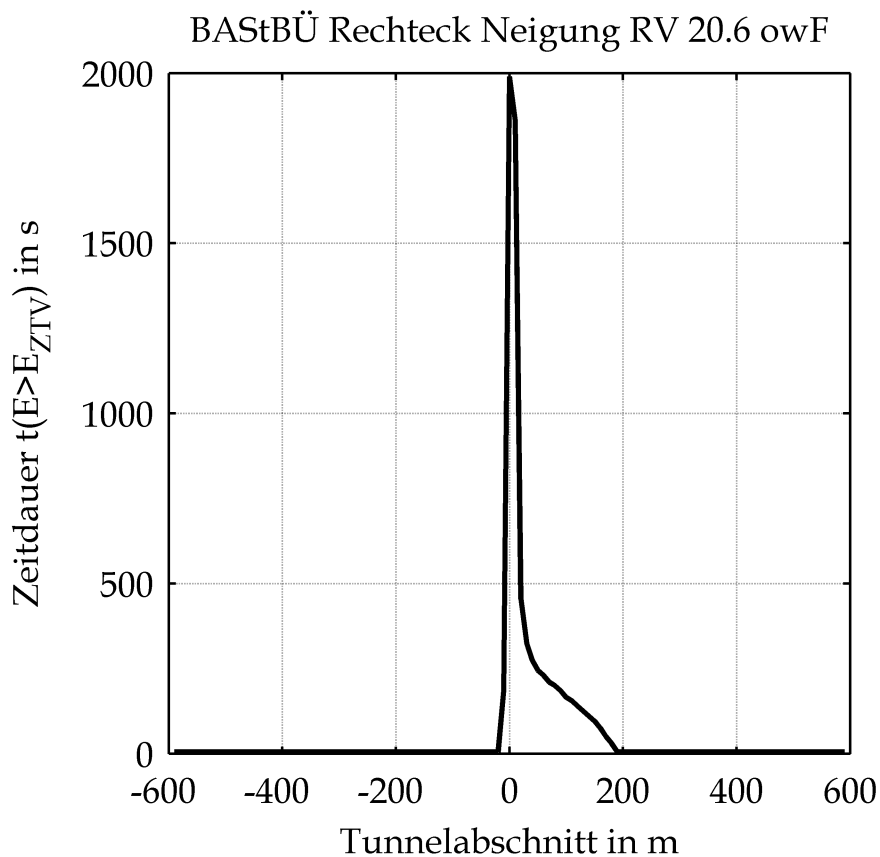
Mittels CFD-Berechnung ermittelte adiabate Wandtemperaturen in 3 m Höhe in Abhängigkeit von der Zeit unter Berücksichtigung der Ventilationsbedingungen bzw. der Sauerstoffversorgung (rot: Maximalwerte, schwarz: Temperaturen in Abhängigkeit von der Einwirkungsdauer)



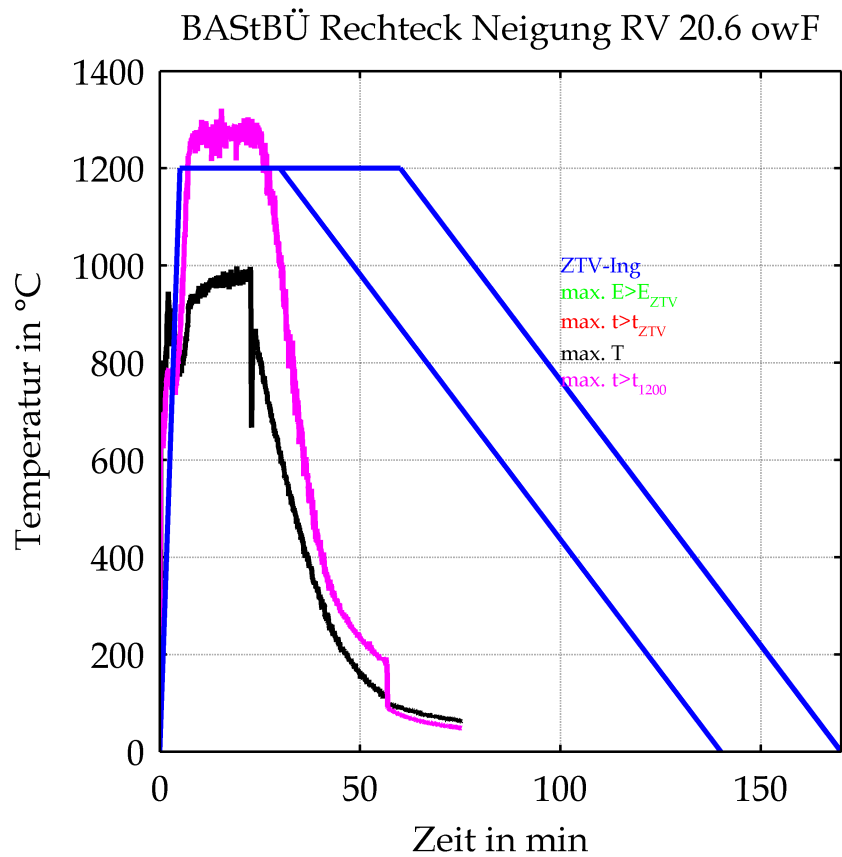
Mittels CFD-Berechnung ermittelte, auf den Energieeintrag der ZTV-ING-Temperatur-Zeit-Kurve bezogene Energieeinträge in Abhängigkeit von der Tunnellänge unter Berücksichtigung der Ventilationsbedingungen bzw. der Sauerstoffversorgung (blau: Basiswert ZTV-ING 150 min, schwarz: Basiswert ZTV-ING 30 min)



Mittels CFD-Berechnung ermittelte Zeitdauer der adiabaten Deckentemperatur größer 1200°C (schwarz) bzw. größer 1350°C (rot) in Abhängigkeit von der Tunnellänge unter Berücksichtigung der Ventilationsbedingungen bzw. der Sauerstoffversorgung



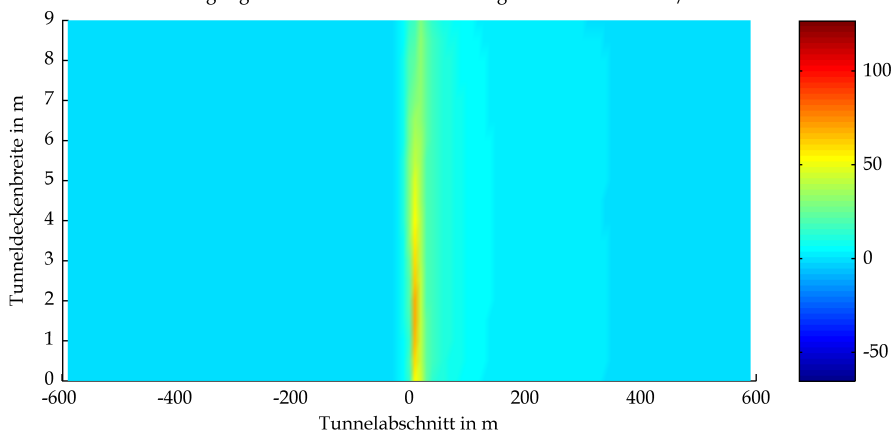
Mittels CFD-Berechnung ermittelte Zeitdauer mit im Vergleich zur ZTV-ING-Kurve höheren Energieeinträgen in die Tunneldecke in Abhängigkeit von der Tunnellänge unter Berücksichtigung der Ventilationsbedingungen bzw. der Sauerstoffversorgung



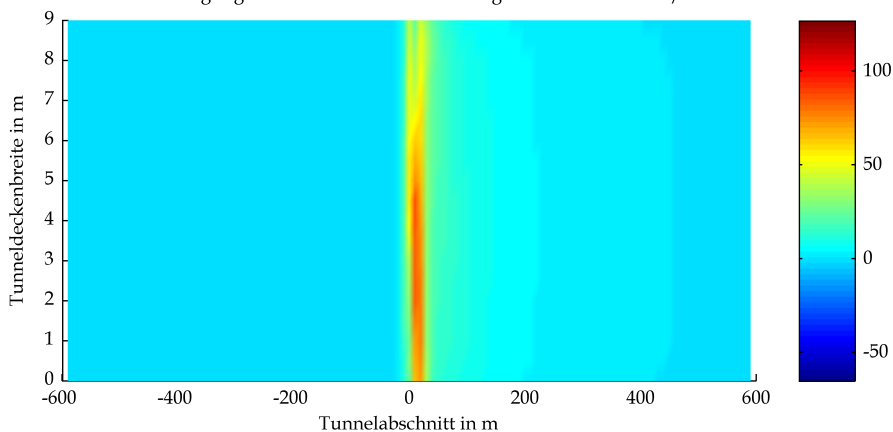
Mittels CFD-Berechnung ermittelte
 Temperatur-Zeit-Verläufe für die Maximalwerte der
 zuvor dargestellten Kriterien unter Berücksichtigung der
 Ventilationsbedingungen bzw. der Sauerstoffversorgung
 (blau: ZTV-ING-Temperatur-Zeit-Verlauf)

2 Wärmestrahlung an der Tunneldecke

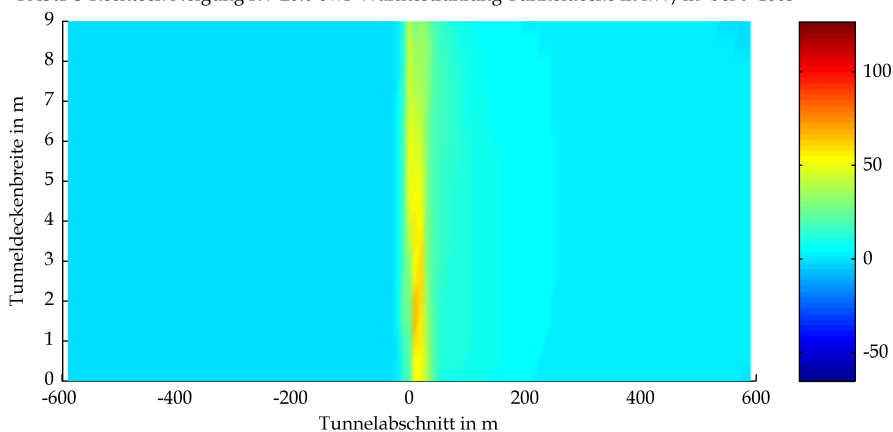
BAStBÜ Rechteck Neigung RV 20.6 owF Wärmestrahlung Tunneldecke in kW/m² bei t=60s



BAStBÜ Rechteck Neigung RV 20.6 owF Wärmestrahlung Tunneldecke in kW/m² bei t=120s

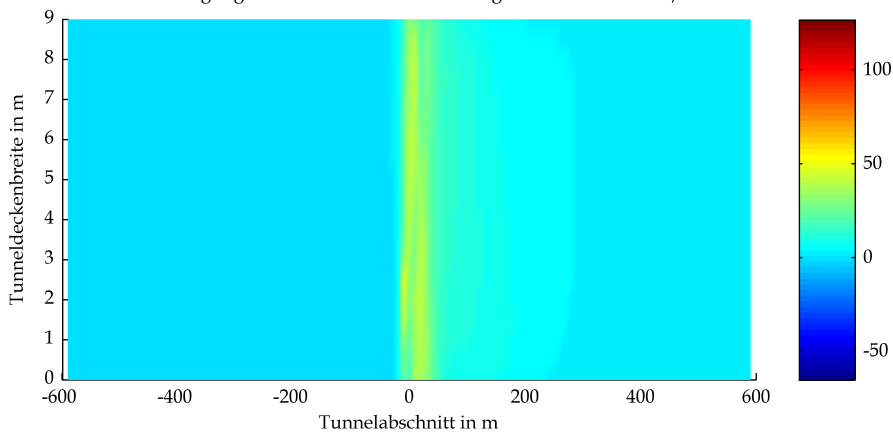


BAStBÜ Rechteck Neigung RV 20.6 owF Wärmestrahlung Tunneldecke in kW/m² bei t=180s

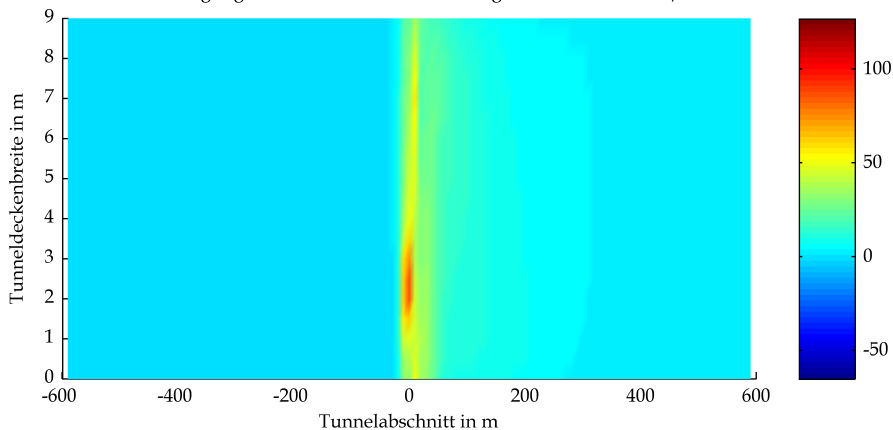


Mittels CFD-Berechnung ermittelte Strahlungswärme an der Tunneldecke

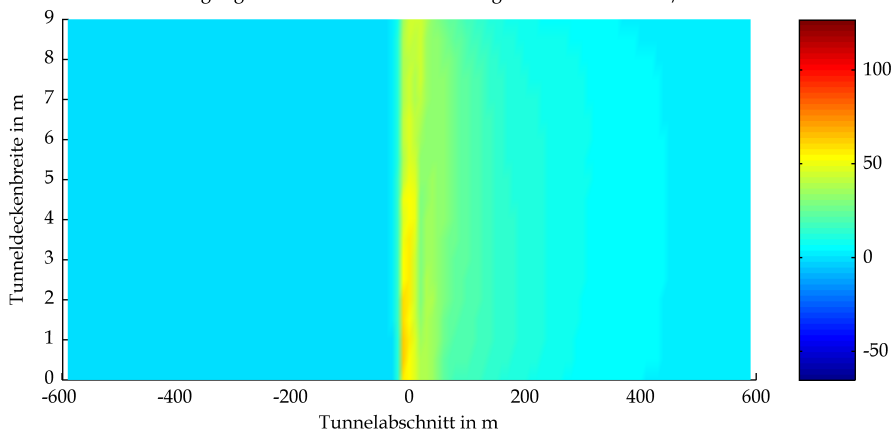
BAStBÜ Rechteck Neigung RV 20.6 owF Wärmestrahlung Tunneldecke in kW/m² bei t=240s



BAStBÜ Rechteck Neigung RV 20.6 owF Wärmestrahlung Tunneldecke in kW/m² bei t=300s

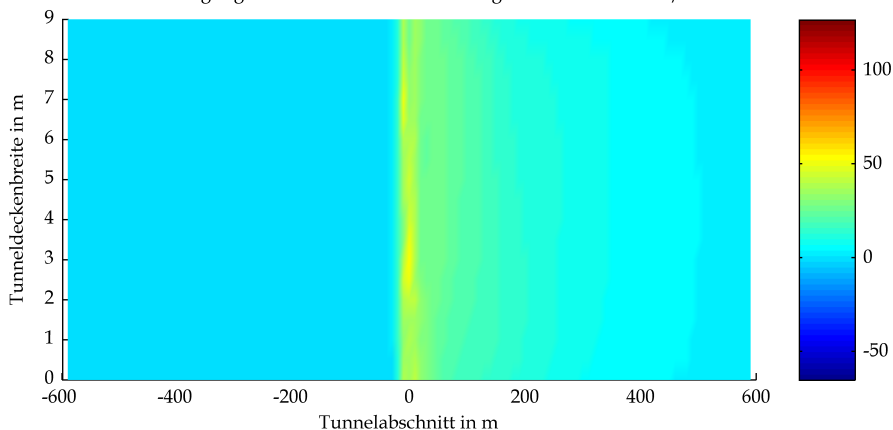


BAStBÜ Rechteck Neigung RV 20.6 owF Wärmestrahlung Tunneldecke in kW/m² bei t=600s

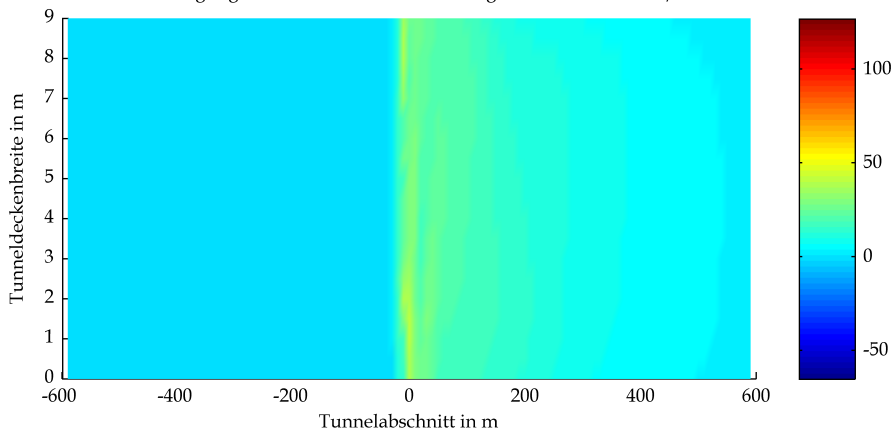


Mittels CFD-Berechnung ermittelte Strahlungswärme an der Tunneldecke

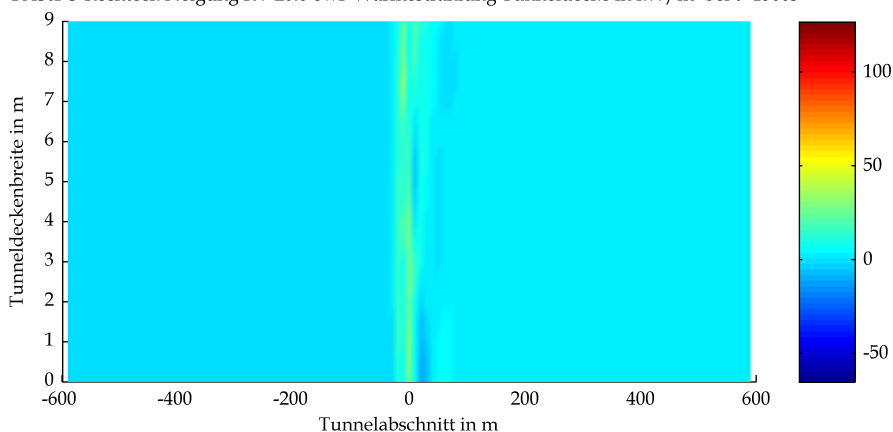
BAStBÜ Rechteck Neigung RV 20.6 owF Wärmestrahlung Tunneldecke in kW/m² bei t=900s



BAStBÜ Rechteck Neigung RV 20.6 owF Wärmestrahlung Tunneldecke in kW/m² bei t=1200s

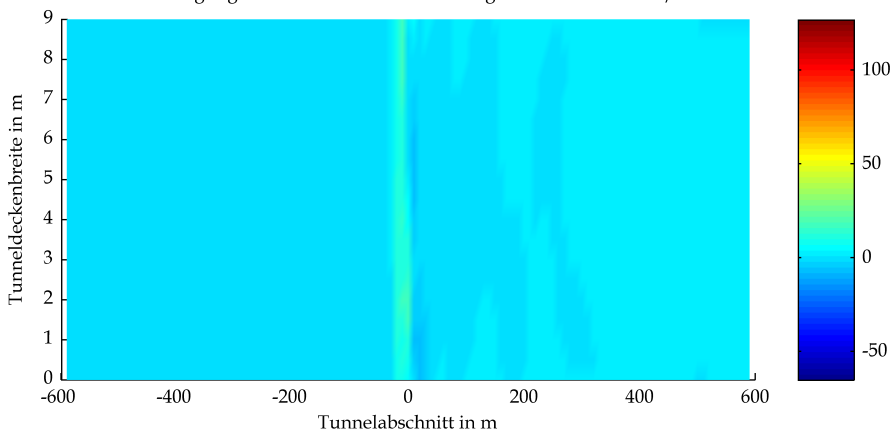


BAStBÜ Rechteck Neigung RV 20.6 owF Wärmestrahlung Tunneldecke in kW/m² bei t=1500s

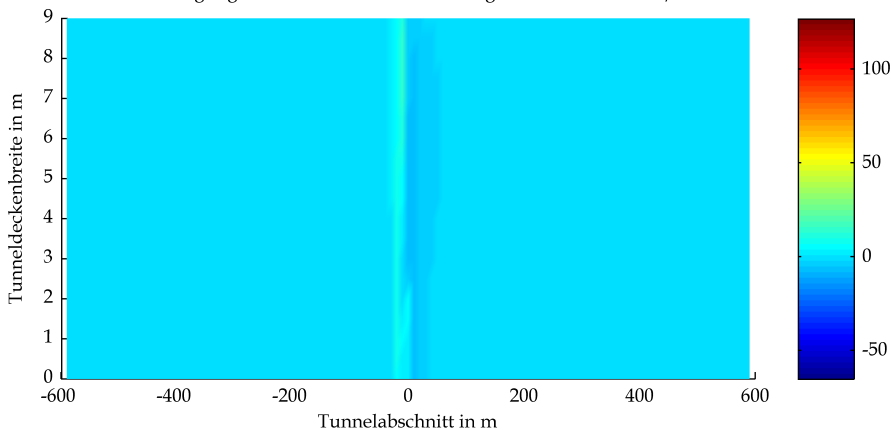


Mittels CFD-Berechnung ermittelte Strahlungswärme an der Tunneldecke

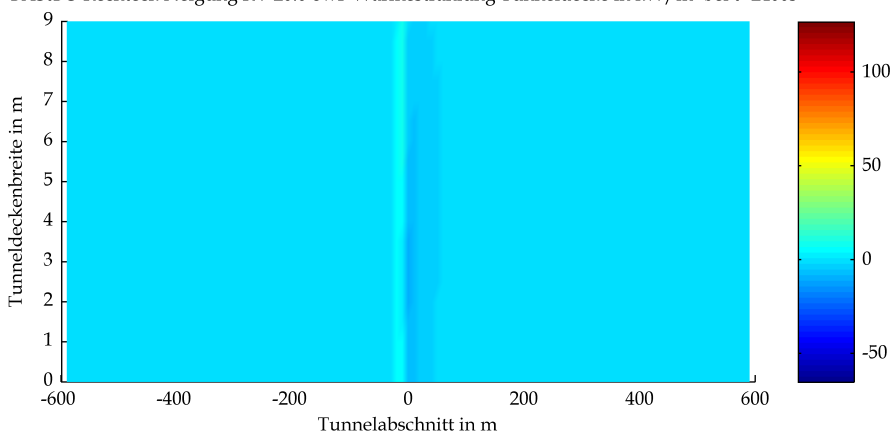
BASStBÜ Rechteck Neigung RV 20.6 owF Wärmestrahlung Tunneldecke in kW/m² bei t=1800s



BASStBÜ Rechteck Neigung RV 20.6 owF Wärmestrahlung Tunneldecke in kW/m² bei t=2100s

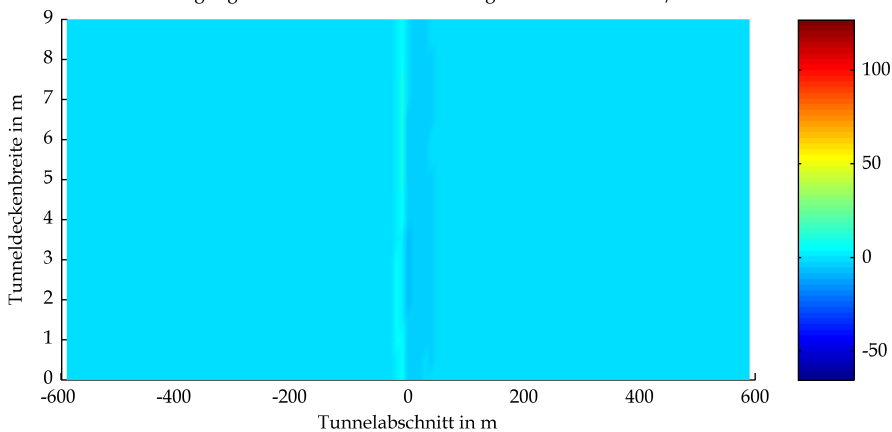


BASStBÜ Rechteck Neigung RV 20.6 owF Wärmestrahlung Tunneldecke in kW/m² bei t=2400s

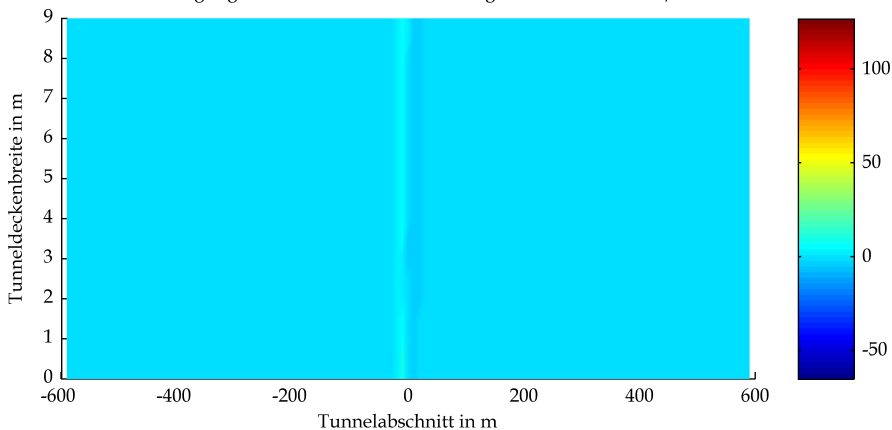


Mittels CFD-Berechnung ermittelte Strahlungswärme an der Tunneldecke

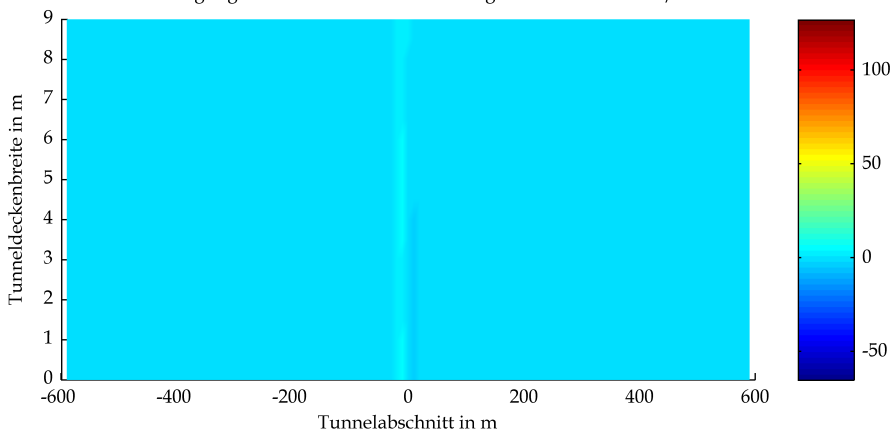
BASStBÜ Rechteck Neigung RV 20.6 owF Wärmestrahlung Tunneldecke in kW/m² bei t=2700s



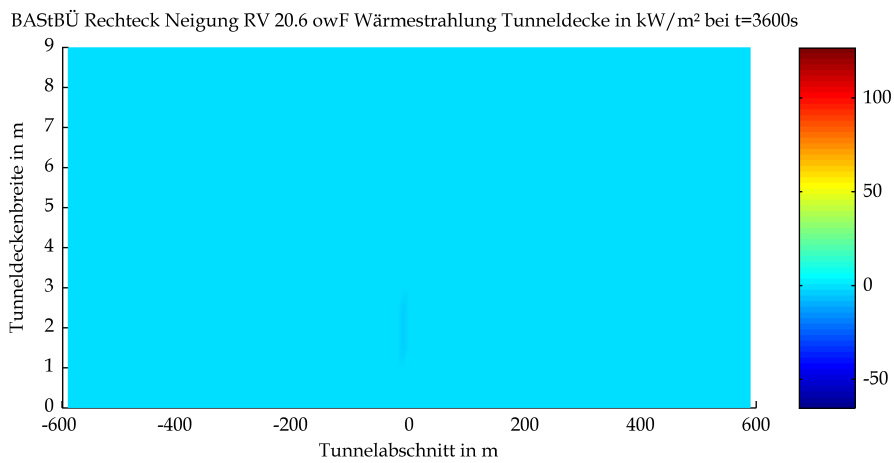
BASStBÜ Rechteck Neigung RV 20.6 owF Wärmestrahlung Tunneldecke in kW/m² bei t=3000s



BASStBÜ Rechteck Neigung RV 20.6 owF Wärmestrahlung Tunneldecke in kW/m² bei t=3300s

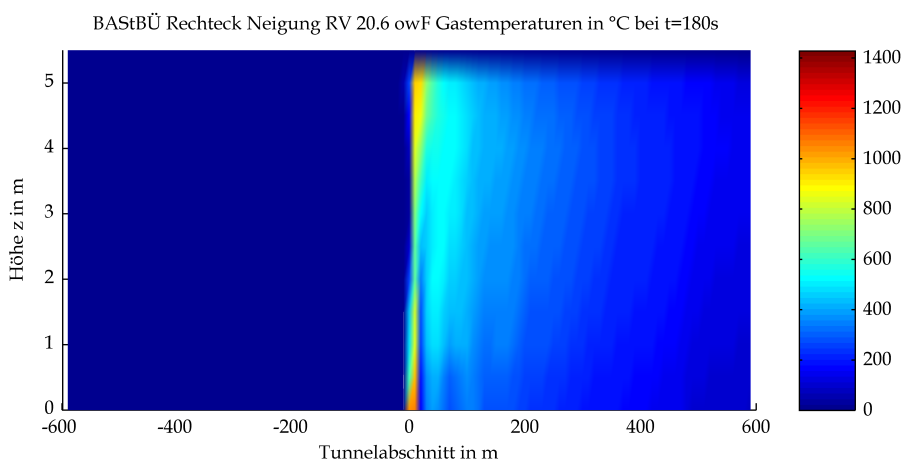
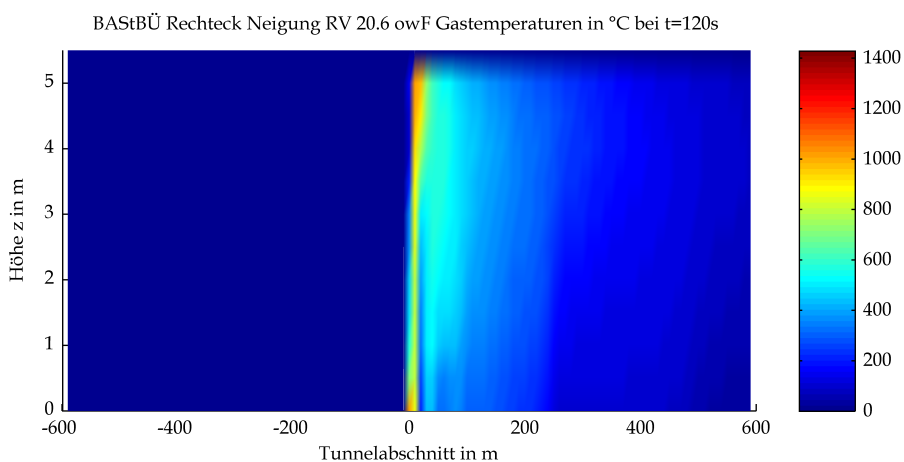
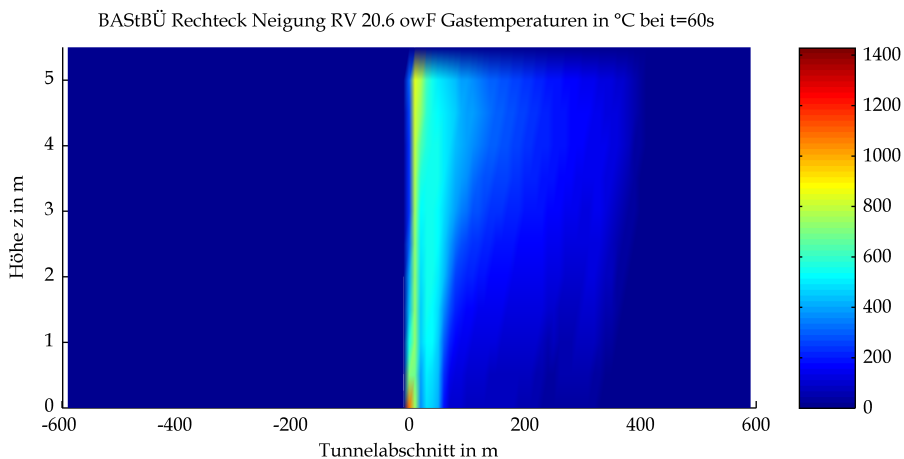


Mittels CFD-Berechnung ermittelte Strahlungswärme an der Tunneldecke

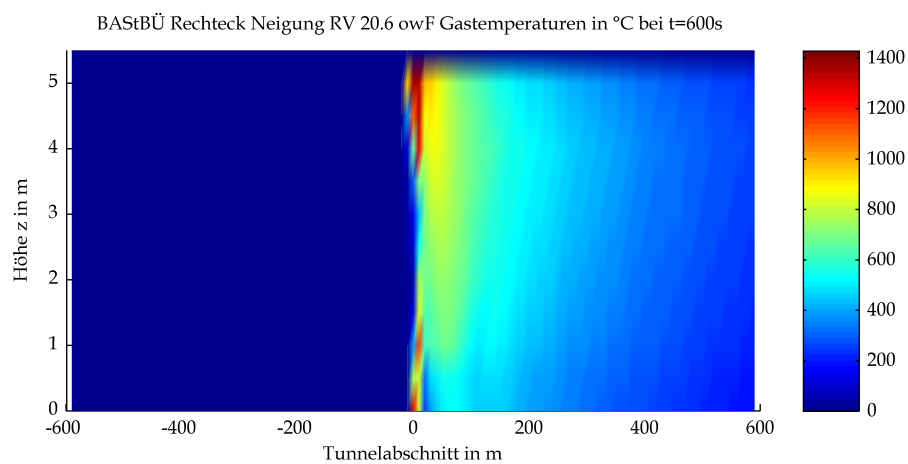
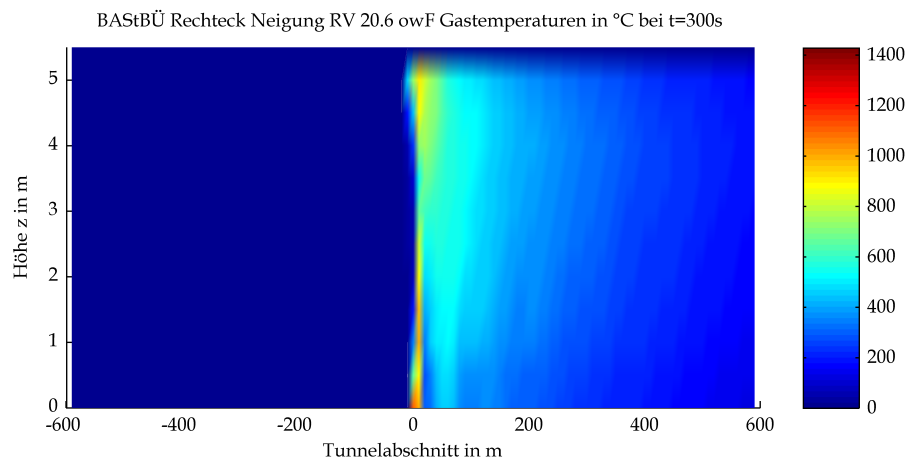
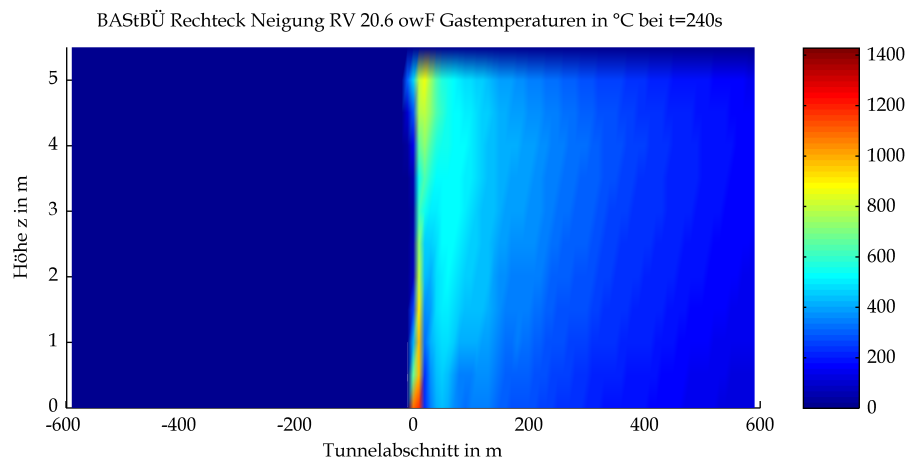


Mittels CFD-Berechnung ermittelte Strahlungswärme an der Tunneldecke

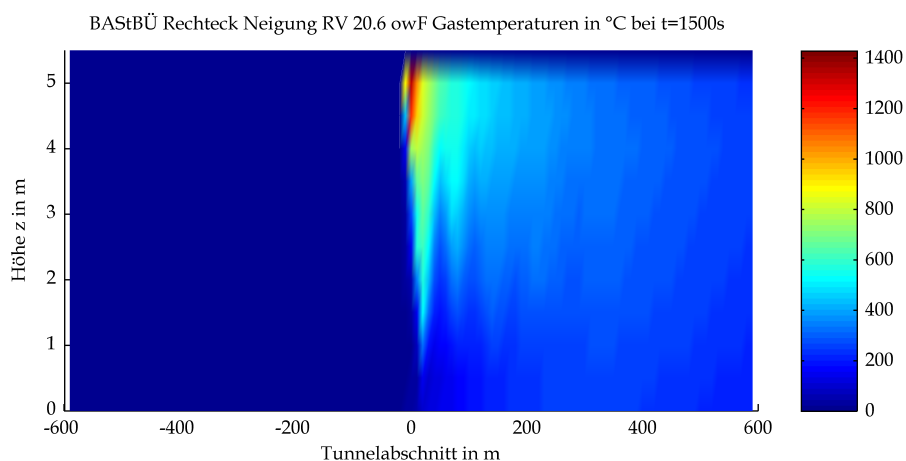
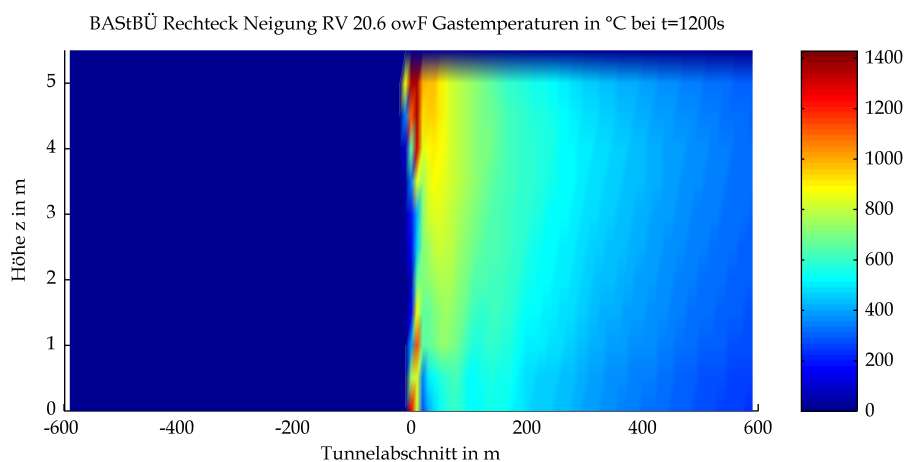
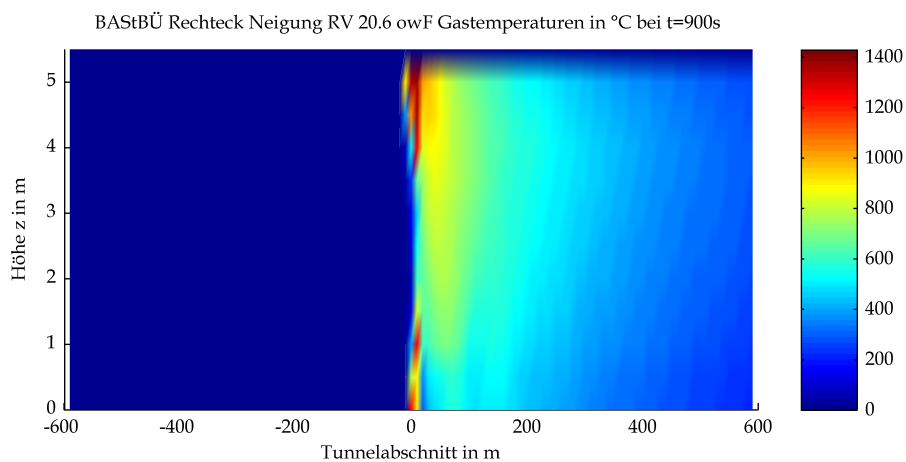
3 Gastemperaturen



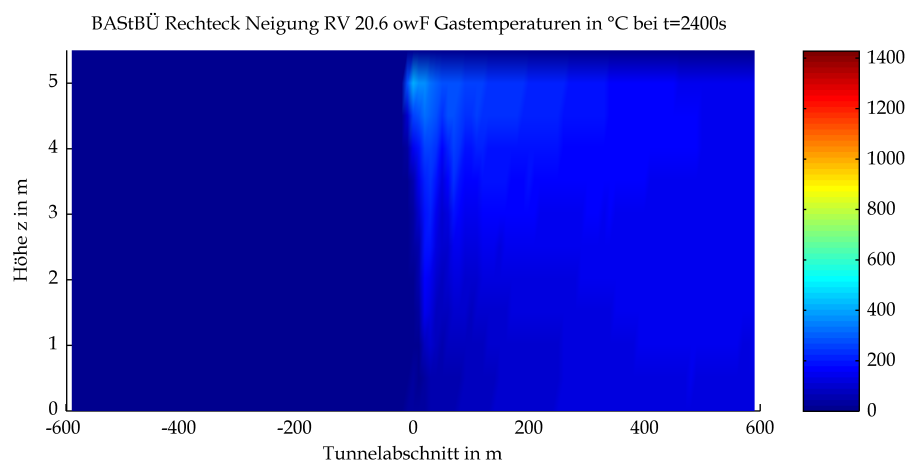
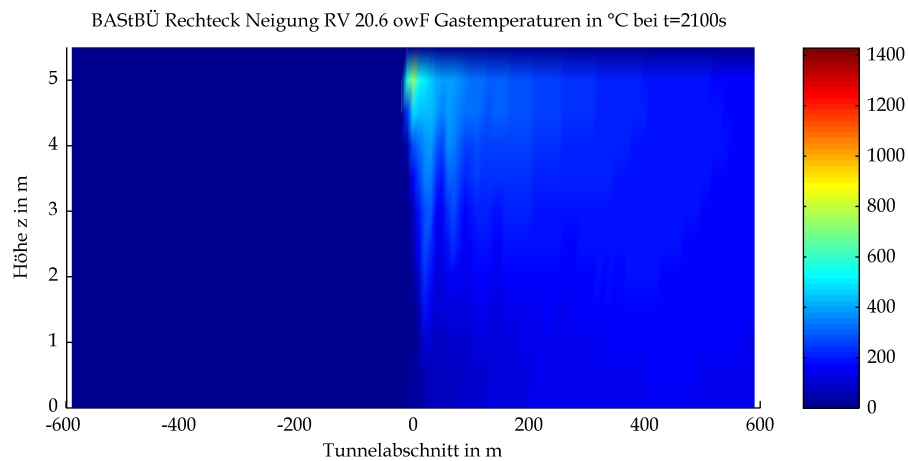
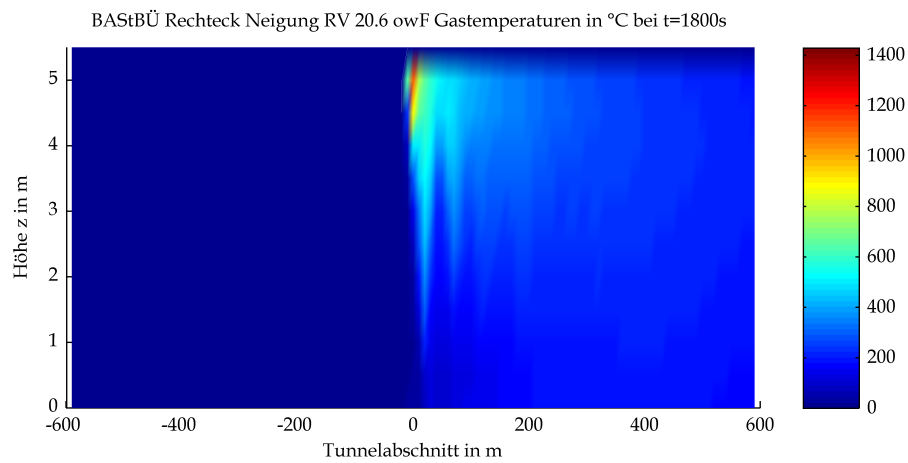
Mittels CFD-Berechnung ermittelte Gastemperaturen



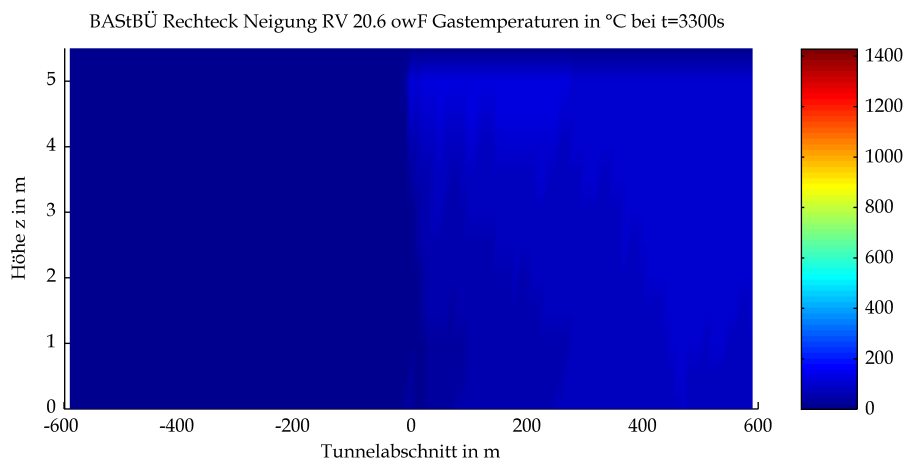
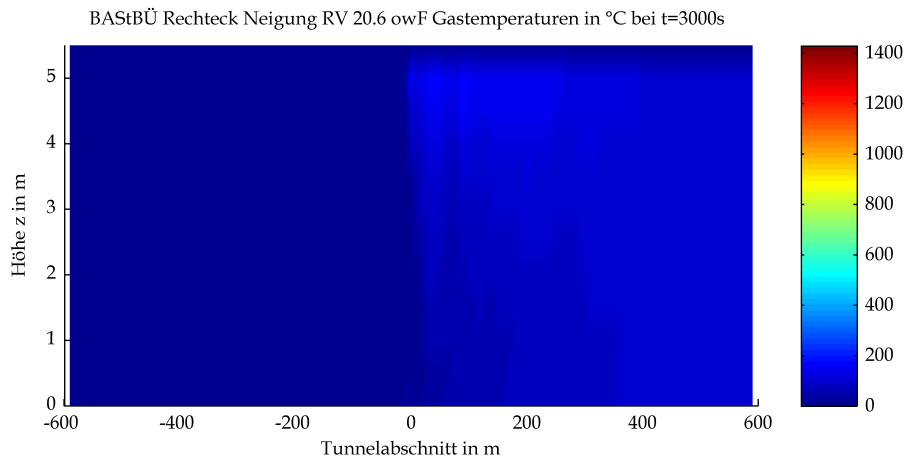
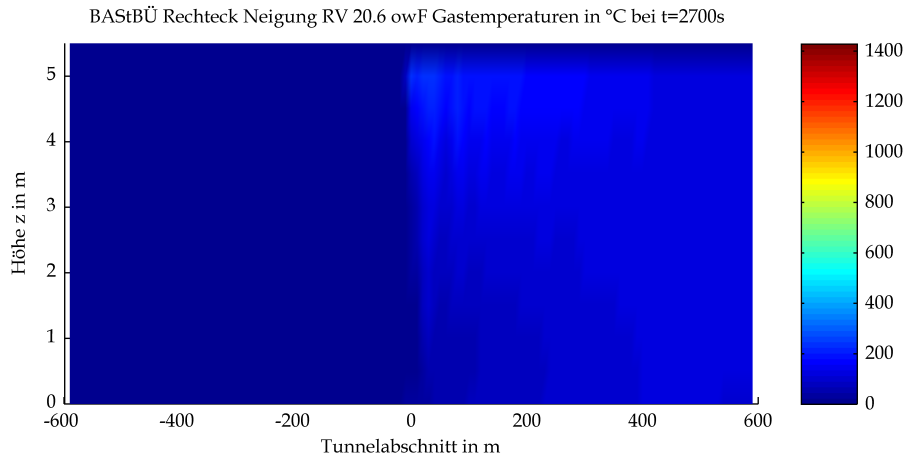
Mittels CFD-Berechnung ermittelte Gasttemperaturen



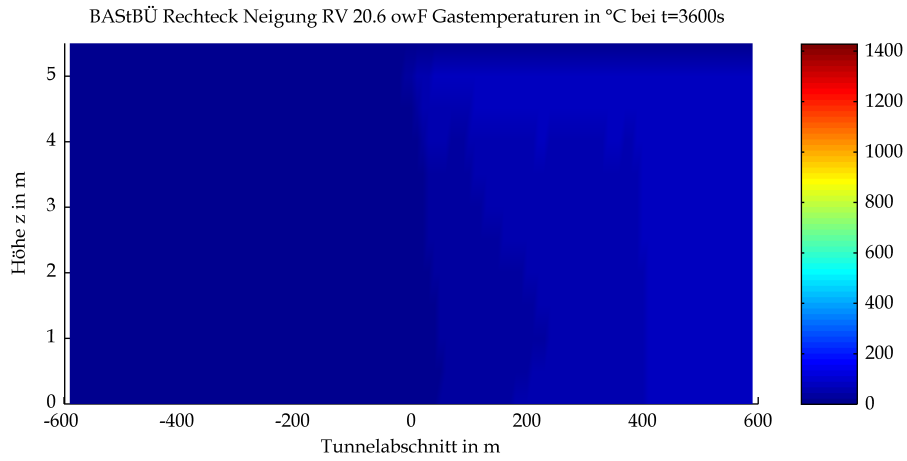
Mittels CFD-Berechnung ermittelte Gasttemperaturen



Mittels CFD-Berechnung ermittelte Gastemperaturen

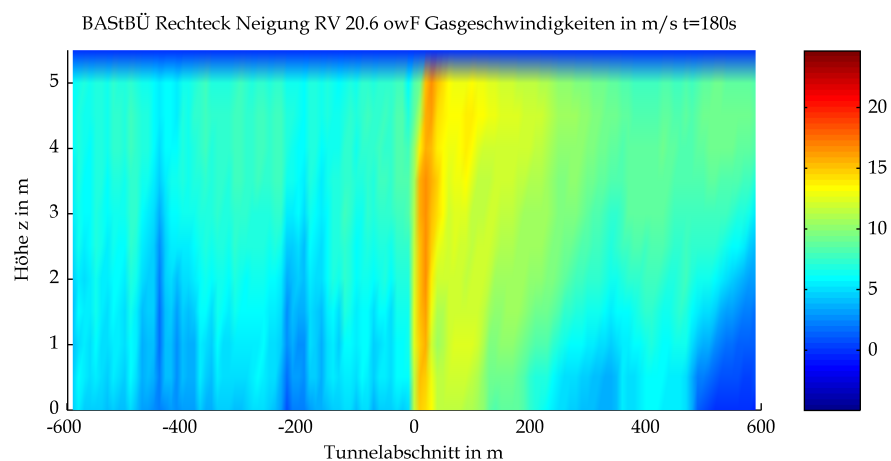
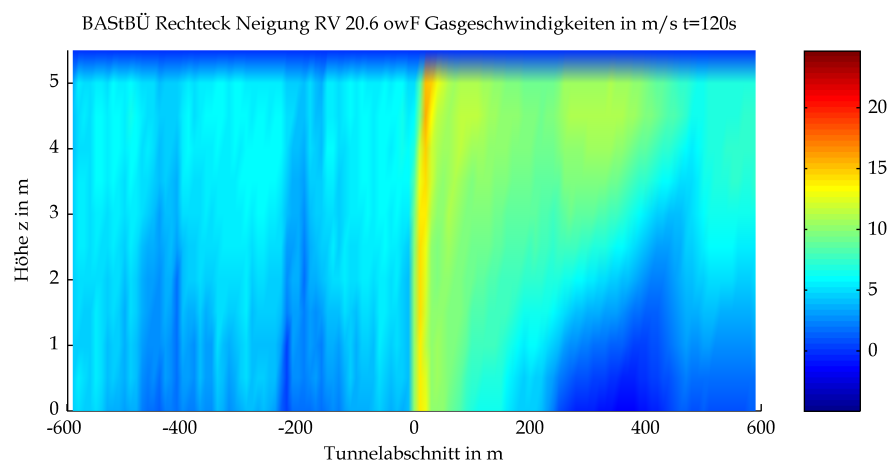
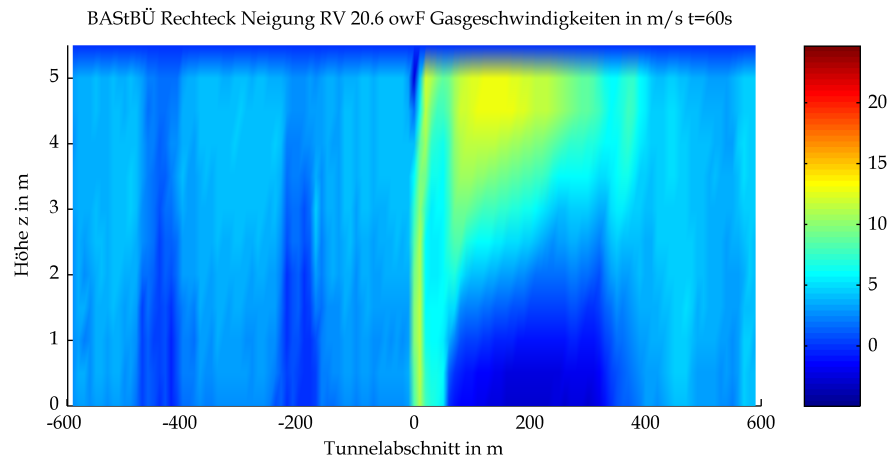


Mittels CFD-Berechnung ermittelte Gastemperaturen

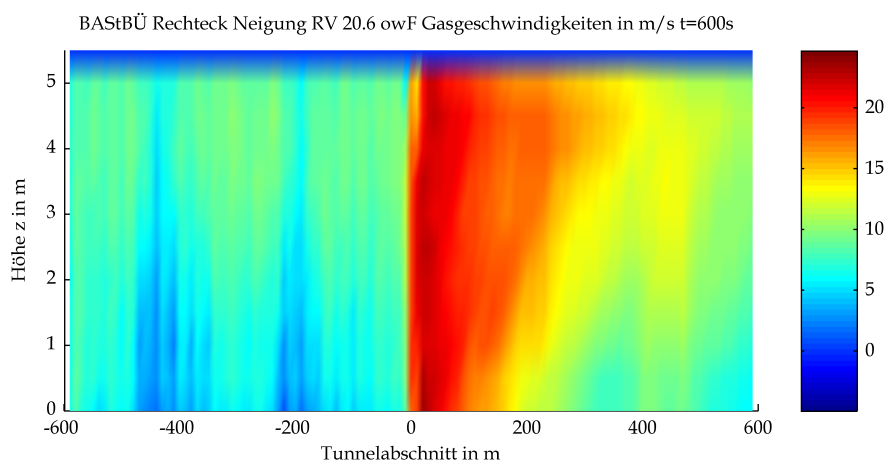
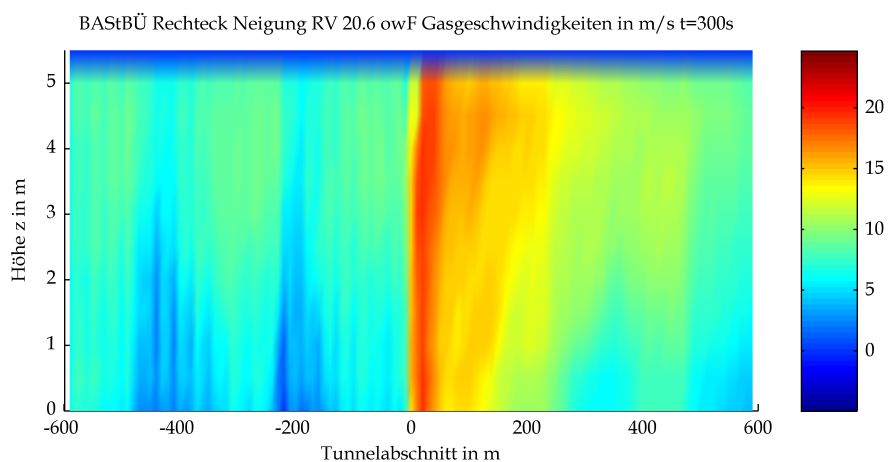
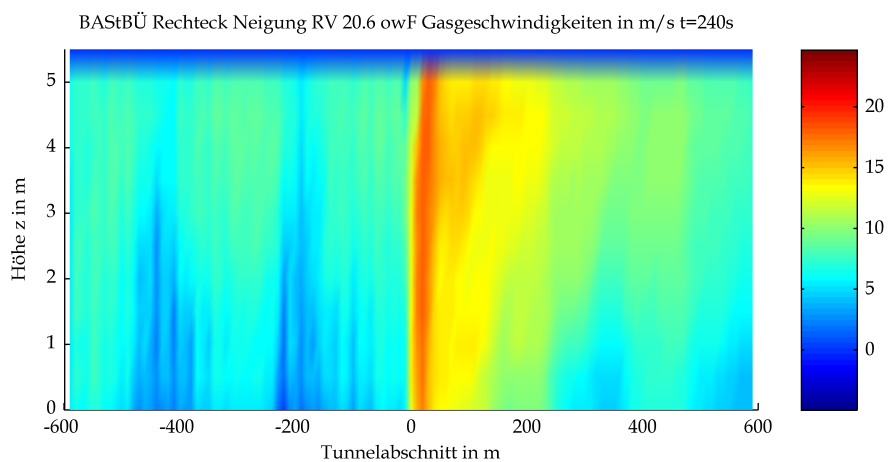


Mittels CFD-Berechnung ermittelte Gastemperaturen

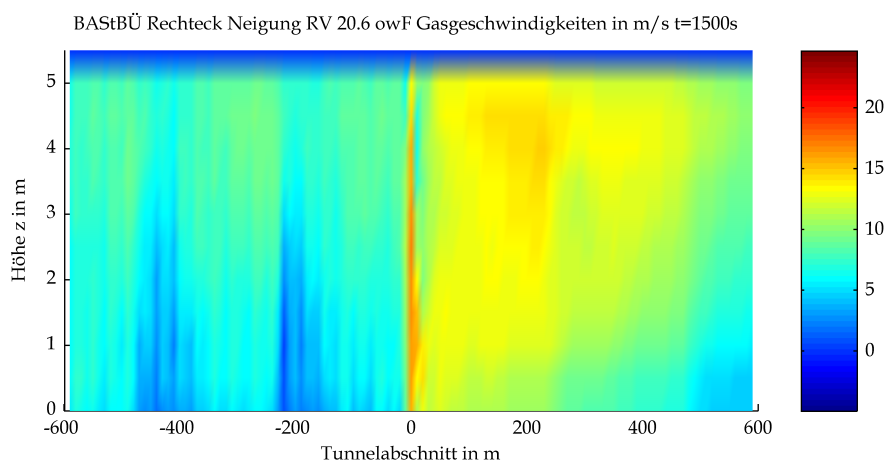
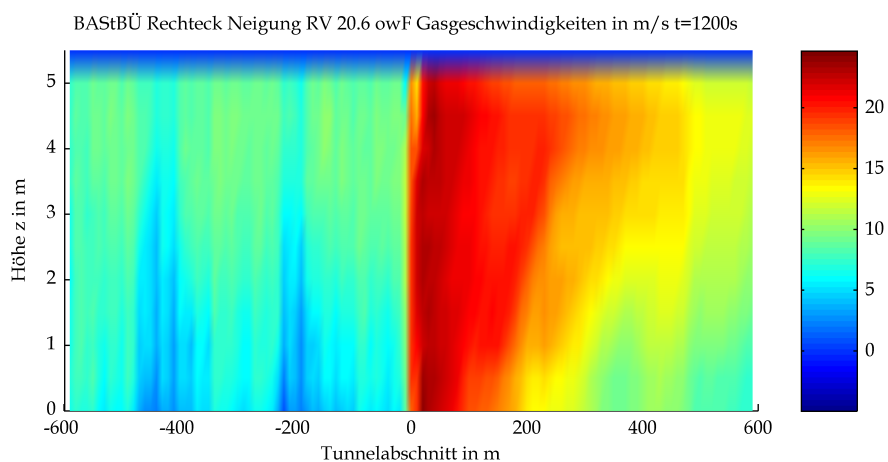
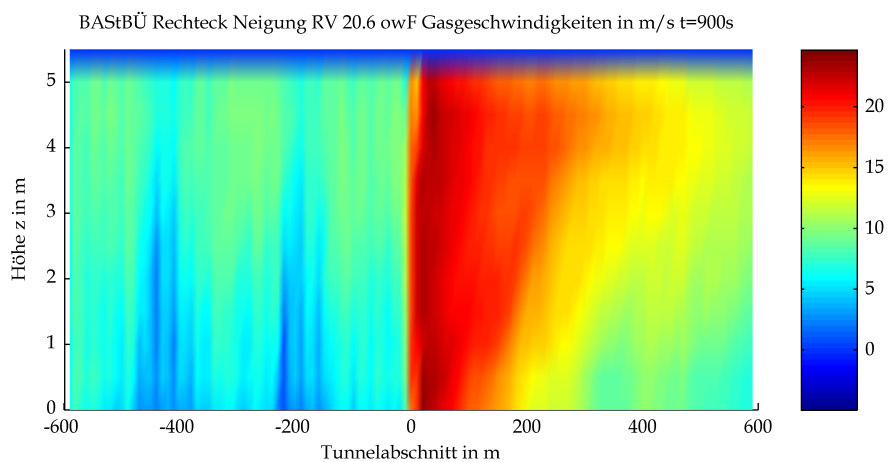
4 Gasgeschwindigkeiten



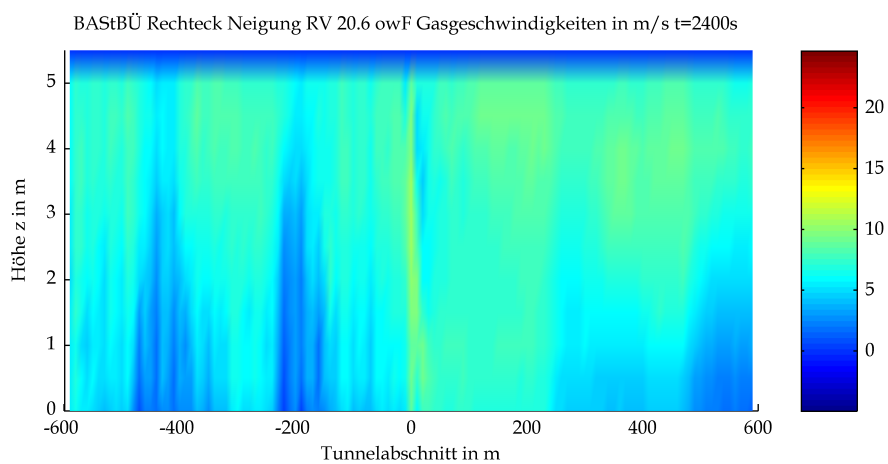
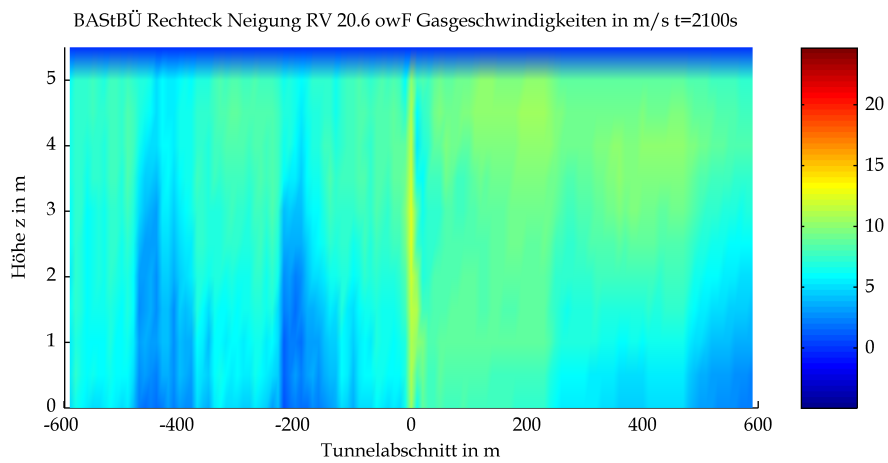
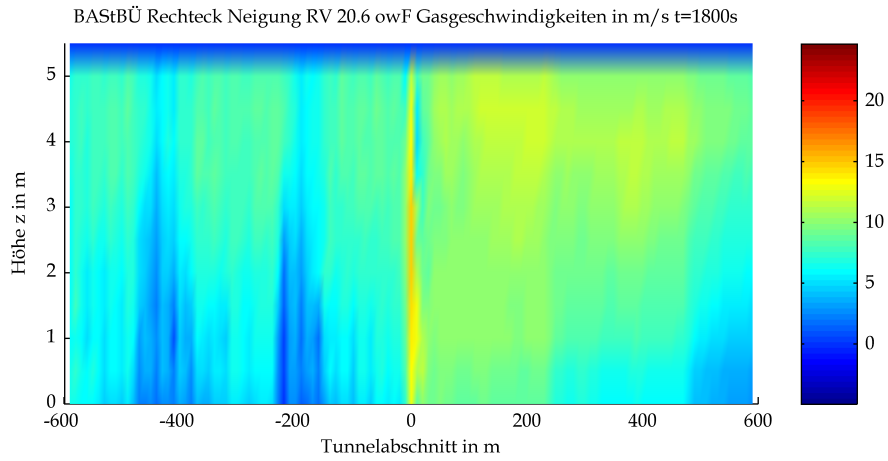
Mittels CFD-Berechnung ermittelte Gasgeschwindigkeit



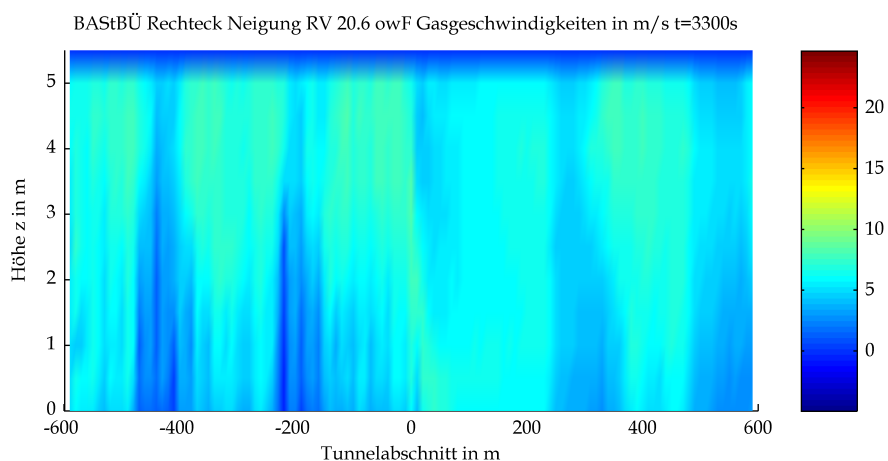
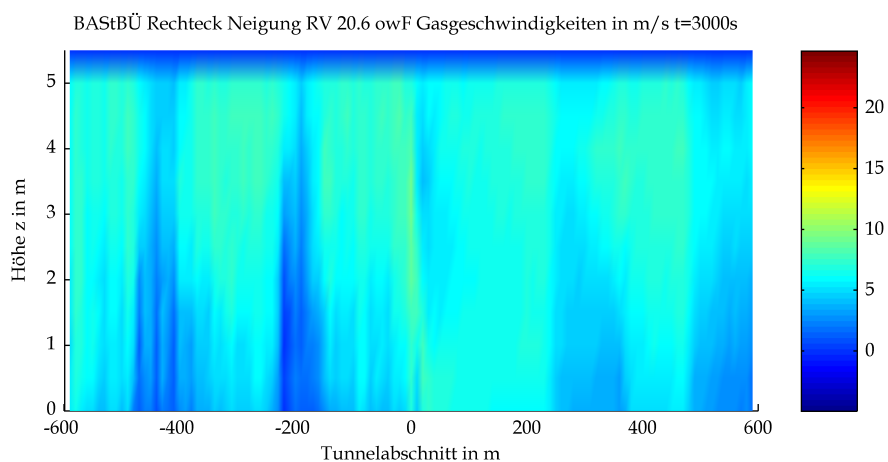
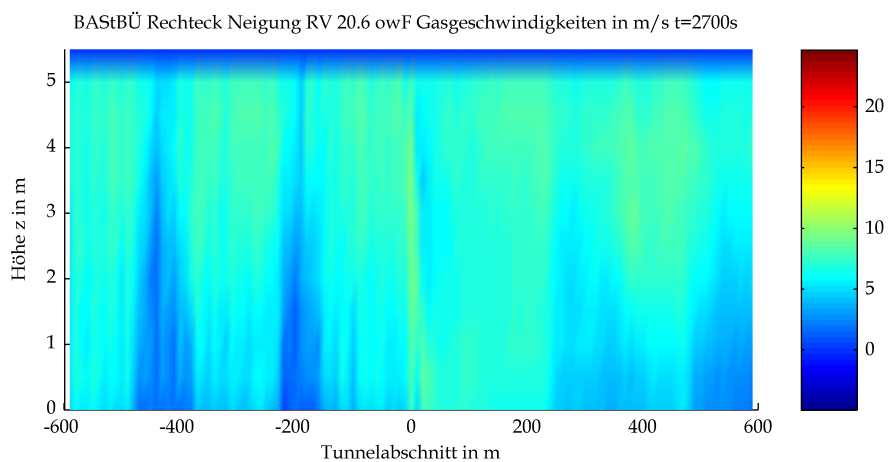
Mittels CFD-Berechnung ermittelte Gasgeschwindigkeit



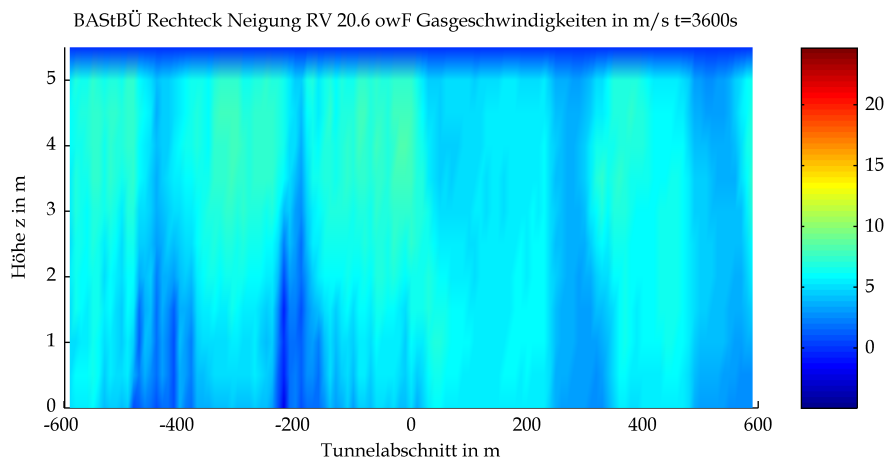
Mittels CFD-Berechnung ermittelte Gasgeschwindigkeit



Mittels CFD-Berechnung ermittelte Gasgeschwindigkeit

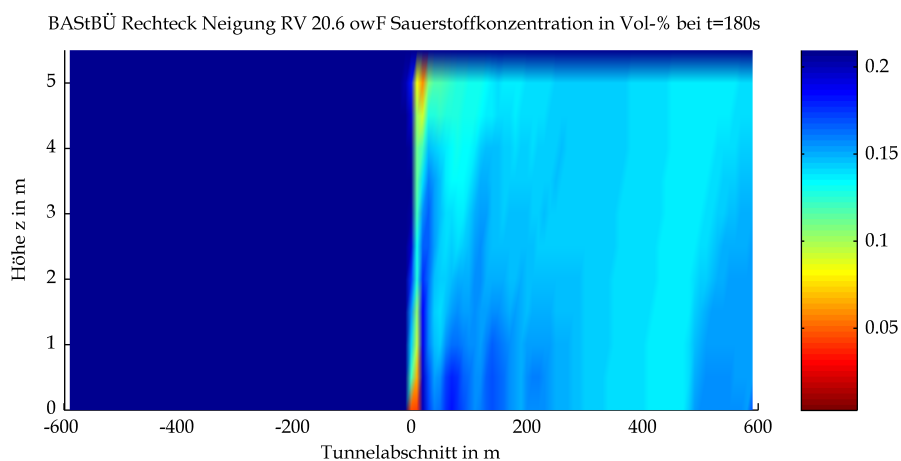
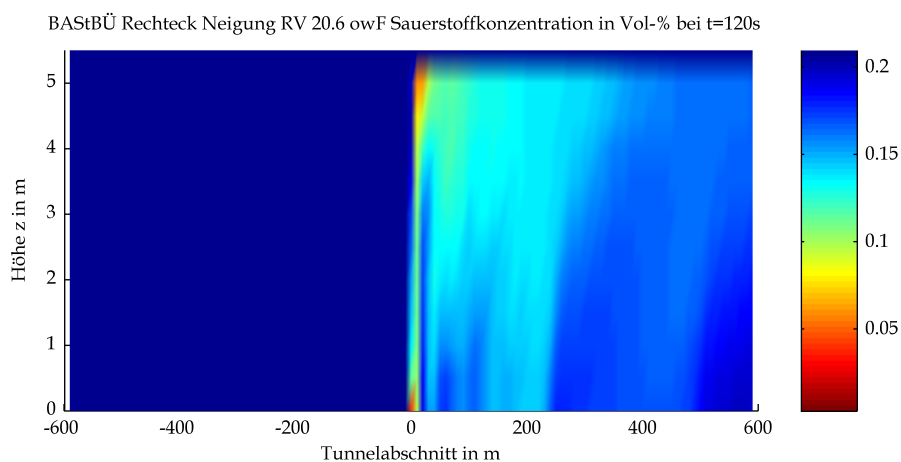
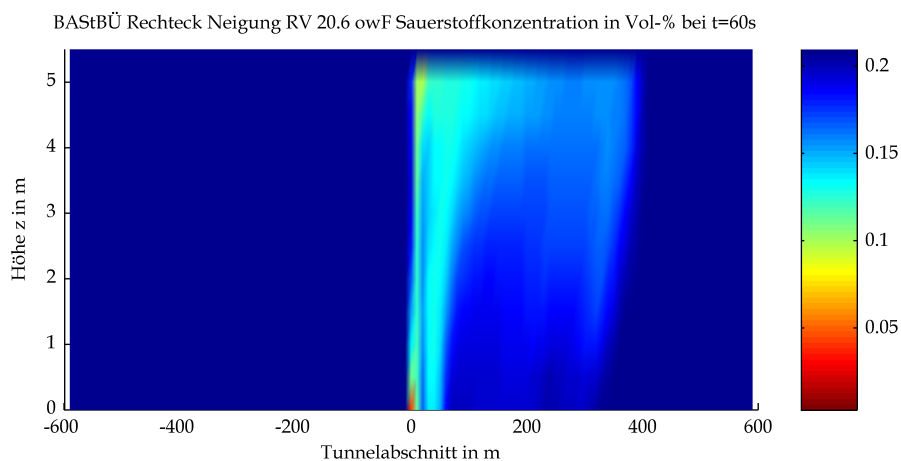


Mittels CFD-Berechnung ermittelte Gasgeschwindigkeit

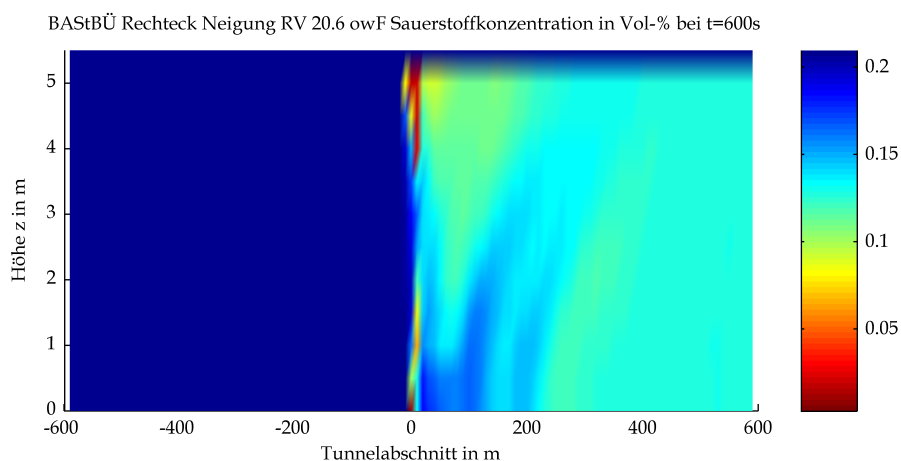
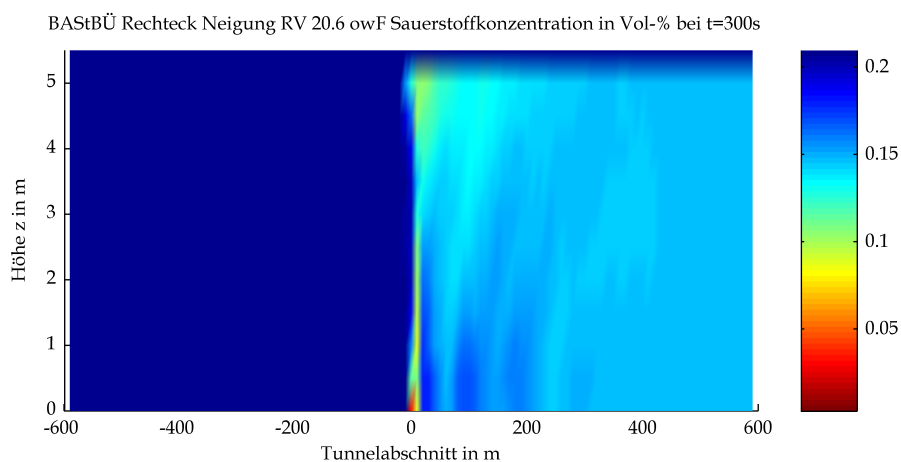
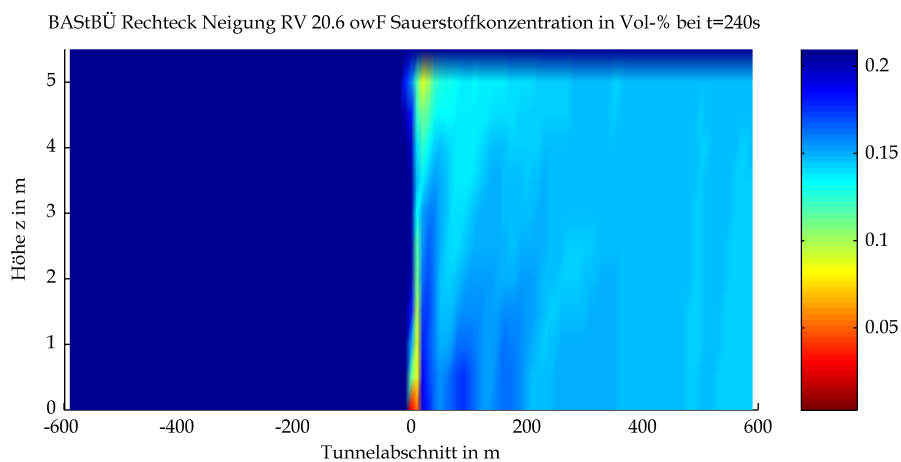


Mittels CFD-Berechnung ermittelte Gasgeschwindigkeit

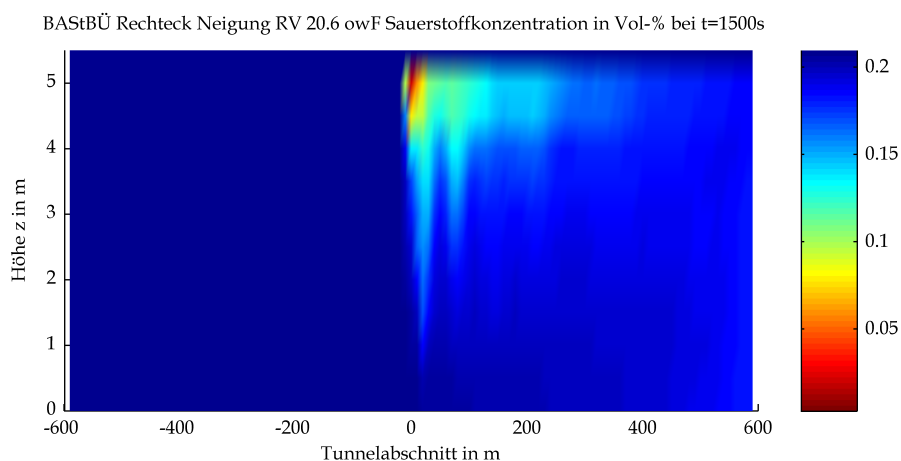
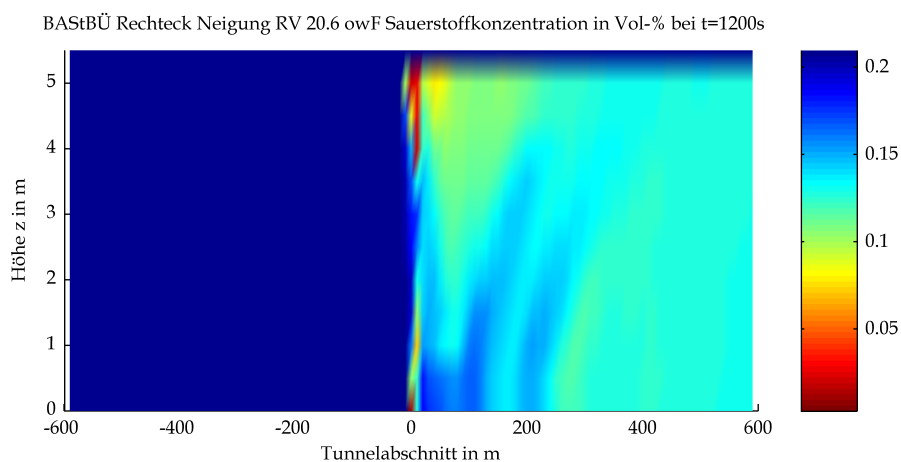
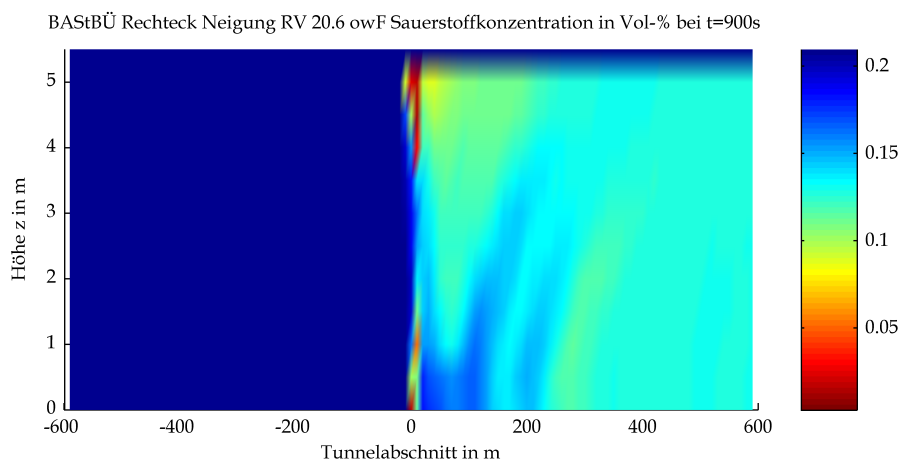
5 Sauerstoffgehalt



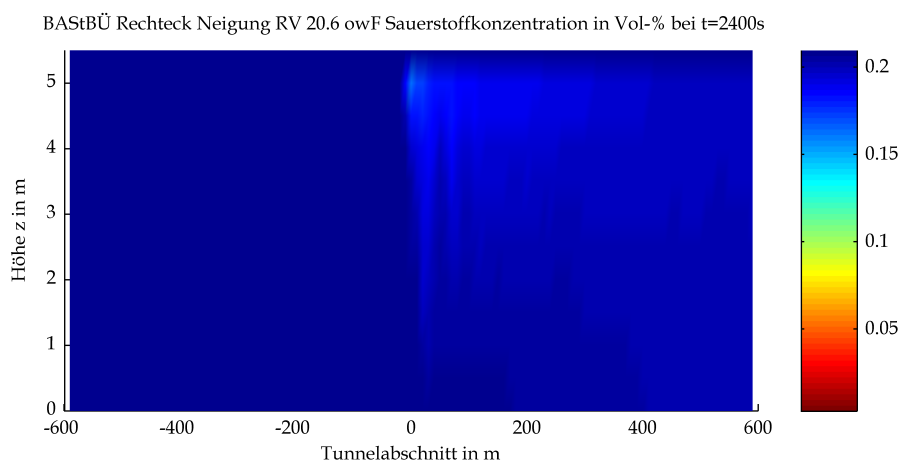
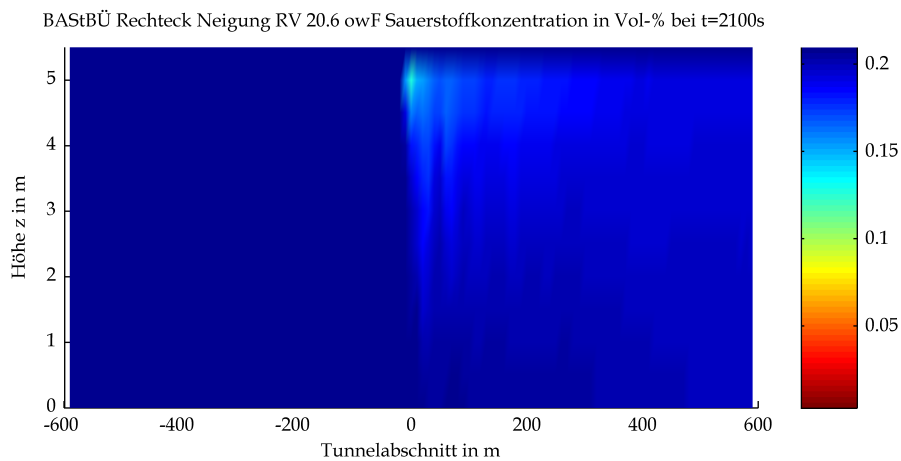
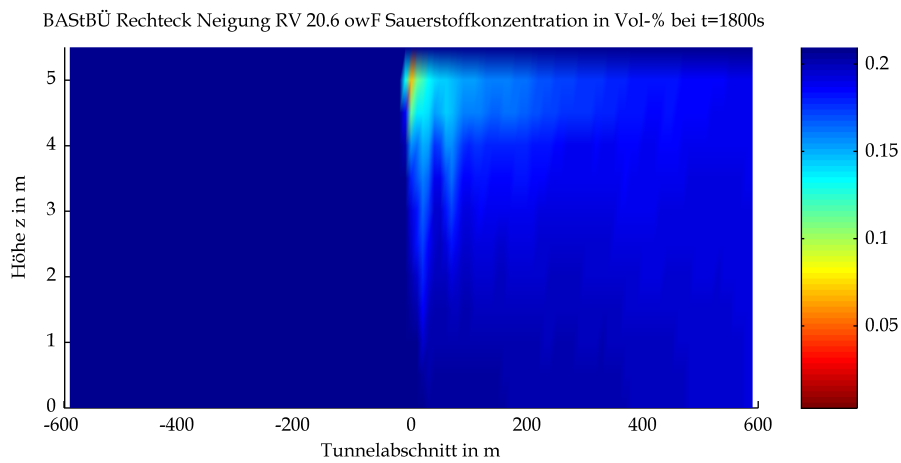
Mittels CFD-Berechnung ermittelte Sauerstoffgehalte



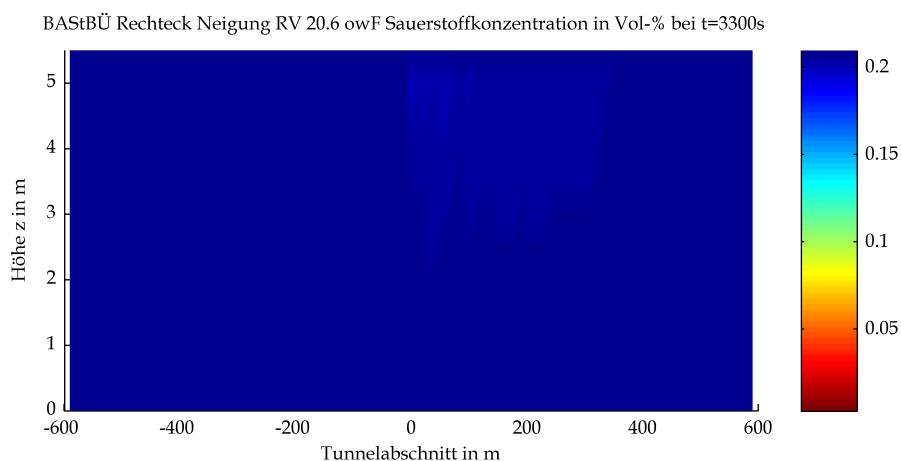
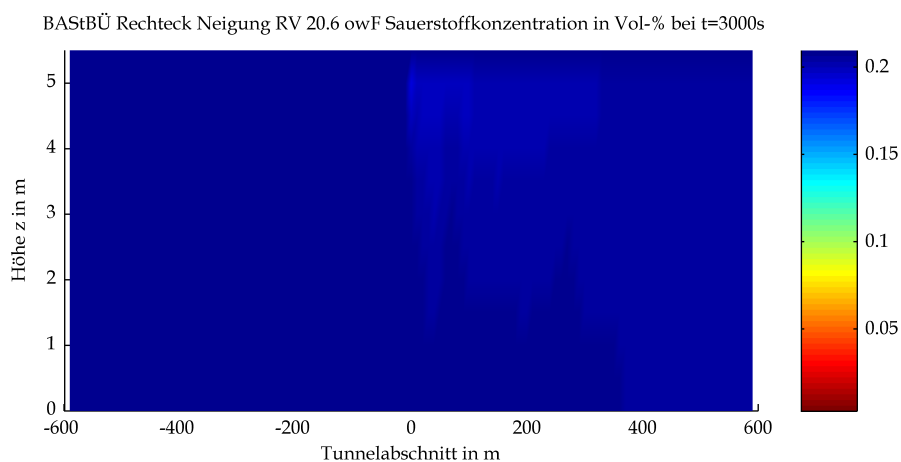
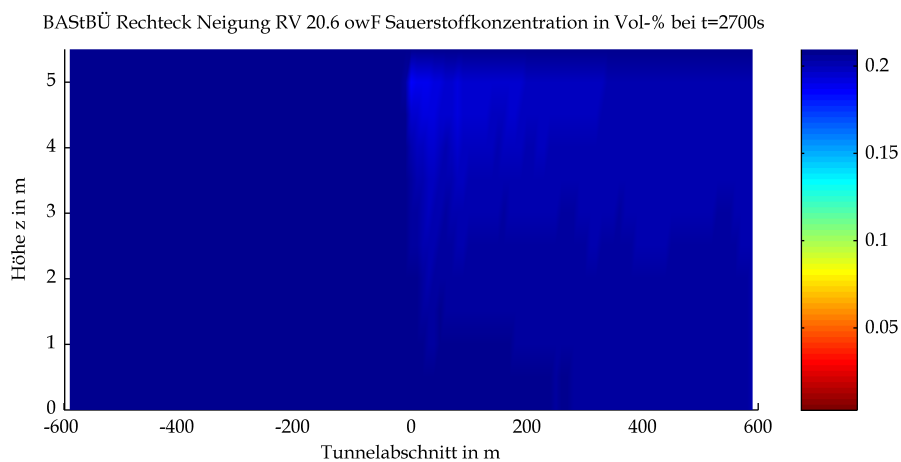
Mittels CFD-Berechnung ermittelte Sauerstoffgehalte



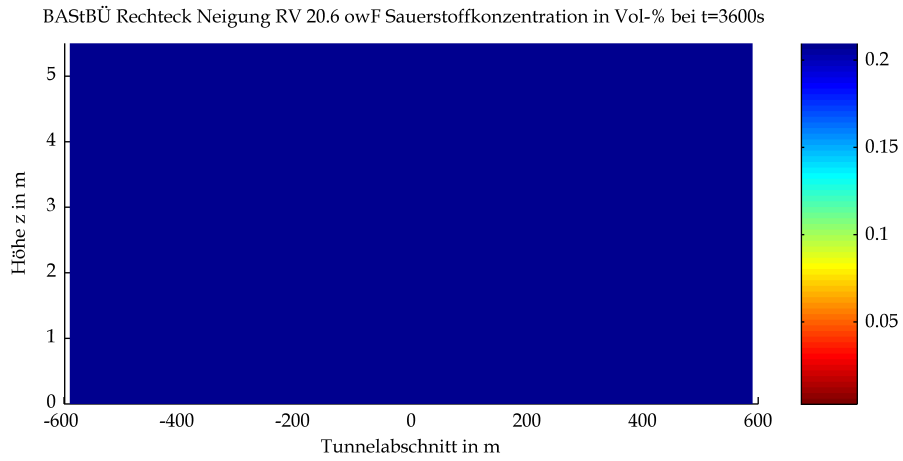
Mittels CFD-Berechnung ermittelte Sauerstoffgehalte



Mittels CFD-Berechnung ermittelte Sauerstoffgehalte

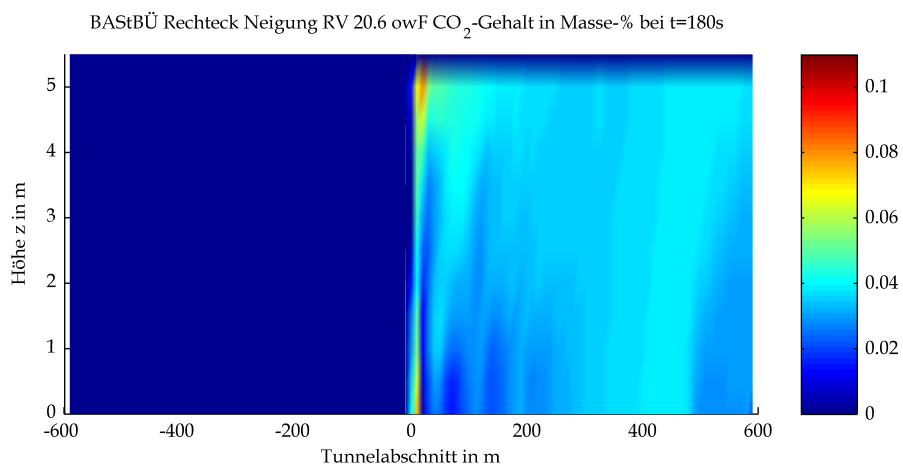
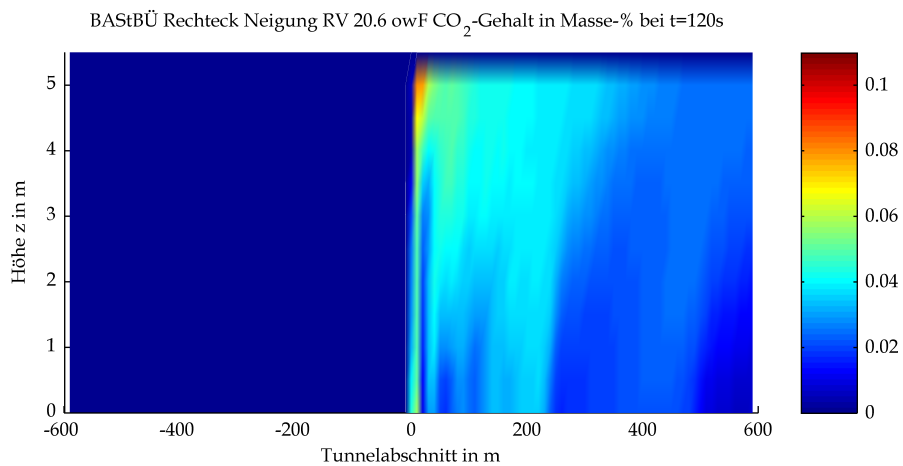
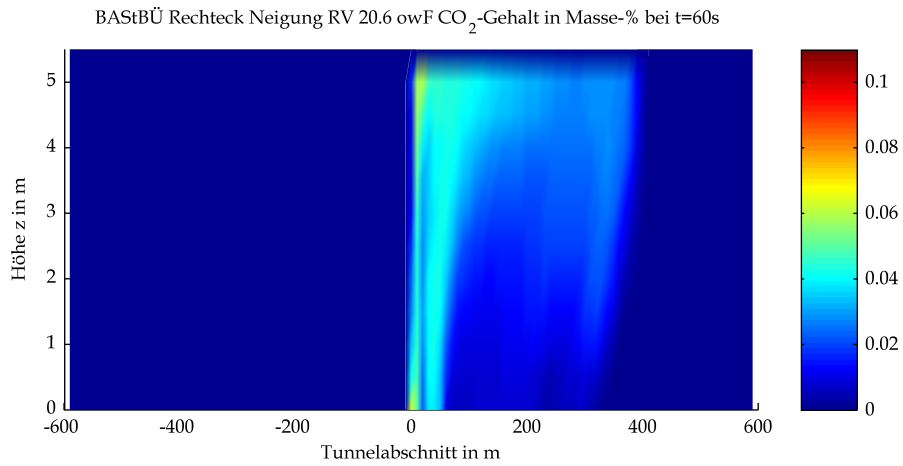


Mittels CFD-Berechnung ermittelte Sauerstoffgehalte



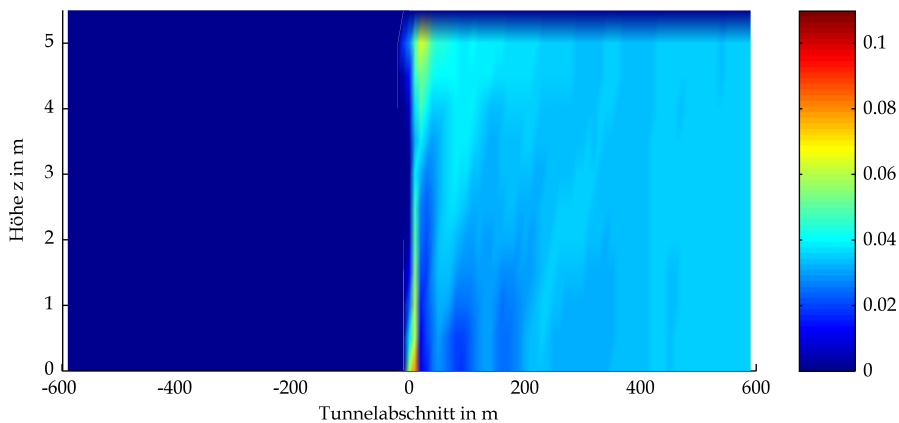
Mittels CFD-Berechnung ermittelte Sauerstoffgehalte

6 Kohlendioxidgehalt

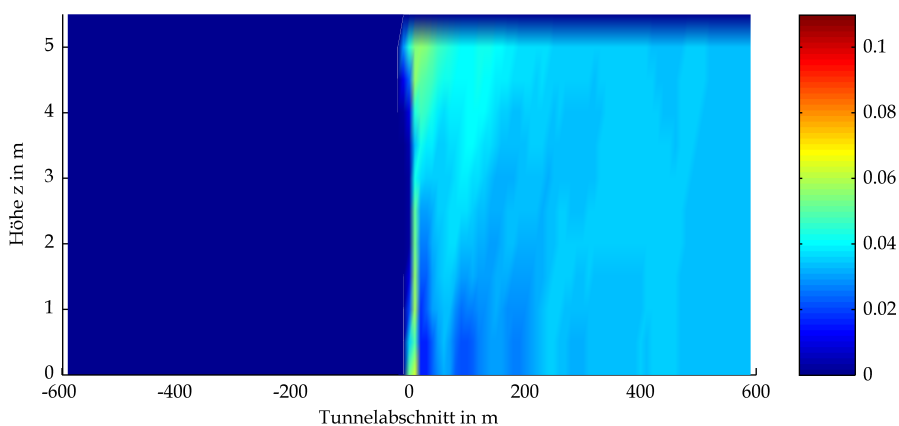


Mittels CFD-Berechnung ermittelte Kohlendioxidgehalte

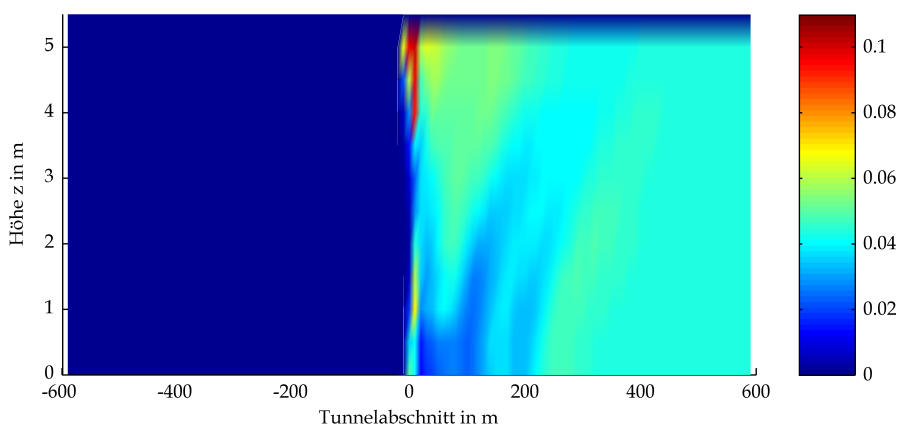
BASTBÜ Rechteck Neigung RV 20.6 owF CO₂-Gehalt in Masse-% bei t=240s



BASTBÜ Rechteck Neigung RV 20.6 owF CO₂-Gehalt in Masse-% bei t=300s

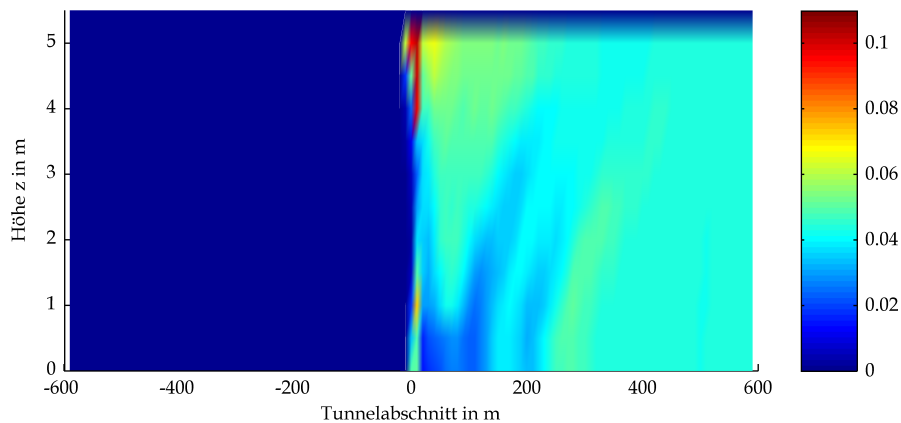


BASTBÜ Rechteck Neigung RV 20.6 owF CO₂-Gehalt in Masse-% bei t=600s

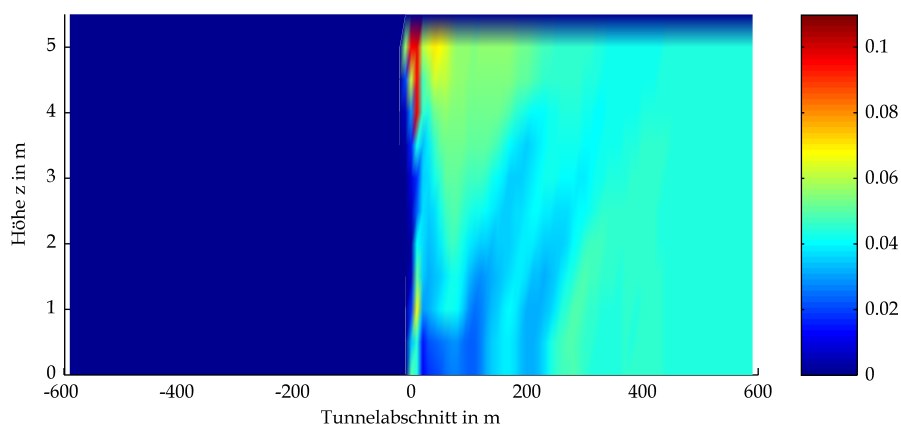


Mittels CFD-Berechnung ermittelte Kohlendioxidgehalte

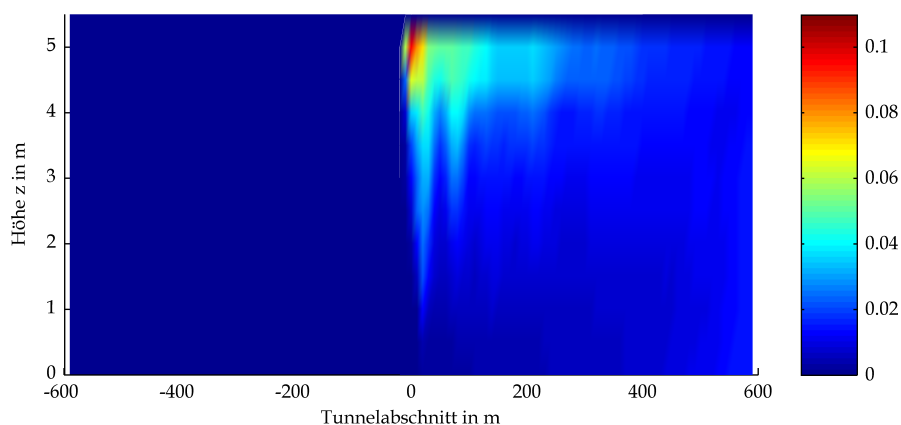
BASTBÜ Rechteck Neigung RV 20.6 owF CO₂-Gehalt in Masse-% bei t=900s



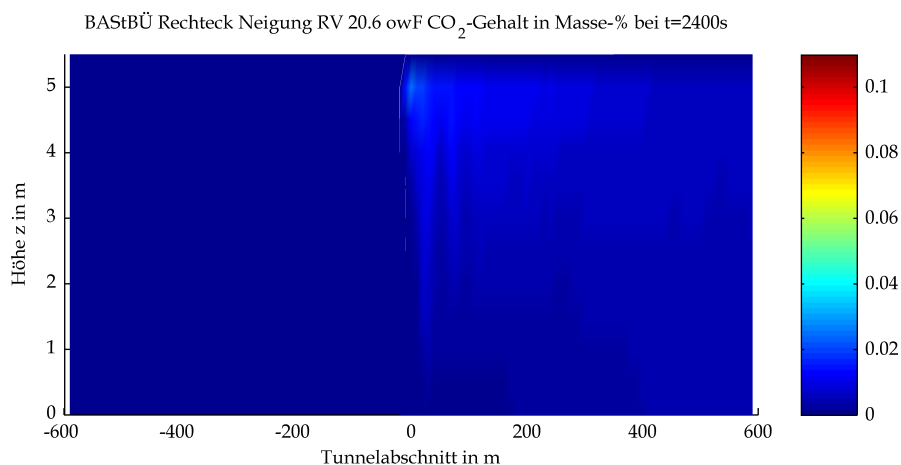
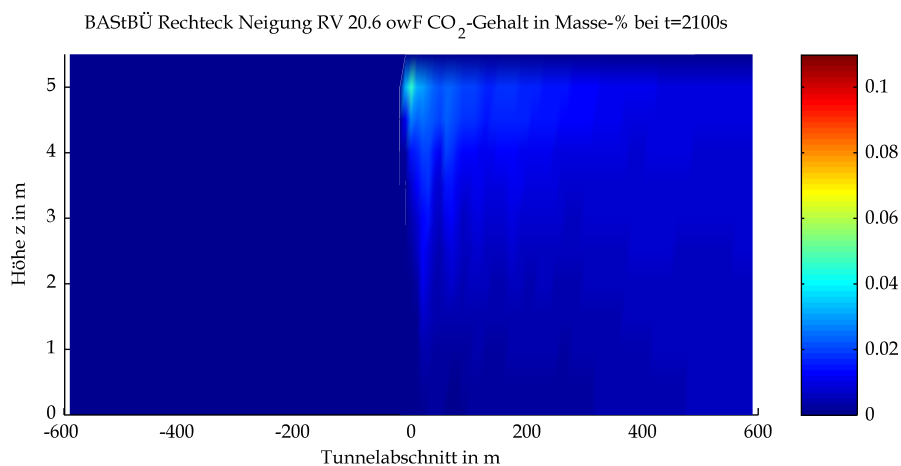
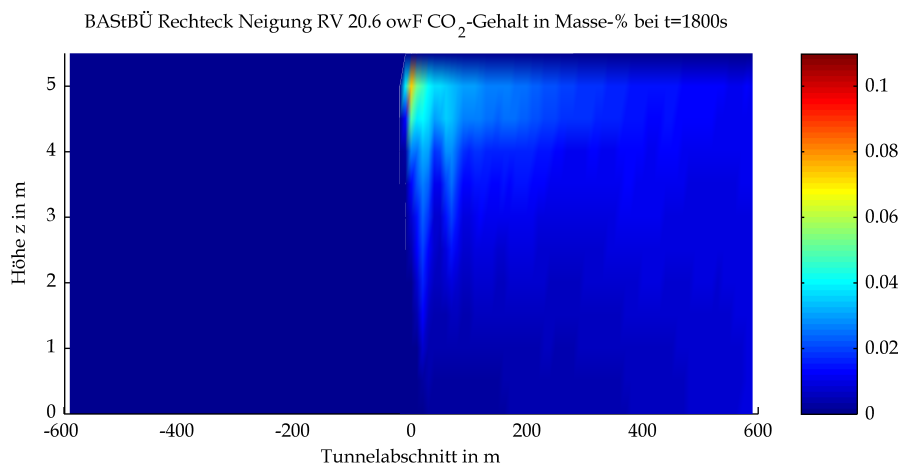
BASTBÜ Rechteck Neigung RV 20.6 owF CO₂-Gehalt in Masse-% bei t=1200s



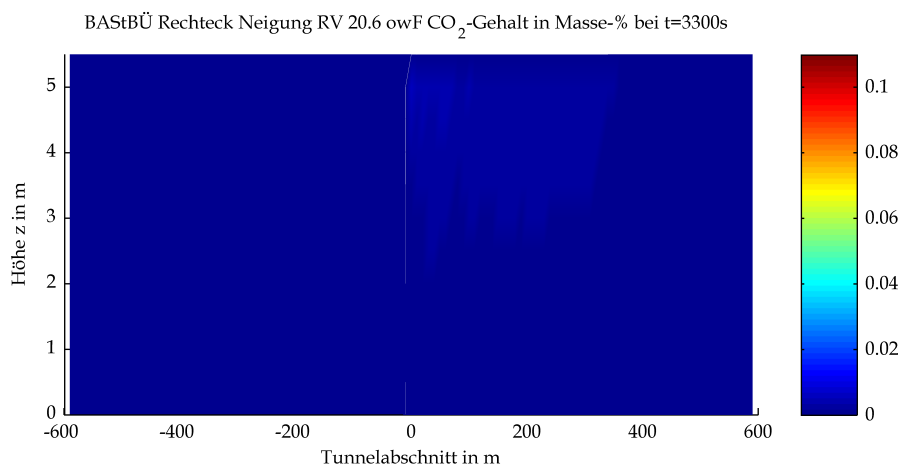
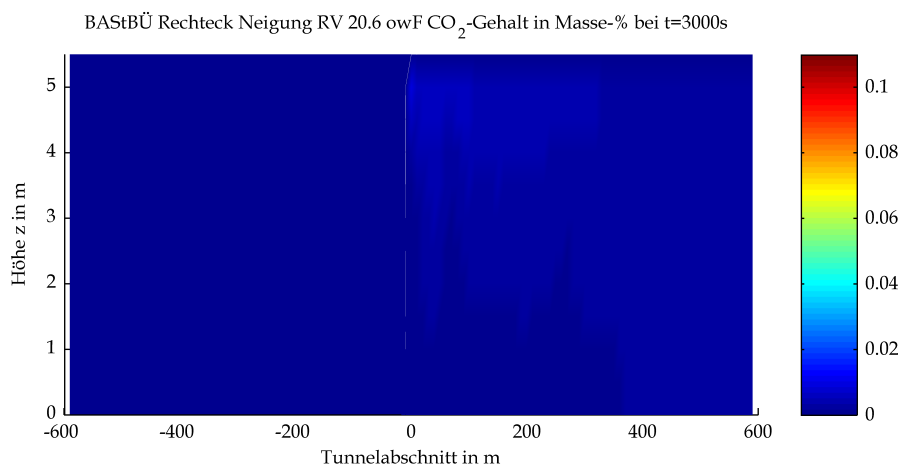
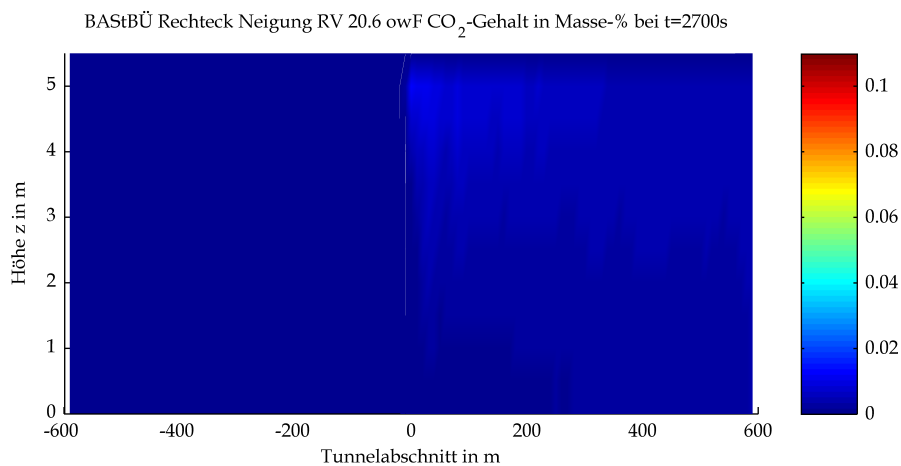
BASTBÜ Rechteck Neigung RV 20.6 owF CO₂-Gehalt in Masse-% bei t=1500s



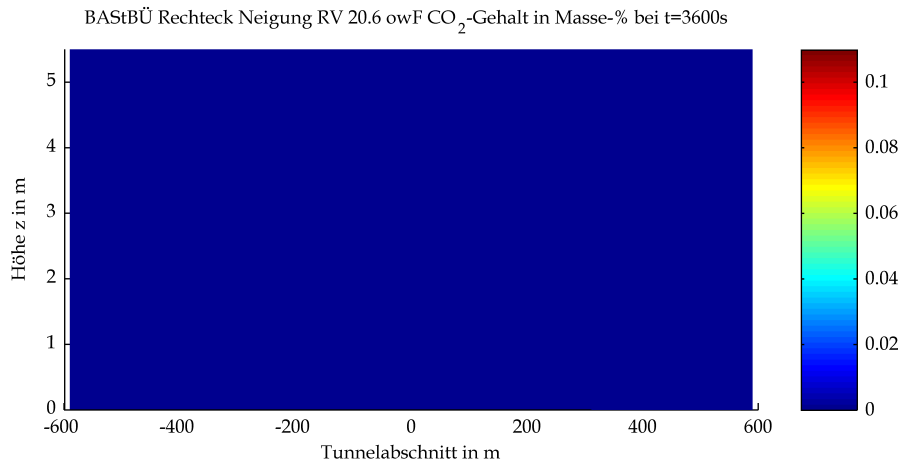
Mittels CFD-Berechnung ermittelte Kohlendioxidgehalte



Mittels CFD-Berechnung ermittelte Kohlendioxidgehalte

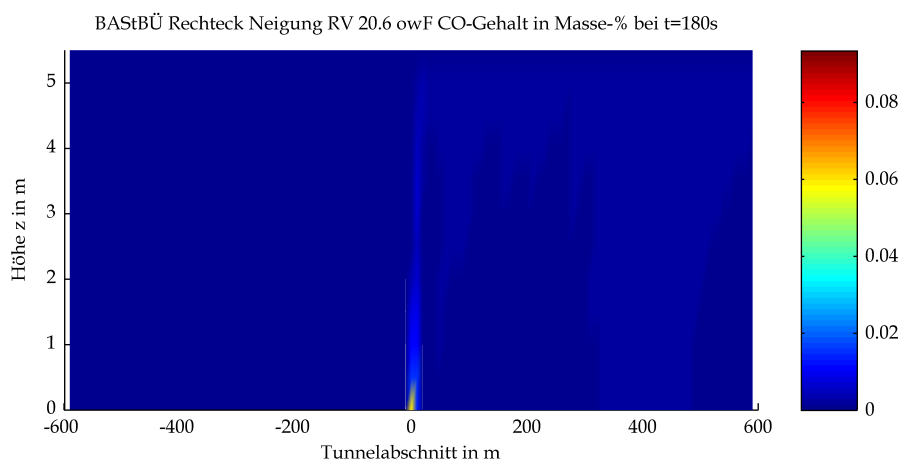
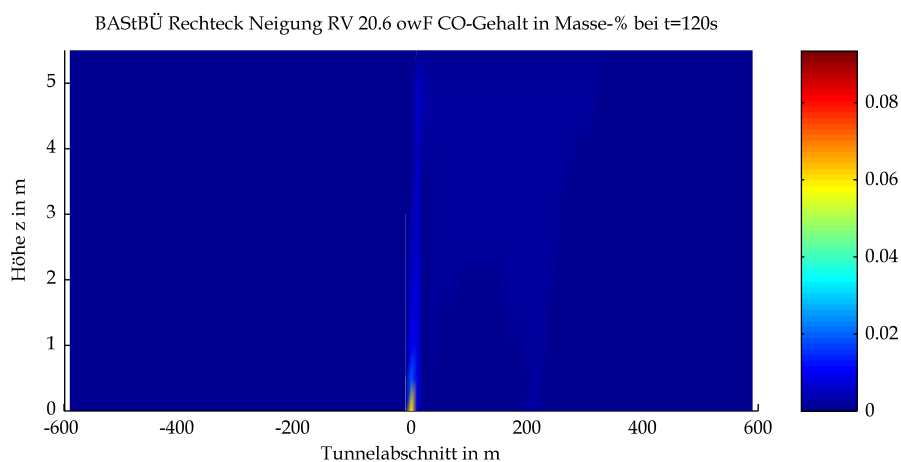
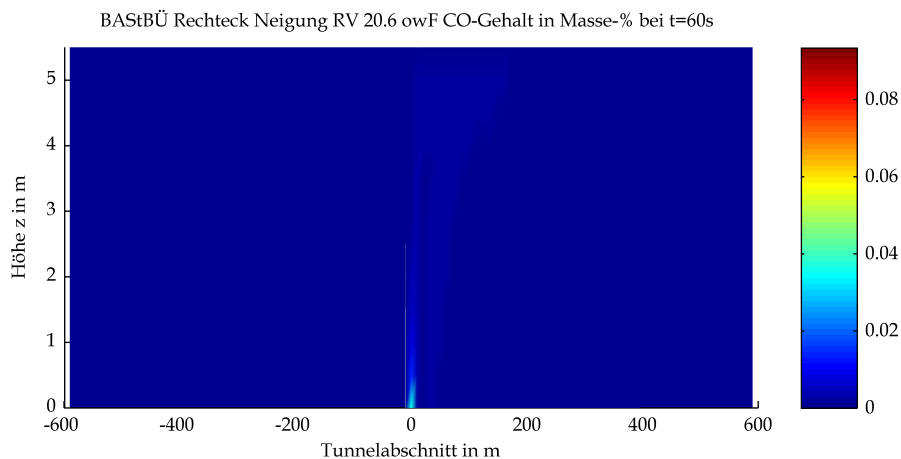


Mittels CFD-Berechnung ermittelte Kohlendioxidgehalte

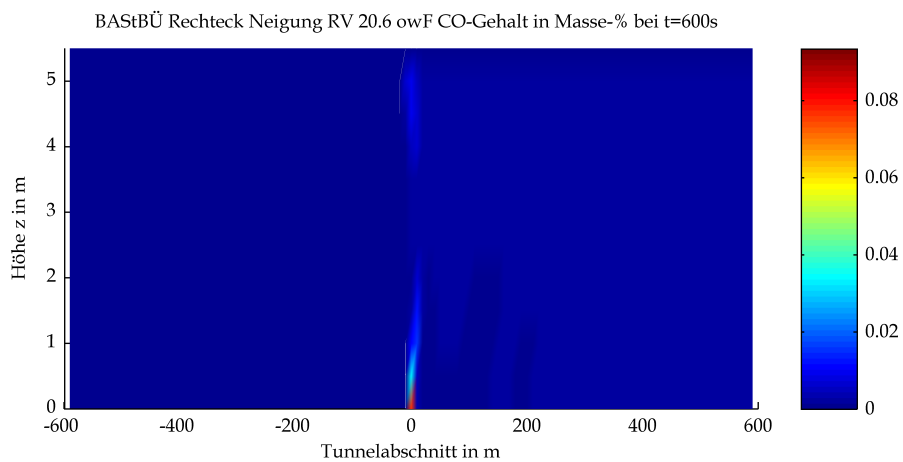
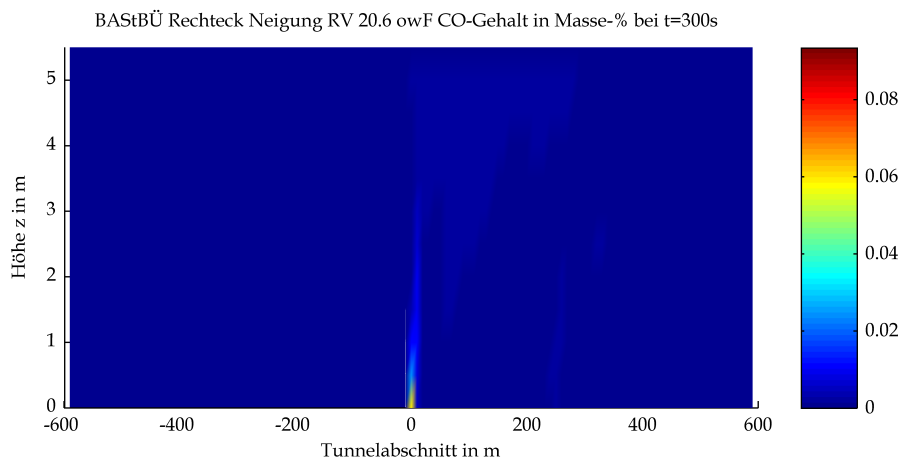
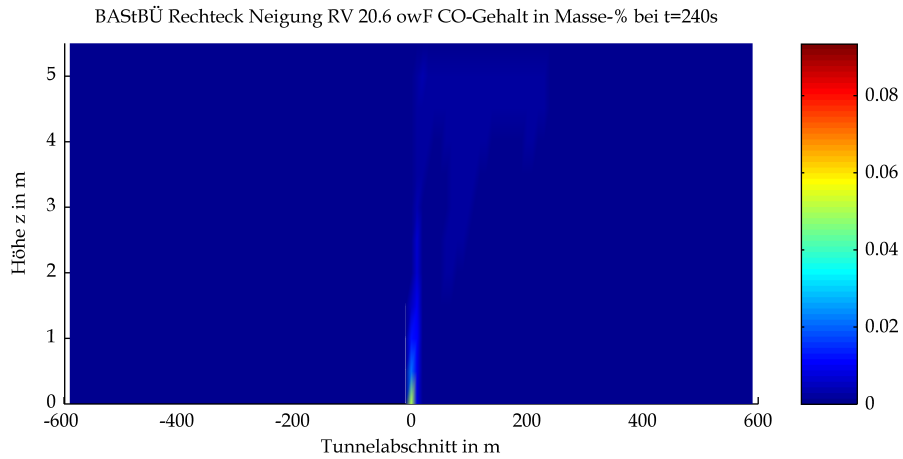


Mittels CFD-Berechnung ermittelte Kohlendioxidgehalte

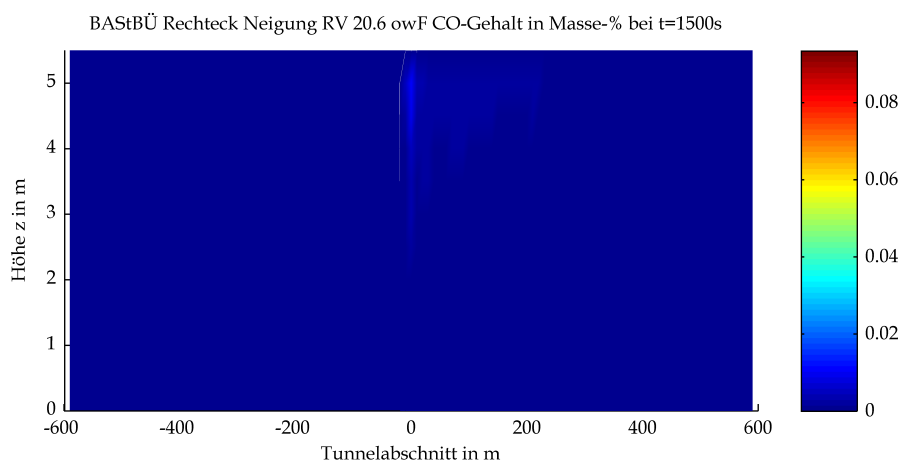
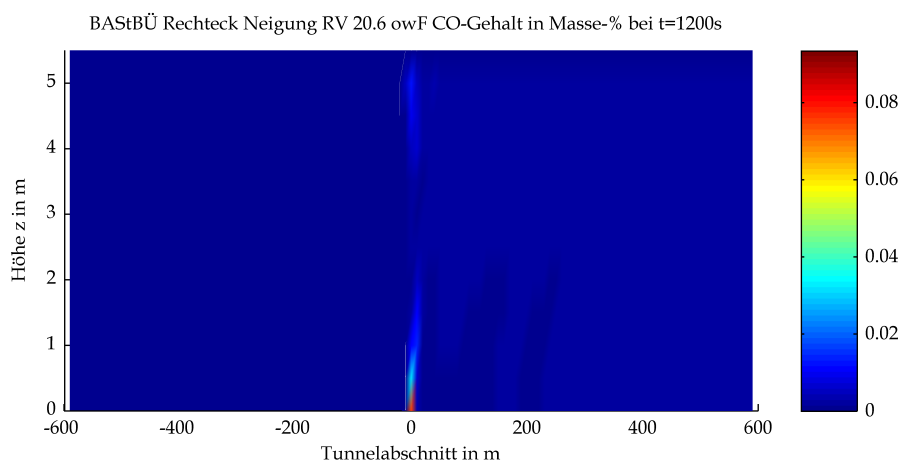
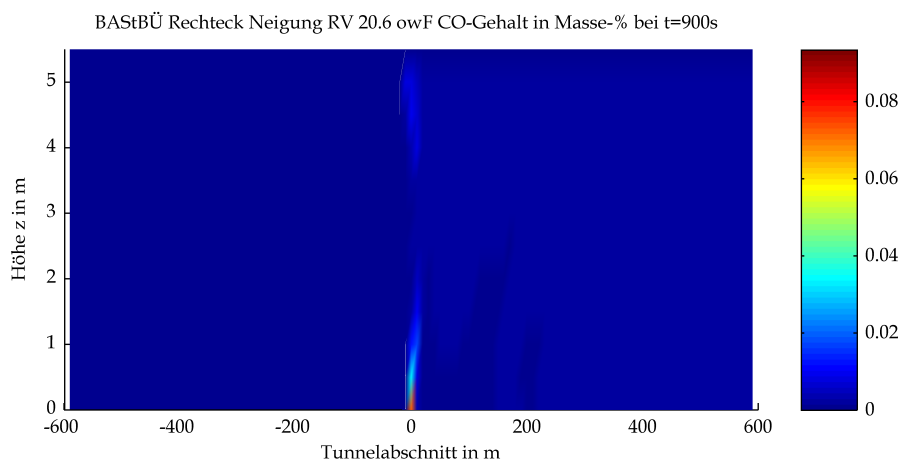
7 Kohlenmonoxidgehalt



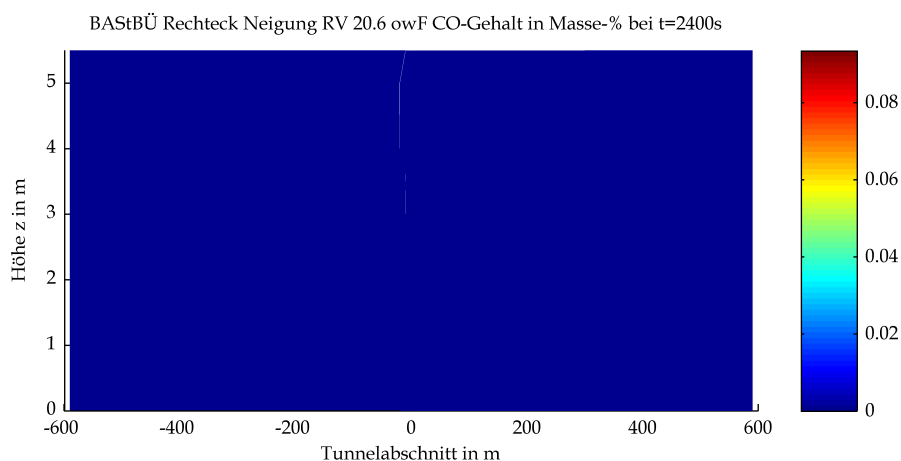
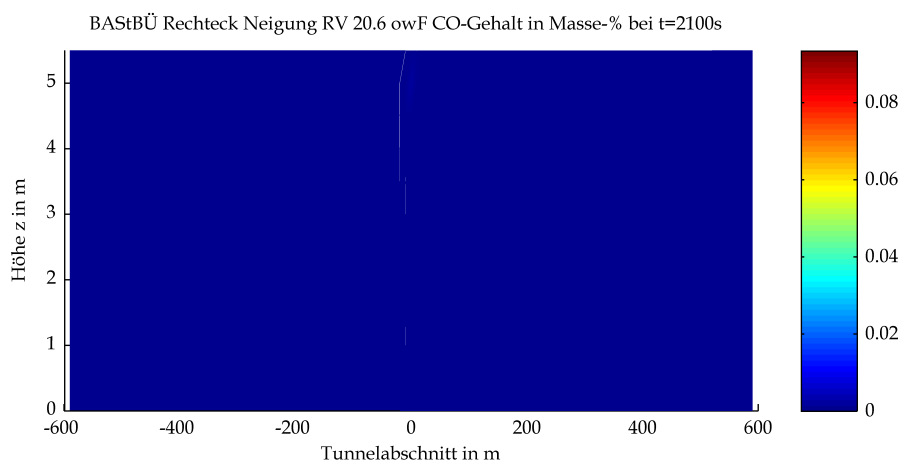
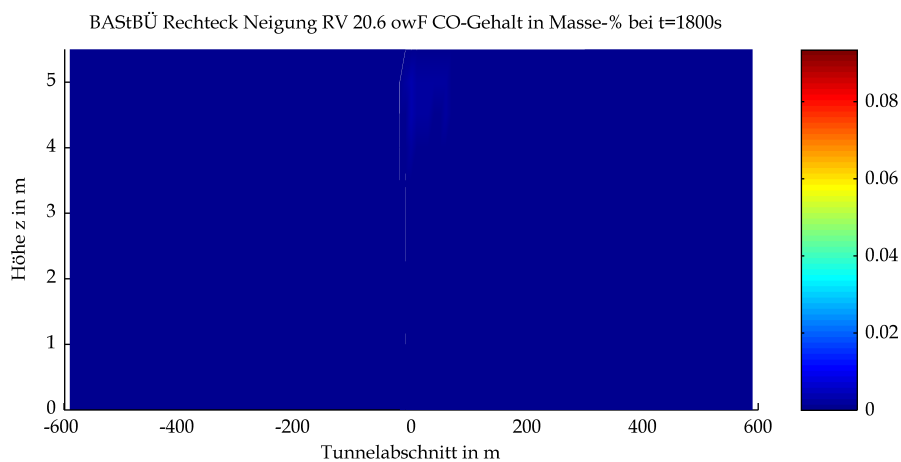
Mittels CFD-Berechnung ermittelte Kohlenmonoxidgehalte



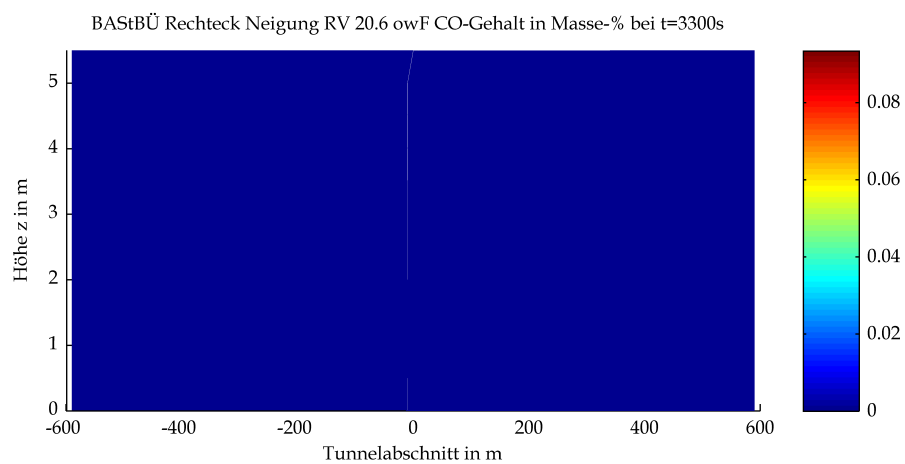
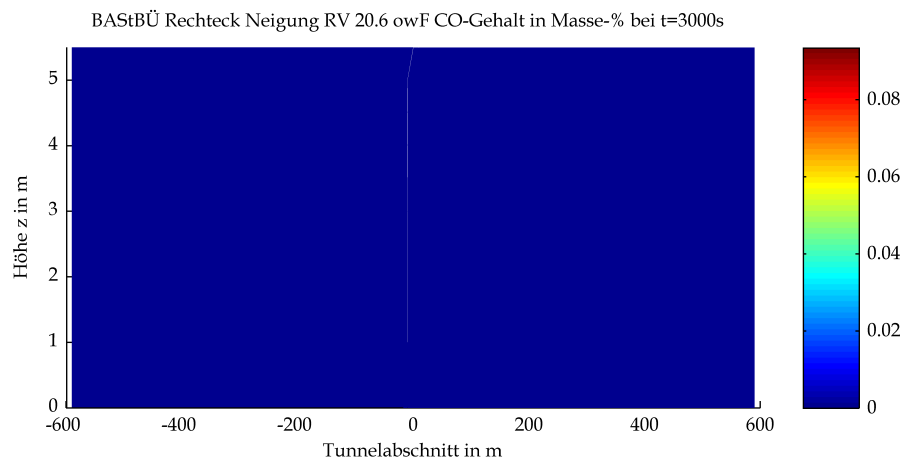
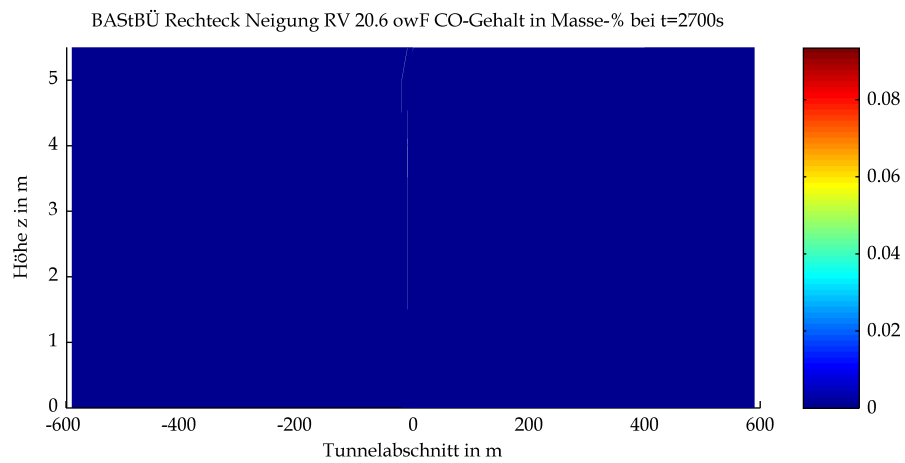
Mittels CFD-Berechnung ermittelte Kohlenmonoxidgehalte



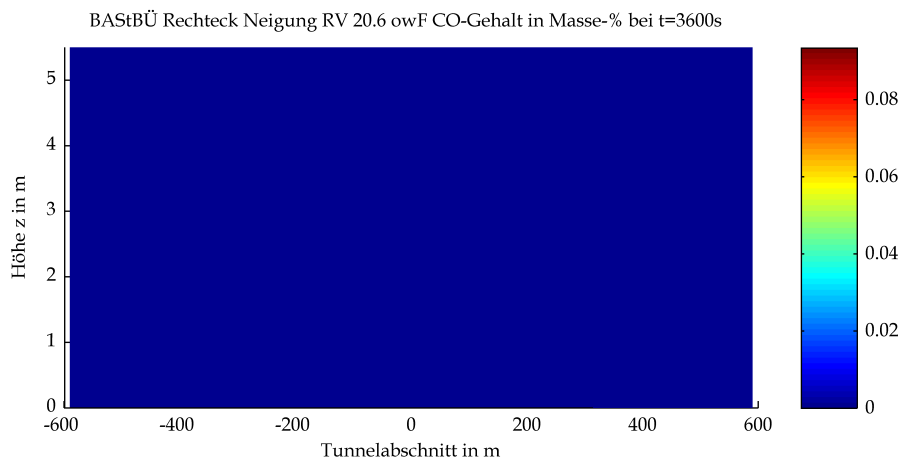
Mittels CFD-Berechnung ermittelte Kohlenmonoxidgehalte



Mittels CFD-Berechnung ermittelte Kohlenmonoxidgehalte

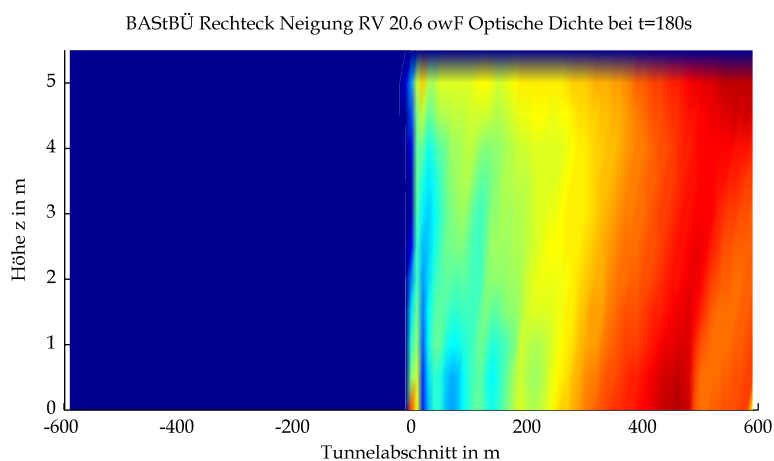
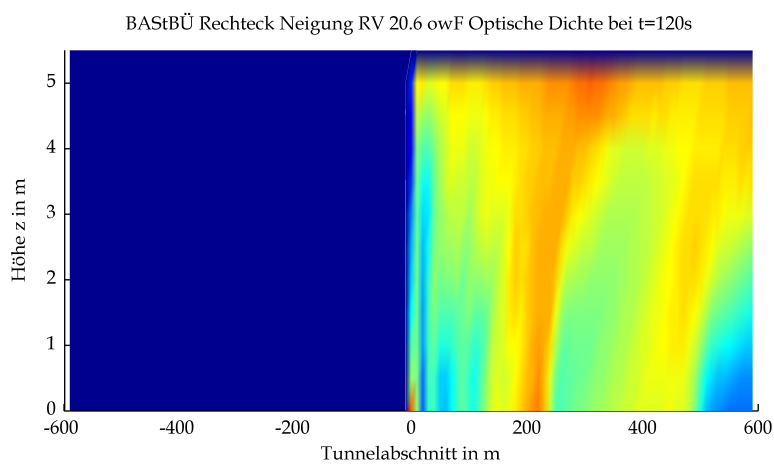
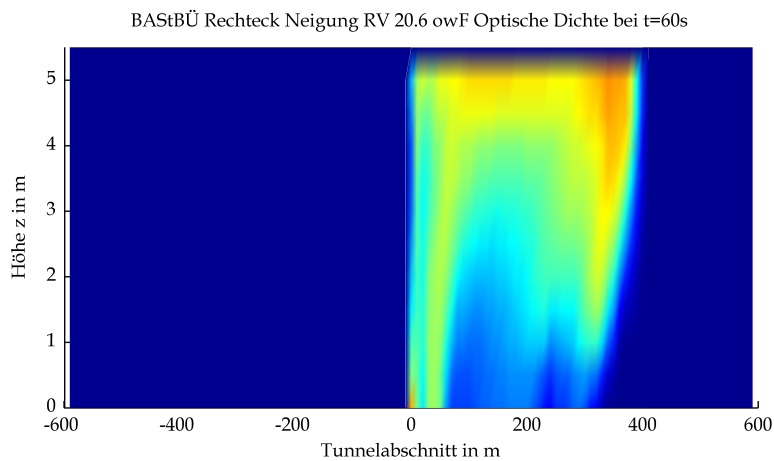


Mittels CFD-Berechnung ermittelte Kohlenmonoxidgehalte

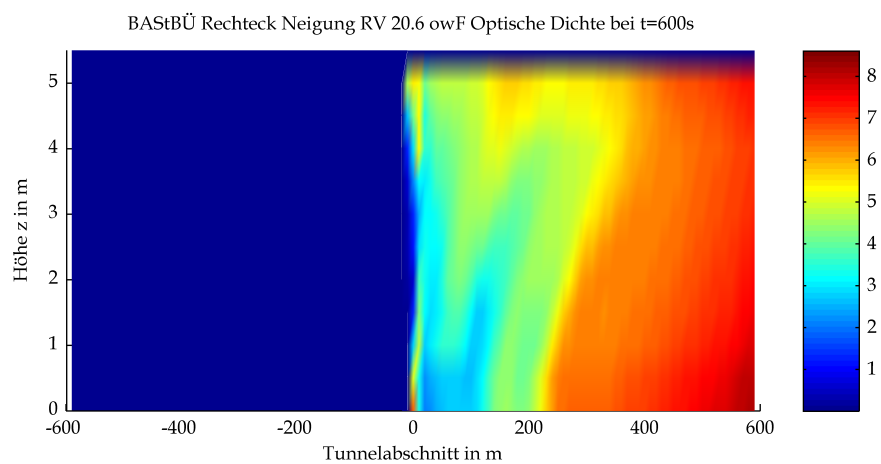
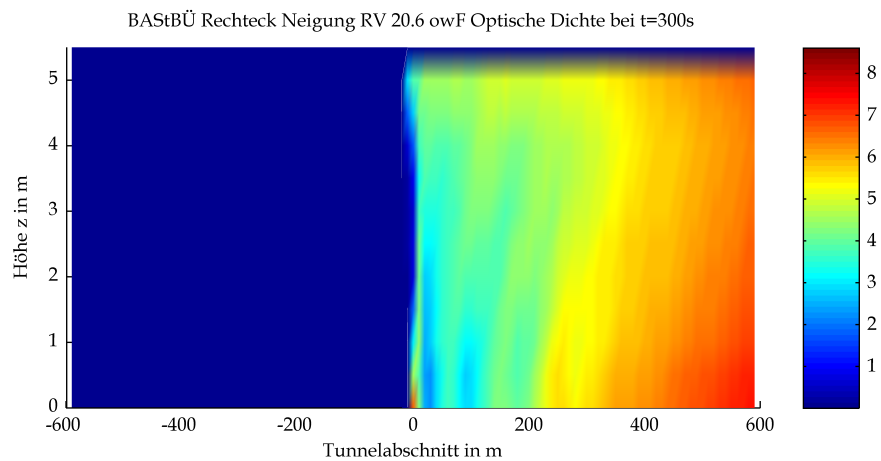
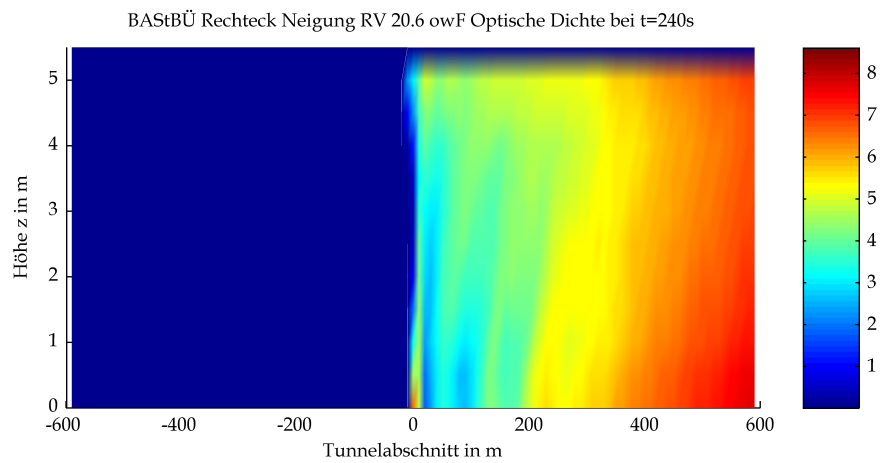


Mittels CFD-Berechnung ermittelte Kohlenmonoxidgehalte

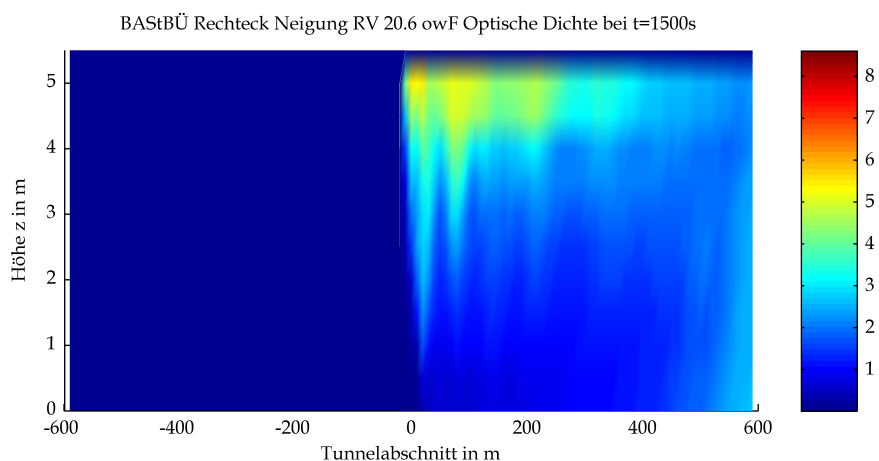
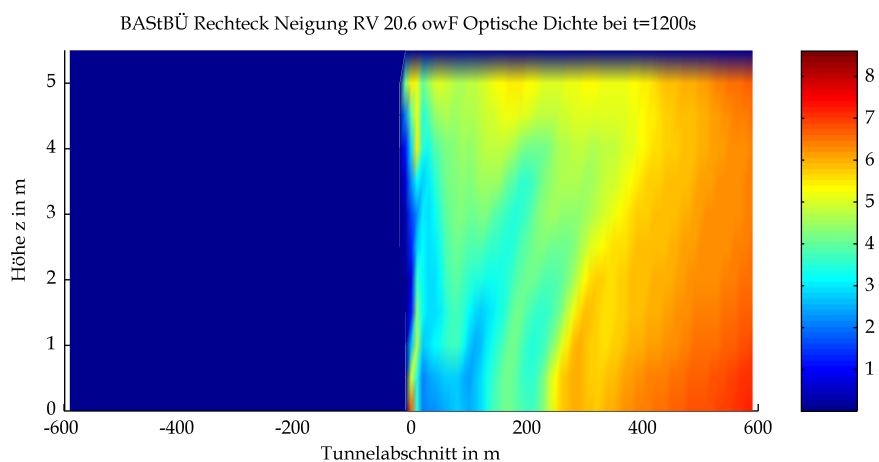
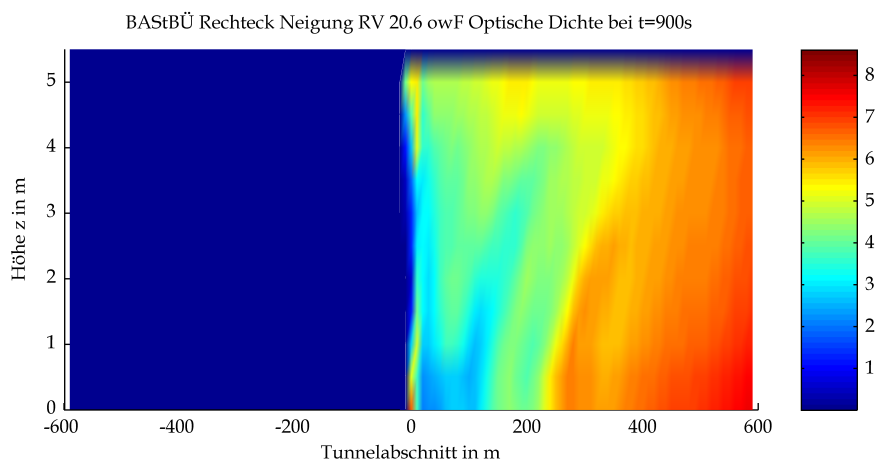
8 Optische Dichte



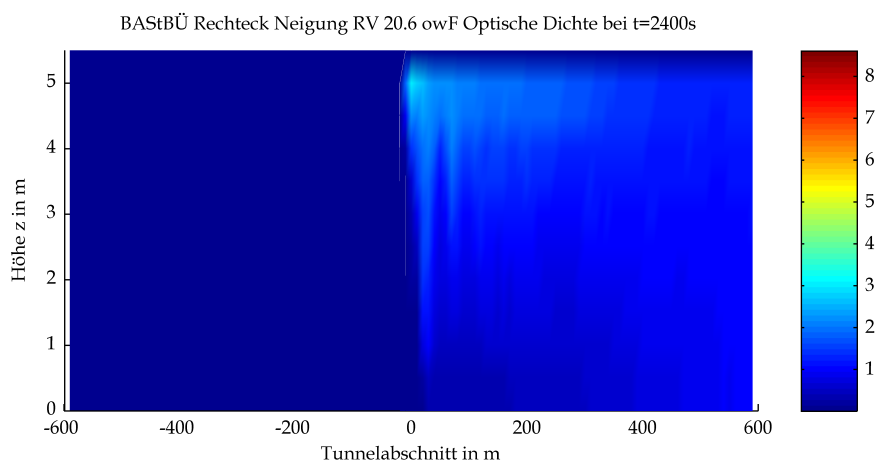
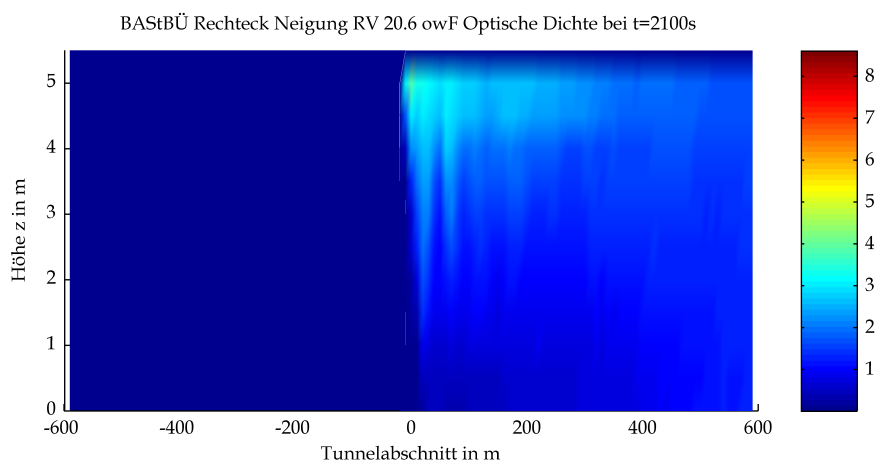
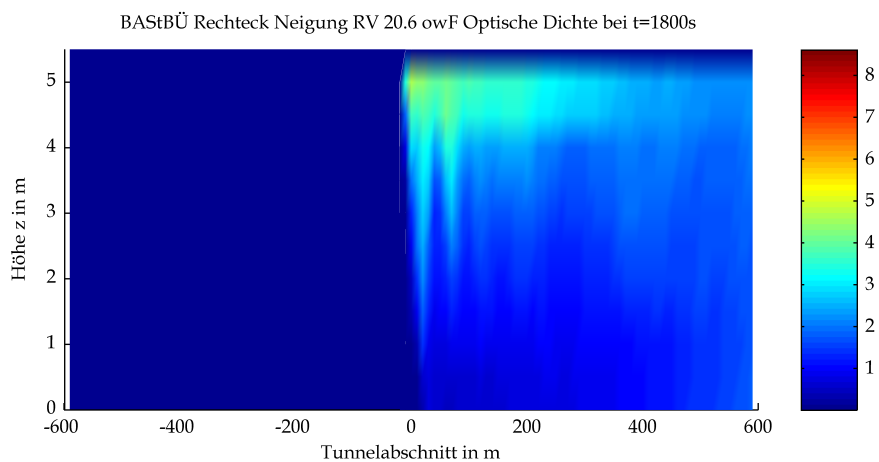
Mittels CFD-Berechnung ermittelte optische Dichten



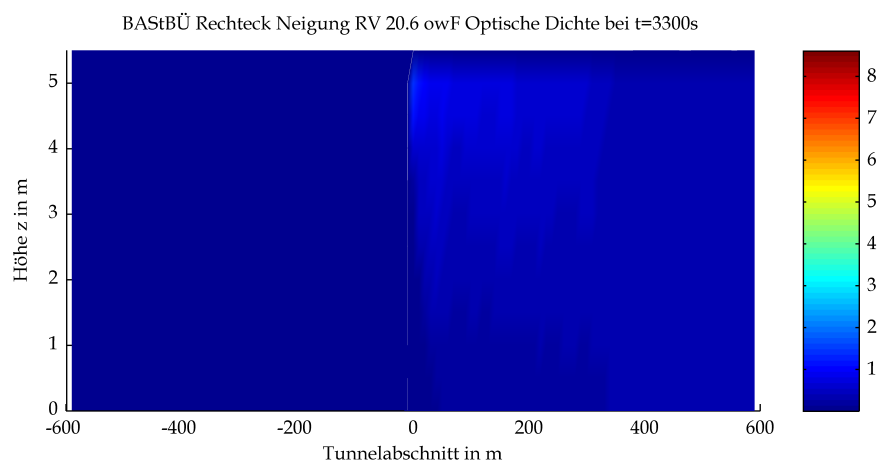
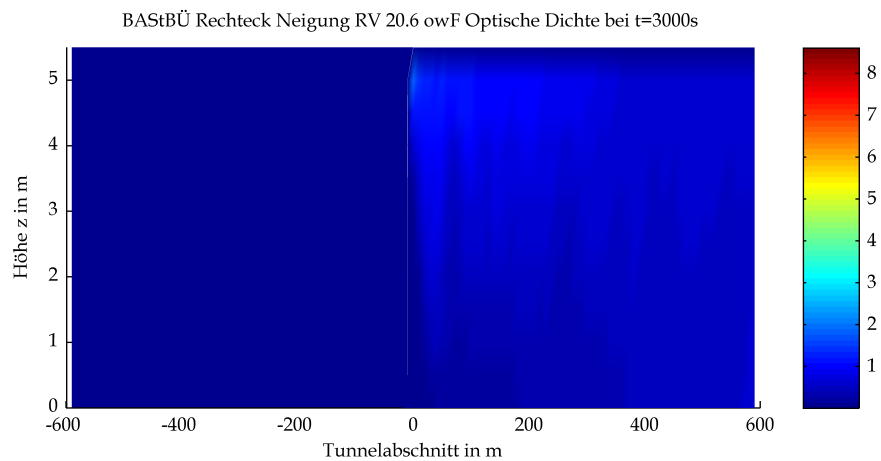
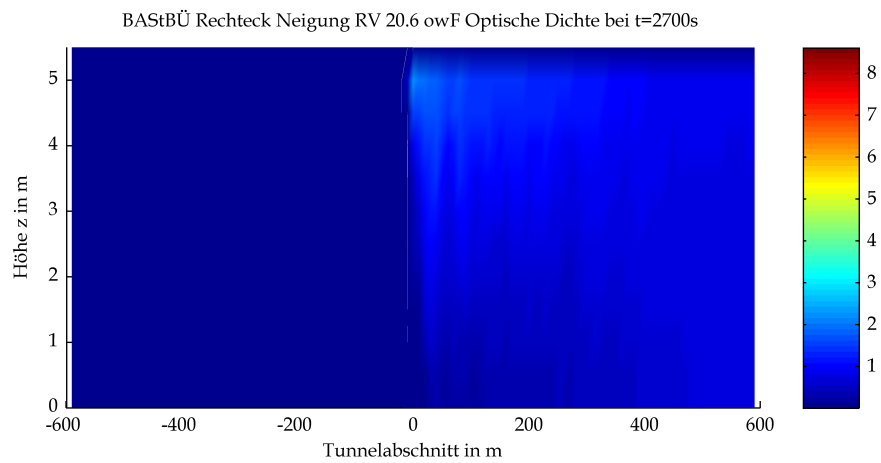
Mittels CFD-Berechnung ermittelte optische Dichten



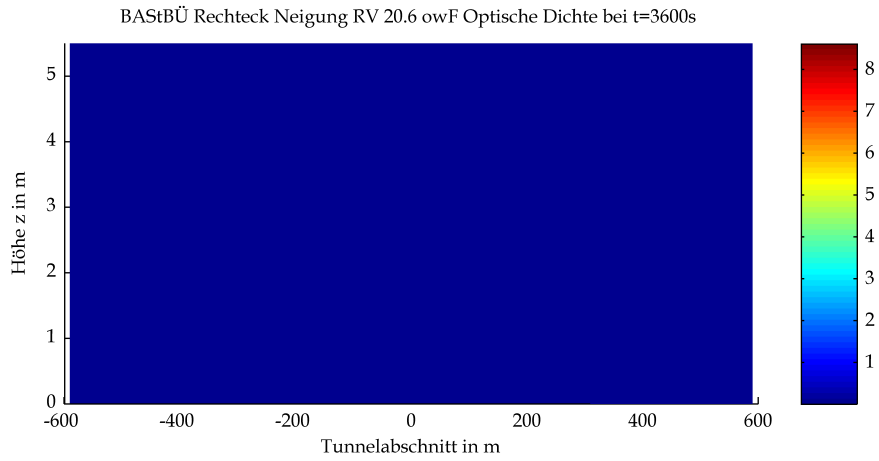
Mittels CFD-Berechnung ermittelte optische Dichten



Mittels CFD-Berechnung ermittelte optische Dichten

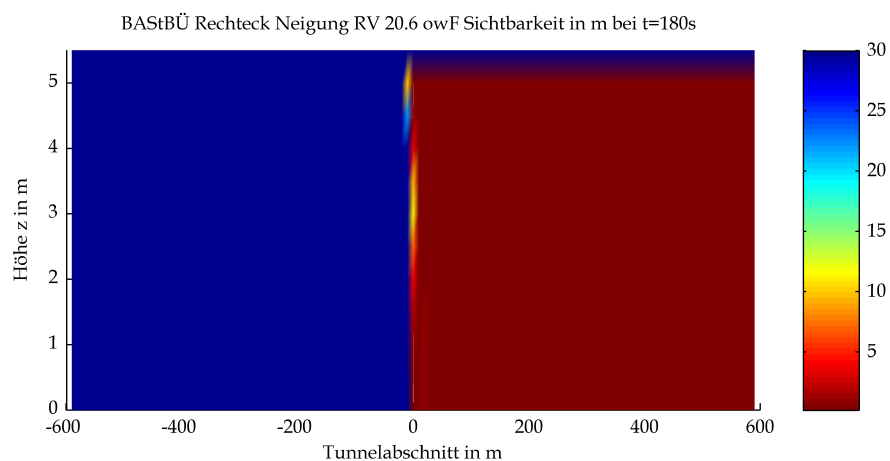
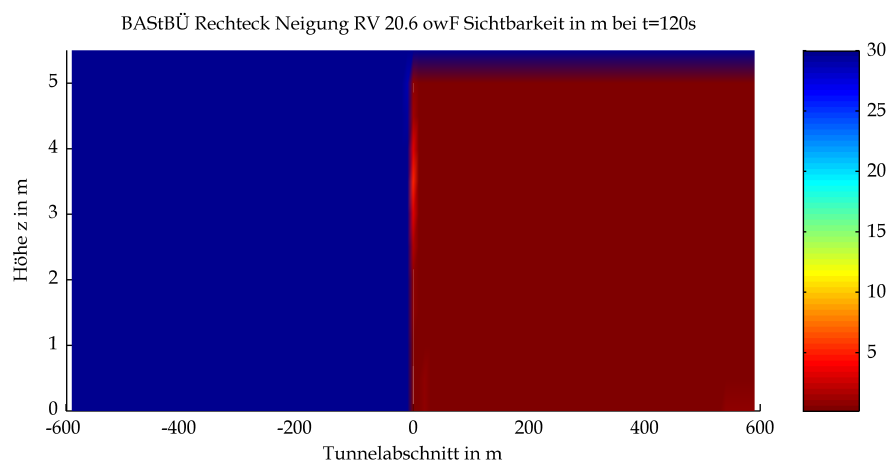
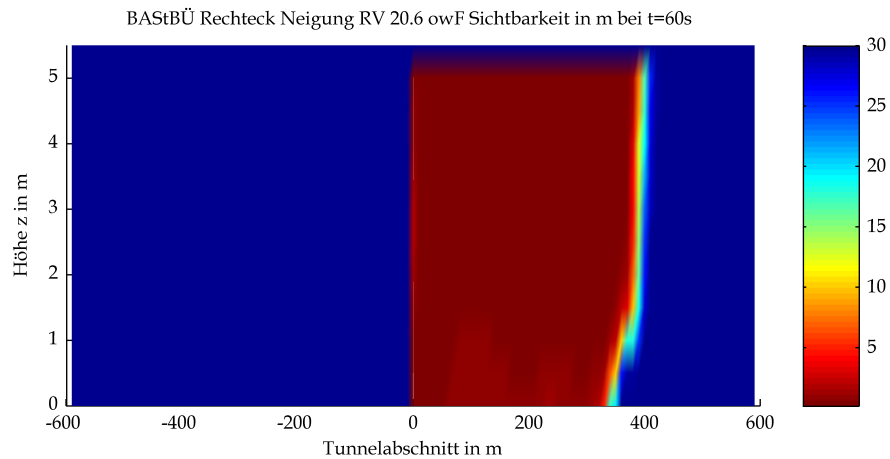


Mittels CFD-Berechnung ermittelte optische Dichten

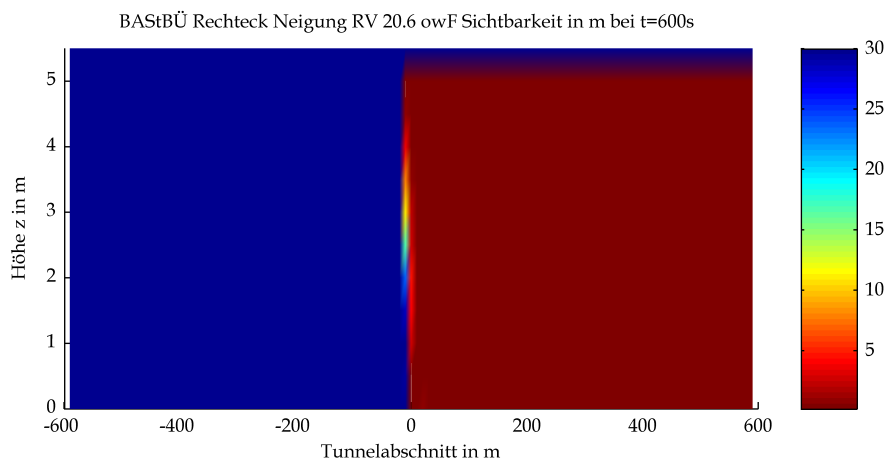
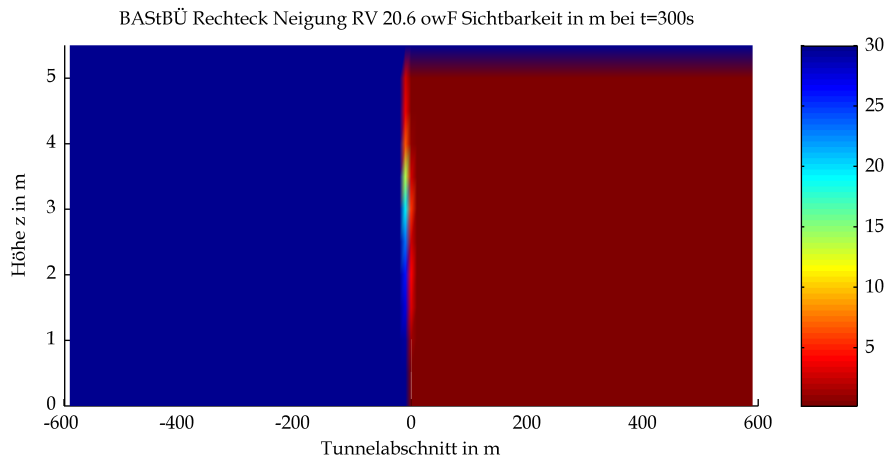
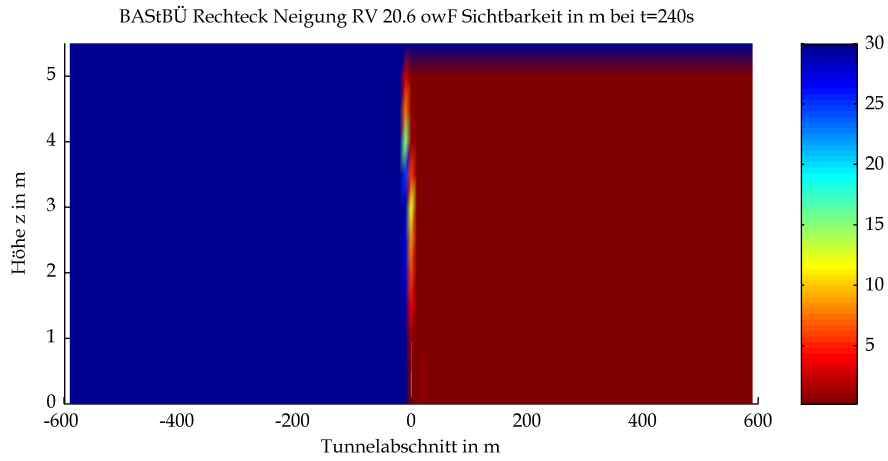


Mittels CFD-Berechnung ermittelte optische Dichten

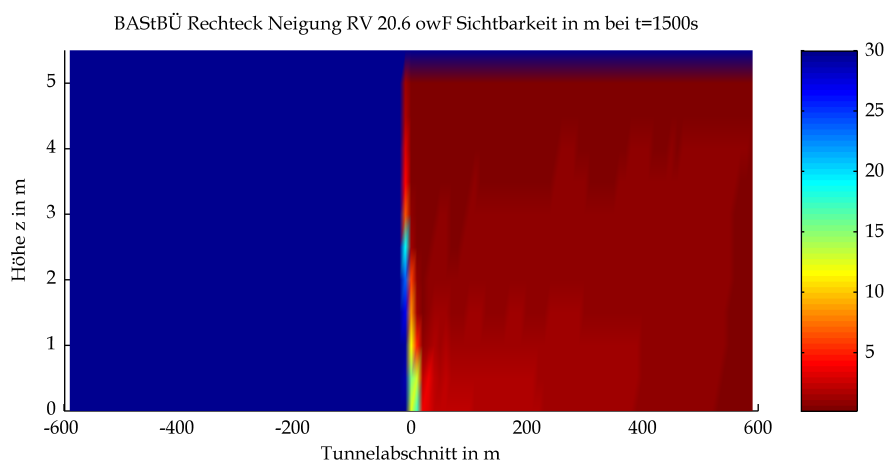
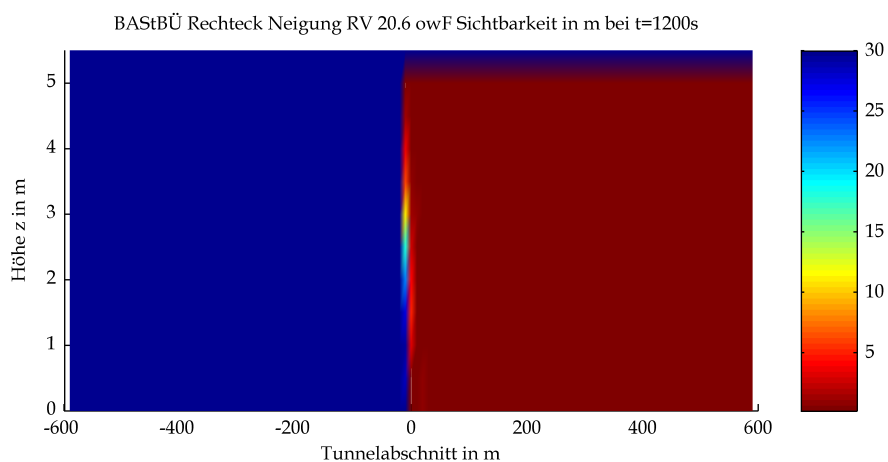
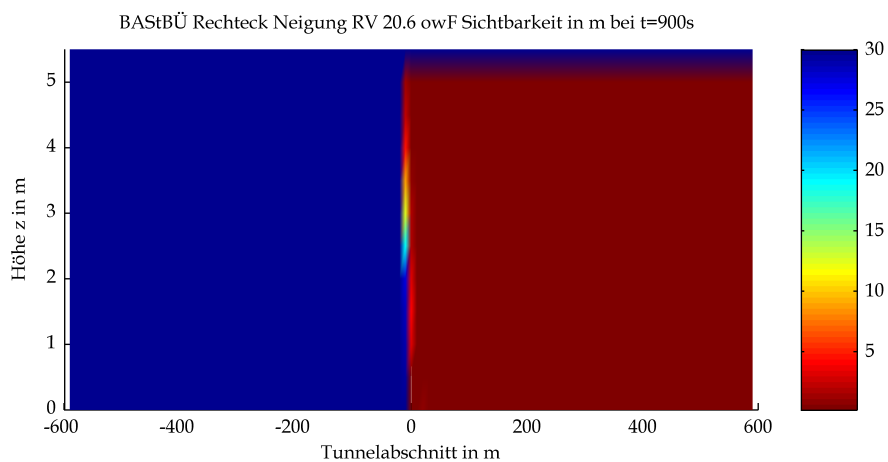
9 Sichtweiten



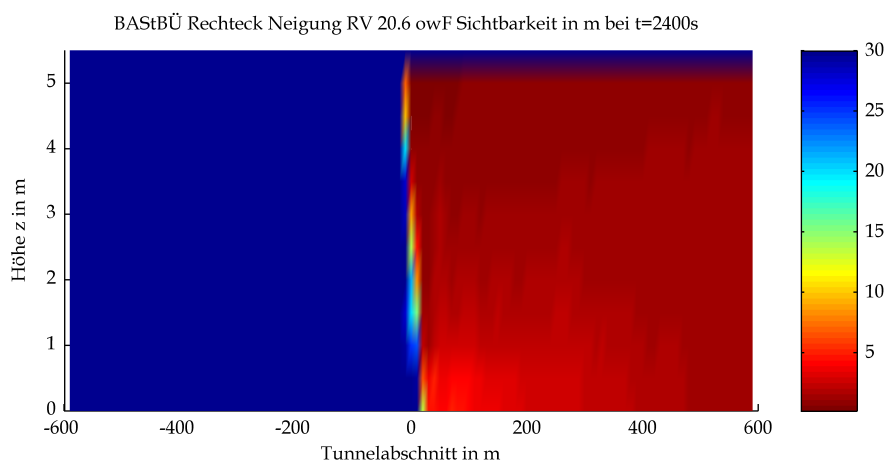
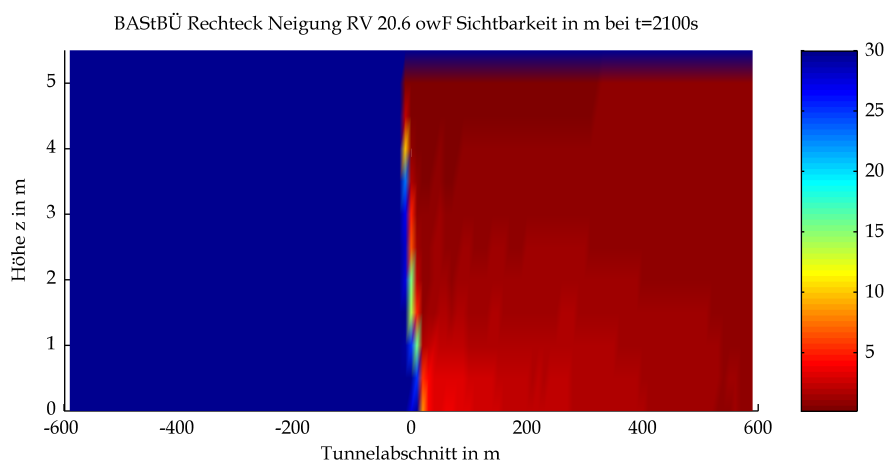
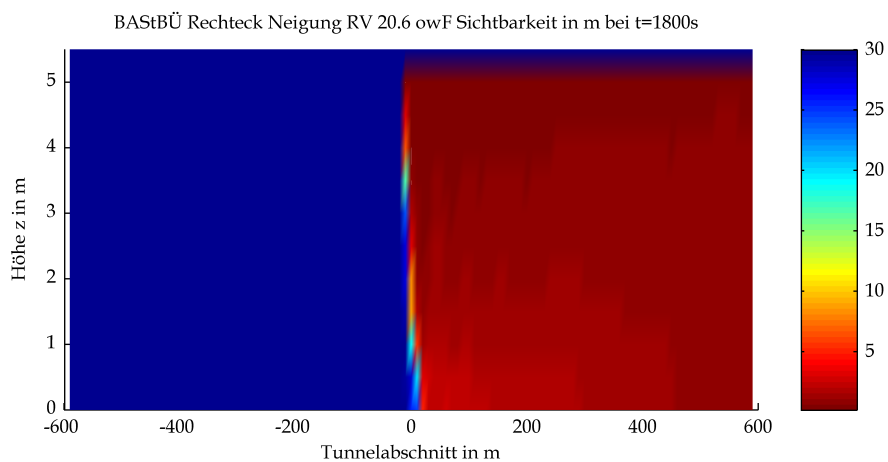
Mittels CFD-Berechnung ermittelte Sichtweiten



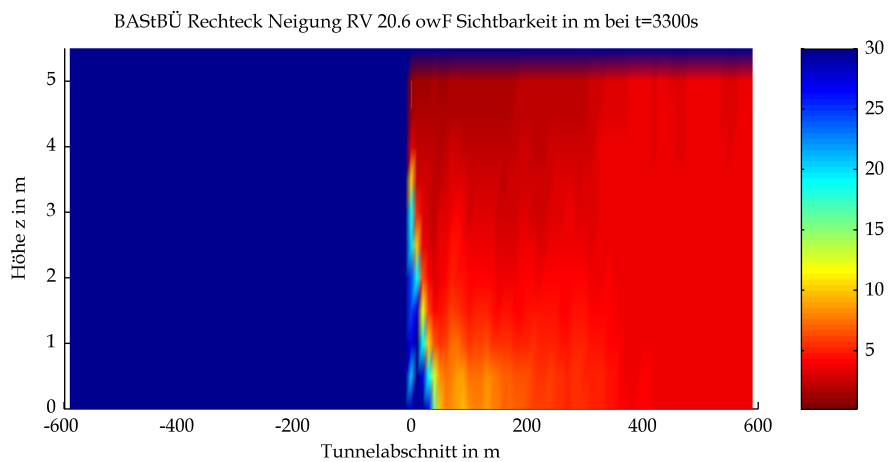
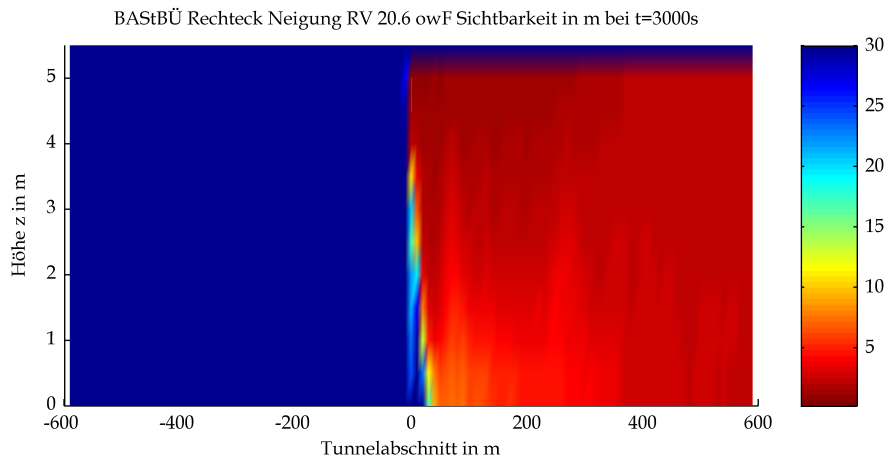
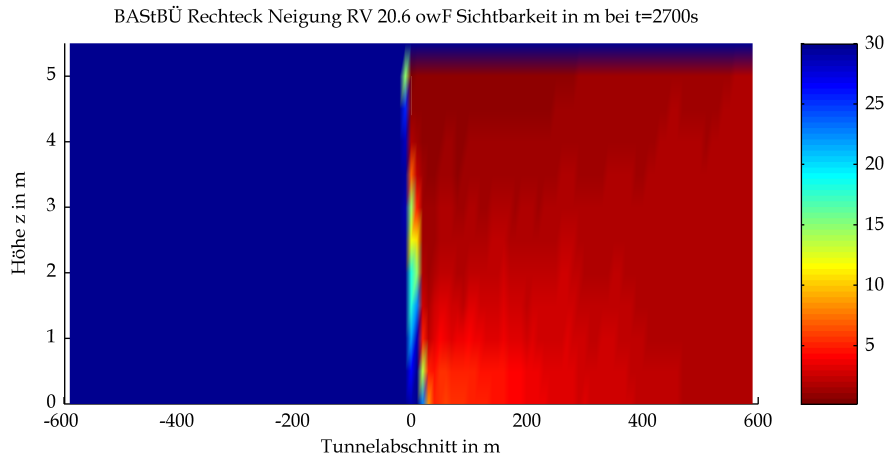
Mittels CFD-Berechnung ermittelte Sichtweiten



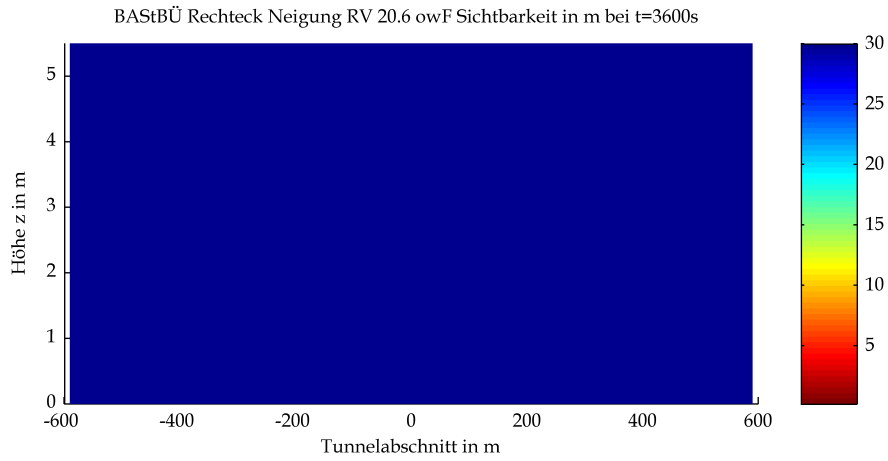
Mittels CFD-Berechnung ermittelte Sichtweiten



Mittels CFD-Berechnung ermittelte Sichtweiten

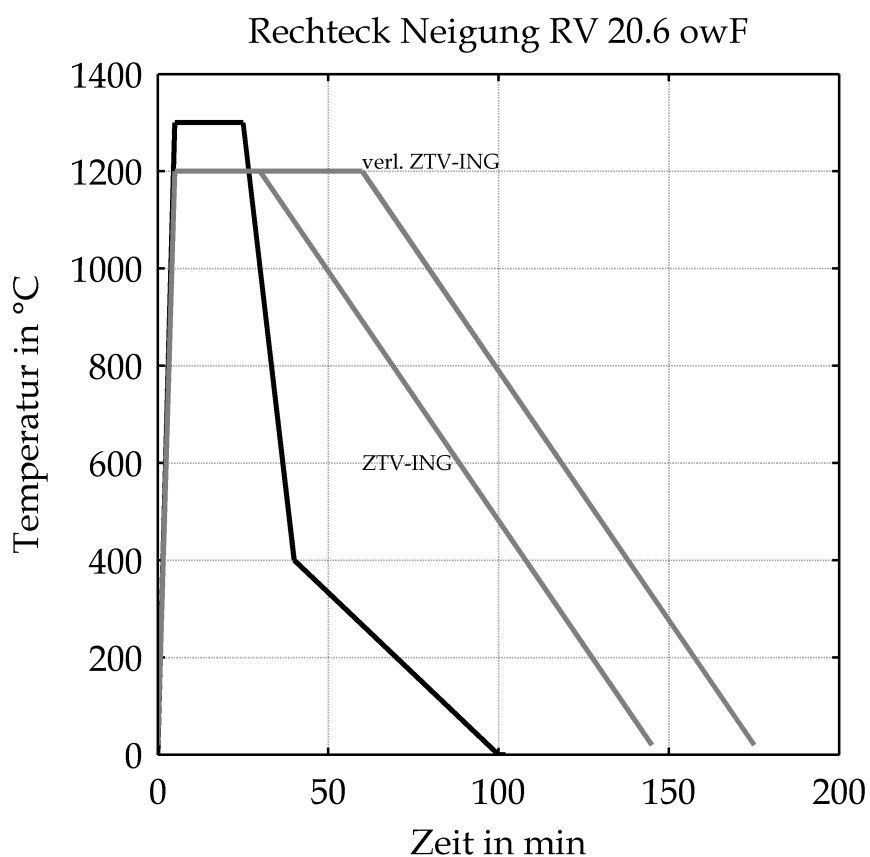


Mittels CFD-Berechnung ermittelte Sichtweiten



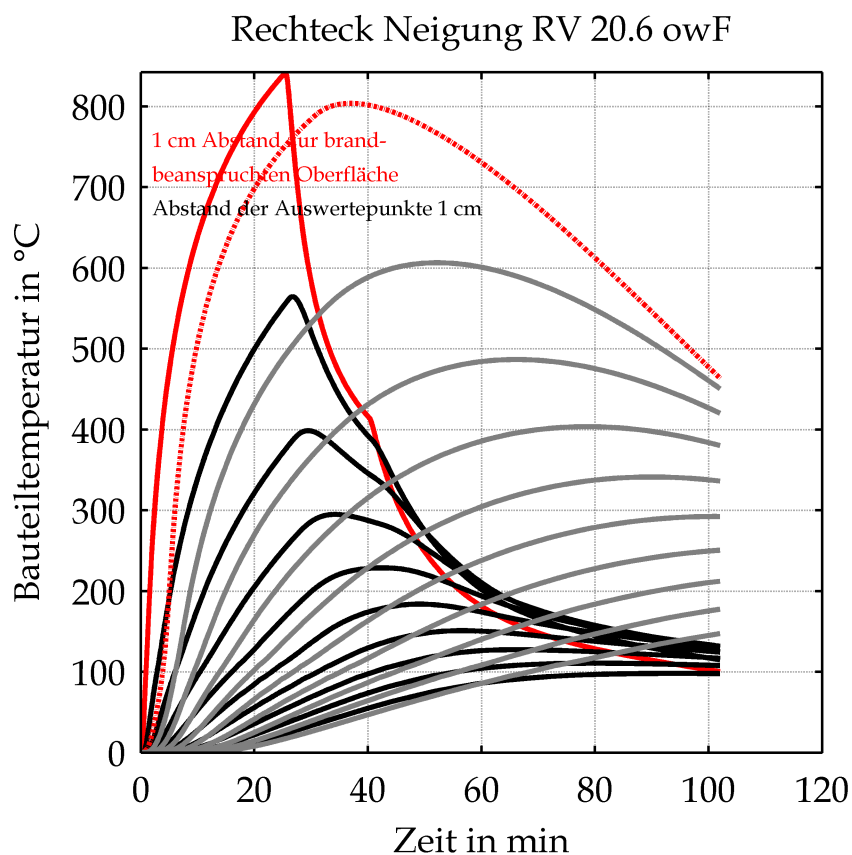
Mittels CFD-Berechnung ermittelte Sichtweiten

IV Bewerteter Temperatur-Zeit-Verlauf



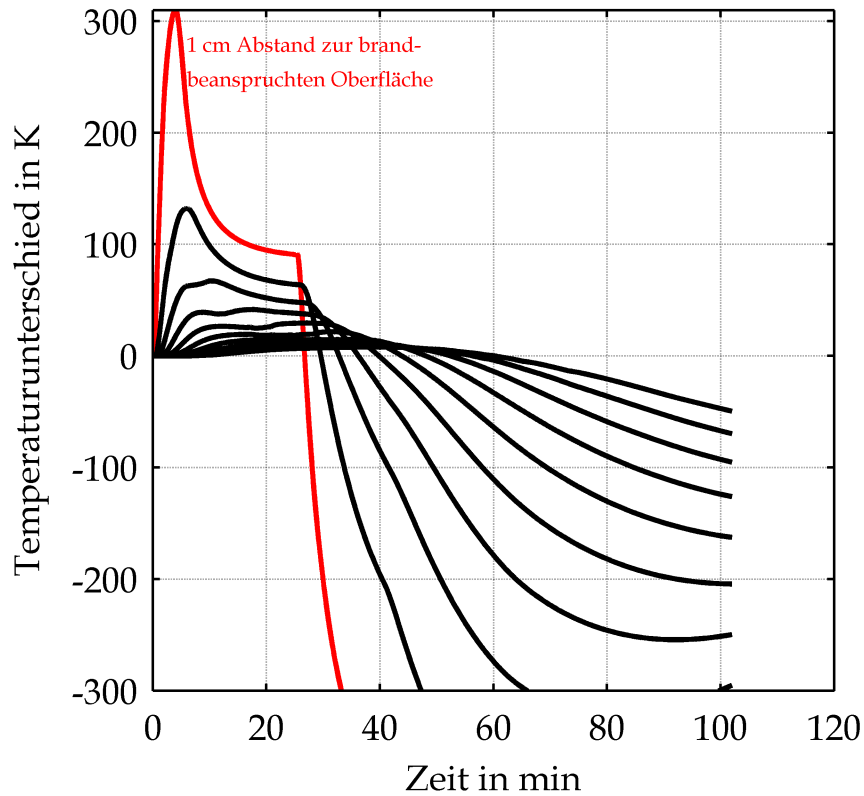
Bewerteter Temperatur-Zeit-Verlauf unter Berücksichtigung der Ventilationsbedingungen bzw. der Sauerstoffversorgung (schwarz) sowie Temperatur-Zeit-Verlauf nach ZTV-ING und RWS-Kurve (beide grau)

V Durchwärmungsverhalten



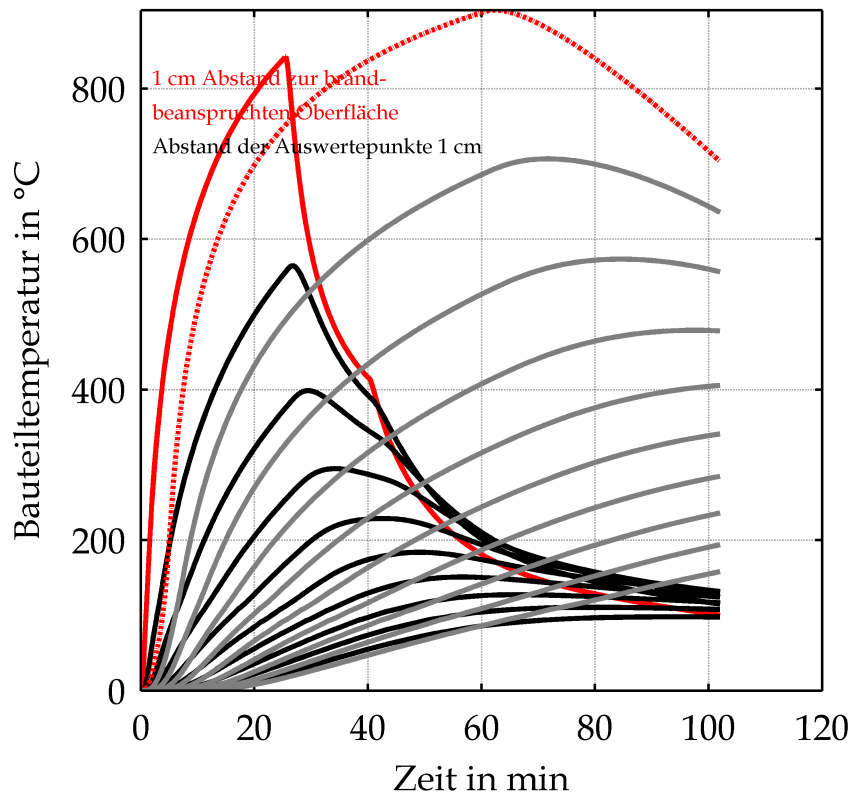
Bauteiltemperaturen in Abhängigkeit von der Zeit und dem Abstand zur Bauteiloberfläche für den bewerteten Temperatur-Zeit-Verlauf (rot und schwarz) und infolge ZTV-ING-Temperatur-Zeit-Kurve (rot gestrichelt, grau)

Rechteck Neigung RV 20.6 owF



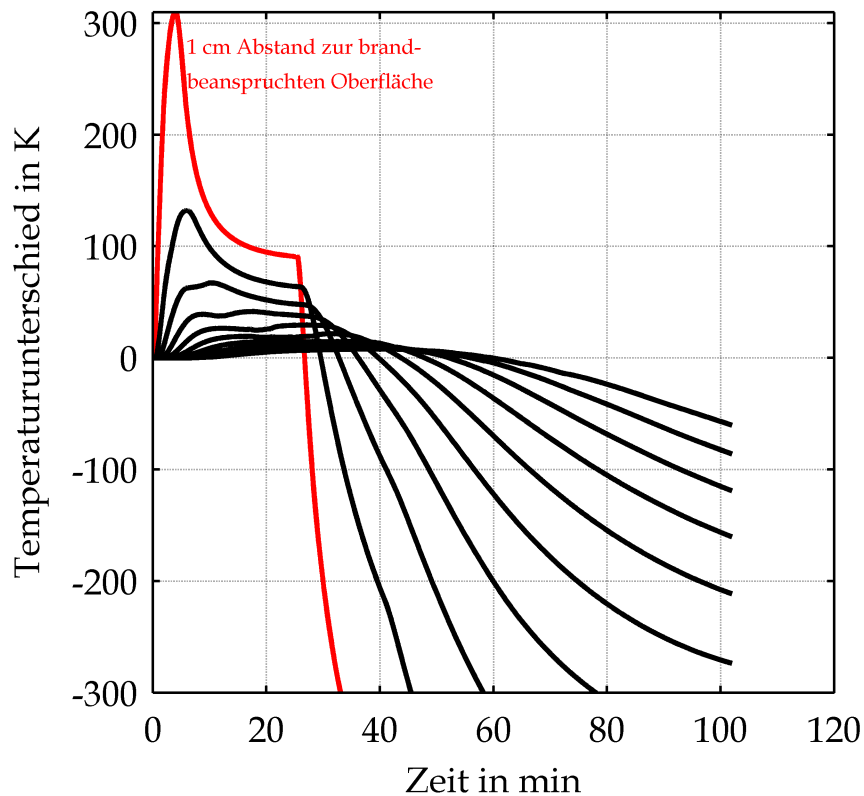
Temperaturdifferenz in Abhängigkeit von der Zeit und dem Abstand zur Bauteiloberfläche zwischen den Bauteiltemperaturen infolge des bewerteten Temperatur-Zeit-Verlauf und der ZTV-ING-Temperatur-Zeit-Kurve

Rechteck Neigung RV 20.6 owF



Bauteiltemperaturen in Abhängigkeit von der Zeit und dem Abstand zur Bauteiloberfläche für den bewerteten Temperatur-Zeit-Verlauf (rot und schwarz) und infolge verlängerter ZTV-ING-Temperatur-Zeit-Kurve (rot gestrichelt, grau)

Rechteck Neigung RV 20.6 owF



Temperaturdifferenz in Abhängigkeit von der Zeit und dem Abstand zur Bauteiloberfläche zwischen den Bauteiltemperaturen infolge des bewerteten Temperatur-Zeit-Verlauf und der verlängerten ZTV-ING-Temperatur-Zeit-Kurve